

21 APR. 1988

ARCHIEF

Universiteits Surveys

Geosite

Lab. v. Scheepsbouwkunde  
Technische Hogeschool  
Delft



Geosite Surveys

# NAV 1

## 4 HORIZONTALE EN VERTIKALE WATERBEWEGING.

### 4.1 Inleiding.

De wisselende waterstand, die wij aan de kusten kunnen waarnemen, doet zijn invloed gelden op de scheepvaart. Bepaalde ondiepten, zoals bijvoorbeeld voor riviermondingen, kunnen alleen bij een hoge waterstand gepasseerd worden.

Gemeerd liggend aan kade, of steiger moet voortdurend aandacht geschonken worden aan de trossen, die tijdig doorgehaald of opgevierd moeten worden. Hoewel dit laatste door het toenemend gebruik van 'constant tension mooring winches' geautomatiseerd wordt, neemt het niet weg dat de waterbeweging zijn invloed op het scheepsgebeuren blijft uitoefenen en daarom de aandacht van de navigator verdient.

De met de verticale waterbeweging gepaard gaande stromen beïnvloeden de koers en de vaart van het schip over de grond. Ten anker of gemeerd op een SBM (éénpuntsmeerboei) bepalen de richting en snelheid van de stroom, tezamen met de wind, voornamelijk de richting waarin het schip ligt.

Om al deze redenen is het noodzakelijk dat de navigator inzicht heeft in de verschijnselen en achtergronden van de waterbeweging, en dat hij weet hoe hij met behulp van de beschikbare gegevens de te verwachten waterstand en stroom kan bepalen.

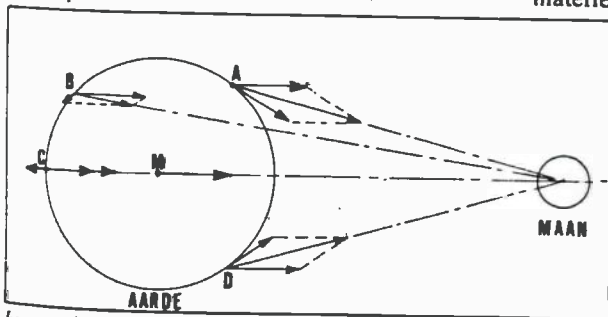
### 4.2 De oorzaak van de getijbeweging.

#### 4.2.1 Getijkrachten.

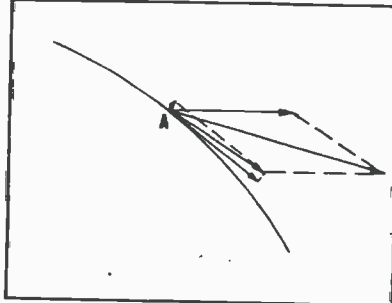
De zon en de planeten met hun manen oefenen onderling krachten op elkaar uit. Deze krachten verkeren in een zodanig evenwicht, dat het bestaande zonnestelsel in stand wordt gehouden. De gravitatiel wet leert, dat de kracht, die twee lichamen op elkaar uitoefenen, recht evenredig is met hun massa's en omgekeerd evenredig met het kwadraat van hun afstand.

Beschouwen we de aarde en de maan, dan oefent de maan op elk massadeltje van de aarde een kracht uit, die gericht is op het middelpunt van de maan. Zie figuur 4.1a.

De kracht in A verschilt enigszins in richting met die in M en is bovendien groter wegens de geringere afstand tot het middelpunt van de maan. In elk punt op aarde is de totale kracht te ontbinden in een component gelijk aan en evenwijdig met de kracht in M en een *getijverwekkende kracht*. De componenten gelijk en evenwijdig aan de kracht in M vormen een *homogeen krachtveld*, dat de watermassa's onberoerd laat. Voorzover de aarde niet deformeerbaar (vervormbaar) is, zullen we van de getijverwekkende kracht niets merken, omdat zijn werking wordt opgeheven door inwendige krachten in de materie. Voor de watermassa's op aarde ligt de



Figuur 4.1a

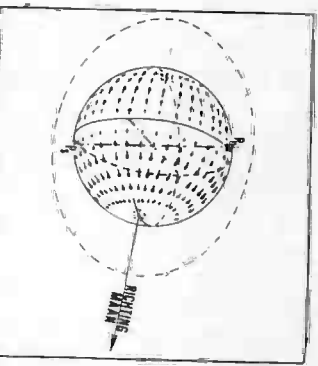


Figuur 4.1b

zaak anders. Vloeistoffen zijn immers wel deformerbaar en genoeg toe te geven aan de krachten die erop werken. De watermassas op aarde zullen een zwaardige vorm aannemen, dat er evenwel niet ontstaat.

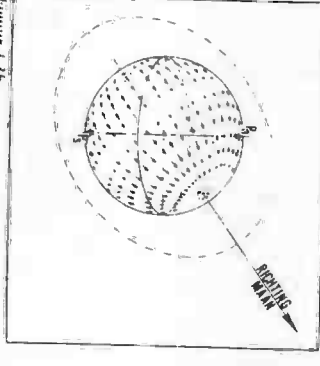
We onthouden de getijverwekkende kracht in een punt in een horizontale en een verticale component. Zie figuur 4.1b. De verticale component werkt tegen de zwaartekracht in, de horizontale loodrecht op de richting van de zwaartekracht. Omdat de orde van grootte van deze componenten slechts  $10^{-3}$  is, die van de zwaartekracht bedraagt, kunnen we zeggen dat de verticale component praktisch van geen belang is voor het verwekken van getijden, maar dat de horizontale component verantwoordelijk is voor de getijbeweging, omdat deze kracht waterdeeltjes over het aardoppervlak kan doen bewegen. De horizontale component van de getijverwekkende kracht zullen we verder getijkracht nemen. Hoe deze getijkracht over het aardoppervlak verdeeld is toont figuur 4.2.

Hieruit blijkt, dat de getijkrachten een hoge waterstand trachten te bewerkstelligen in die punten die de maan in topunt of voelpunt hebben en een lage waterstand op de groetepunt daarbij van verwijderd.



Figuur 4.3a

niet in het equatorvlak dan passeert een punt van de equator nog steeds twee potentiële evenhoge waterstanden, maar een punt op hogere breedte ontmoet twee ongelijke hoogwaterstanden of zelfs maar een hoogwaterstand per dag. Door de declinatie van de maan wordt dus een dergelijke ongelijkheid in het patroon van de getijkrachten veroorzaakt. Zie figuur 4.3b.



Figuur 4.3b

#### 4.2.1 Het periodiek karakter van de getijkracht

staat voornamelijk door de aarde om haar as draait. Indien de maan in het equatorvlak staat gaut, door deze rotatie, een punt op aarde in een dag twaalfmaal door een gebied waar de getijkrachten een hoge waterstand willen scheppen en twaalfmaal door een gebied met een potentiële lage waterstand. Zie figuur 4.4. Staat de maan

90

Figuur 4.2

het periodiek karakter van de getijkracht om:

#### 4.2.2 De invloed van de zon.

Op soortgelijke wijze als besproken is voor de maan ontstaat een patroon van getijkrachten tegengesit van de werking van de zon. De totale getijkracht is de resultante van die van zon en maan samen. Ondanks dat de zon een grotere massa heeft dan de maan, is, tengevolge van de

veel grotere afstand van de aarde tot de zon, de maansinvoed op de getijden ruim tweemaal zo groot als de zonsinvoed. De bijdrage van andere hemellichamen, zoals planeten, is praktisch te verwaarlozen.

Omdat de maan zijn baan om de aarde doorloopt in een maand, zijn er in die periode twee momenten waarop de getijkrachten van zon en maan min of meer samewerken, namelijk als de zon, maan en aarde ongeveer op één lijn staan. Dit is het geval bij volle en nieuwe maan. We kunnen dan een versterkte getijbeweging verwachten met hogere hoogwaterstanden en lagere lagewaterstanden dan anders; we spreken dan van *springtij*. Staat de zon londrecht op de verbindinglijn aarde-maan, dus bij eerste en laatste kwartier, dan is de resulterende getijkracht het kleinst. We kunnen rond die tijd minder hoge hoogwaterstanden en minder lage lagewaterstanden verwachten; we spreken van *doudtij*.

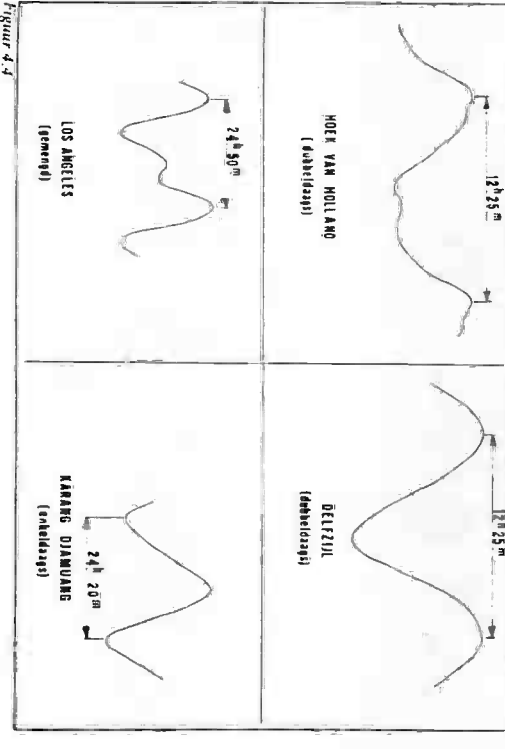
**4.3 Getijden.**

**4.3.1 Getij-typen.**

Alhoewel de getijkrachten op een regelmatige

wijze over het aardoppervlak verdeeld zijn, verschillen de getijden niet een eenvoudig, regelmatig patroon. Dit komt door de vorm en positie van de oceaanen en de aanwezigheid van landmassa's, die verhindert dat de waterdeeltjes prompt reageren op de getijkrachten. De wijze waarop het water in de verschillende delen van oceaanen, baaien, inhammen, enzovoort gehorzaamt aan de getijkrachten, hangt in hoge mate af van de afmetingen, vorm en diepte van het betreffende zeegebied; niet andere woorden: van de eigen periode van het gebied.

**Hoe op een bepaalde plaats de verticale waterbeweging verloopt in de tijd kan gevonden worden met behulp van getij registratie.** In figuur 4.5 zijn een aantal van deze getijkratten weergegeven. Beschouwen we de getijregistratie over een langere periode, dan zien we dat de amplitude, de uitwijkung uit de middenvstand, niet steeds even groot is. Als de grootste amplitude opeindigt is het *springtij*. Op de Nederlandse kust valt het *springtij* ongeveer 2½ dia na de middenvstand. De uitwijkung van volle en nieuwe maan. De situatie met de kleinste amplitude heet *doudtij*. Men onderscheidt nu het *doudtijdagje*, het *midtijdagje* en het *gemengde getij-type*.



91

Figuur 4.4

reductievak en in de Oostzee, waar nauwelijks sprake is van getij, neemt men daarnaar de gemiddelde waterstand; dit is het middelstands-vlak  $M$  (mean level).

Het zal duidelijk zijn, dat de werkelijke waterstand kan dalen onder het reducnevak. Er staat de Indische Oceaan, dan minder water dan de kaart aangeeft. Bij het voorkommenen bij  $MLWS$  minder water dan bij de  $LW$ .

Voor nieuwe Britse kaarten en internationale kaarten wordt thans het reducnevak gebaseerd op *Lowest Astronomical Tide* ( $LAT$ ). Dit is het laagste volspelbare niveau waarmee de waterstand kan dalen onder gemiddelde meteorologische omstandigheden. Deze keuze berust op een resolutie van de Internationale Hydrografische Organisatie (IHO), waarin staat dat het reducnevak een zodanig laag niveau moet zijn, dat de waterstand er niet dikwils omlaag gerekend worden. De verschil is van land tot land verschillend.

In Nederland heeft men als reducnevak genomen het gemiddeld laag lagewater springtij  $MLWS$ ; dit is het gemiddelde van de langste lagewaters bij springtij per maand over een op bepaalde wijze gekozen periode van 5 jaar.

Sommige landen, zoals Frankrijk, Spanje en Griekenland nemen als reducnevak de hoogste gemiddelde lagewaterstand in een bepaald aantal landen, zoals Engeland gebruikte men de gemiddelde lagewaterstand bij springtij  $MLWS$  als

Bij dodochtij stijgt het water tot *hoogwater bij dodochtij HWN* en daalt het tot *laagwater bij dodochtij LWN*. Het *middelstandsstandpunt ML* is de gemiddelde waterstand.

Het verschil tussen een  $HW$  stand en de voorafgaande of volgende  $LW$  stand heet *verval*. Onder de *rizing* van het getij op een bepaalde dag verstaat men de afstand tussen het reducnevak en de  $HW$  stand op die dag.

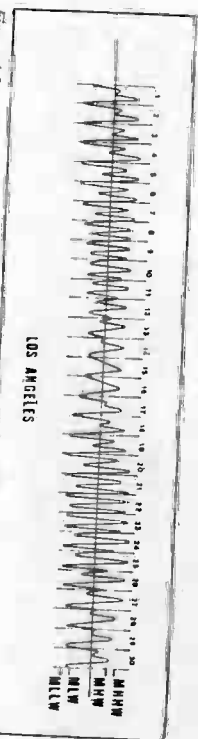
Onder de *waterstand W* op een gegeven tijdstip verstaan we de afstand van  $CD$  tot de waterspiegel.

De werkelijke diepte  $D$  op een gegeven tijdstip is de afstand van de zeebodem tot de waterspiegel.

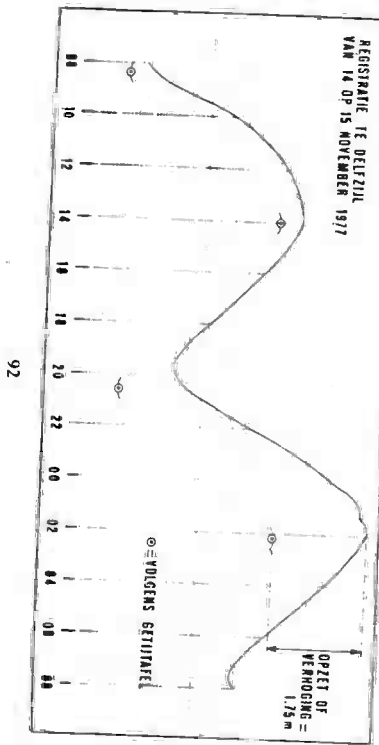
De invloed van het weer op de niveaulatten.

Een harde wind, die enige tijd uit dezelfde richting waait veroorzaakt een oppervlaktestroem, die een *wending* geeft van het zeewater in de richting waar de wind naar toe waait en een verhoging in tegengestelde richting. Zo kan op de Noordzee bij NW wind een verhoging optreden aan onze kust en bij E of SE wind een verlaging. Het duurt ongeveer 24 uur voor een harde wind een aanzienlijke verandering in het zeeniveau heeft toegewegebracht en ongeveer evenlang voor dat het normale niveau weer is

Figuur 4.5



Figuur 4.6

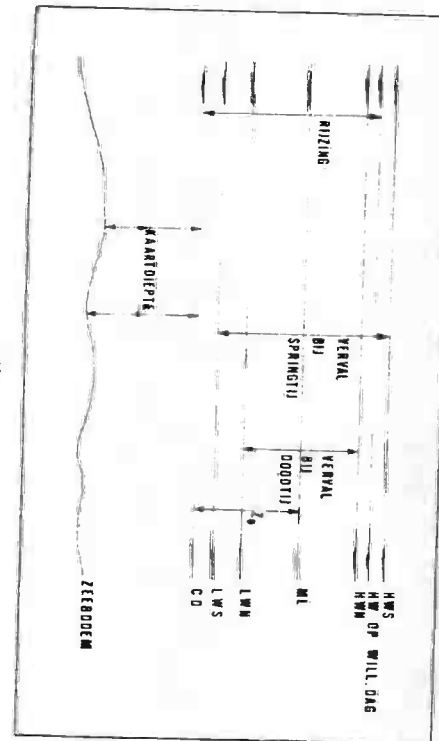


Figuur 4.6

- Het dubbelduidige getij* karakteriseert zich door tweemaal per dag  $HW$  en weemaal per dag  $LW$ , beide  $HW$ 's ongeveer evenhoch en beide  $LW$ 's ongeveer evenlaag. Telkens na 1-4½ dag treftelijp *springtij* op. Dit getijtype komt voor in de Atlantische Oceaan met uitzondering van de Golf van Mexico en in de Indische Oceaan.
- Het enkelegetij* *geïj* geef éénmaal per dag  $HW$  en éénmaal per dag  $LW$ . Telkens na 1½ dag treftelijp *springtij* op.
- We vinden dit *geïj*-type onder andere in de Golf van Mexico, de lavazee en de Zuidelijke Oceaan.

- Het gemengde getij* vertoont een grote dagelijke onregelmatigheid in  $HW$  of in  $LW$  of in allebei. Gewoonlijk zijn er twee  $HW$ 's per dag, maar af en toe wordt het *geïj* enkelvoudig. Dit getijtype komt voornamelijk voor in de Grote Oceaan. Zie figuur 4.5.

Figuur 4.7



Figuur 4.7

- Hogwater bij springtij HW* en *laagwater bij springtij LW* zijn de niveaus waartoe de zeespiegel stijgt, respectievelijk daalt, bij springtij.

- ML* is de gemiddelde waterstand.
- CD* is de gemiddelde waterstand.
- HW* is de waterstand op *WILL. DAG*.
- LW* is de waterstand op *WILL. DAG*.
- ML* is de gemiddelde waterstand.
- CD* is de gemiddelde waterstand.



Het gebruik van de ATT zal nu aan de hand van een aantal voorbeelden worden uiteengezet.

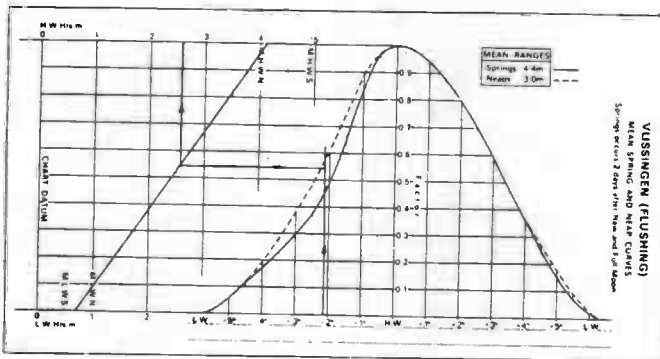
#### Voorbeeld 1.

Berekening van de waterstand op een bepaald moment in een Standard Port uit Volume 1.

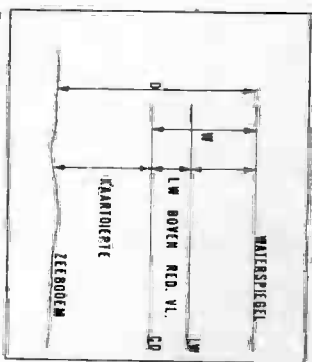
We willen de waterstand weten te Vlissingen op 3 mei 1986 om 0800 ST.

Bij de gegevens voor Vlissingen; zie A.2.1, zien we boven aan de bladzijde staan Time Zone -0100. Dit betekent dat de tijden voor Vlissingen worden opgegeven in GMT+01M. Eventuele verschillen met BT, zoals bij gebruik van zomerrijtij, kunnen we het best aan het eind verrekenen.

Figuur 4.9a



Figuur 4.9b

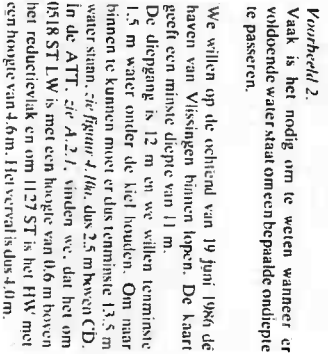


$$D = D_{\text{tun}} + W$$

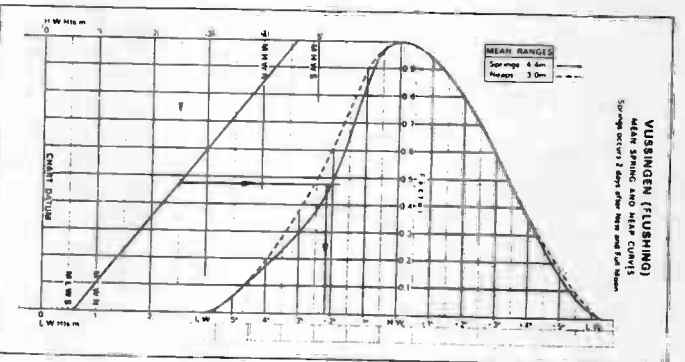
Uit figuur 4.9b lezen we af:

watertijd diepte = kwartdippte + waterstand boven CD of

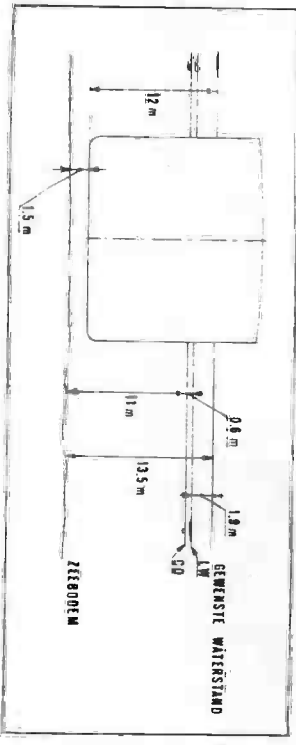
Figuur 4.10a



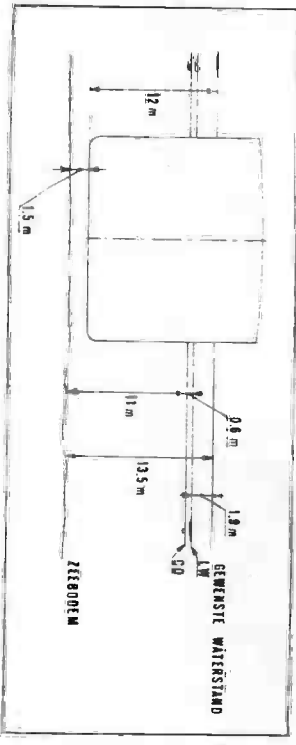
Figuur 4.10b



Figuur 4.10a

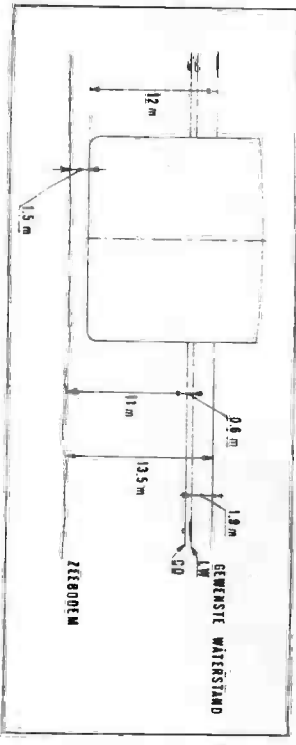


Figuur 4.10b



Voorbeeld 2.

We willen op de ochtend van 19 juni 1986 de haven van Vlissingen binnen lopen. De kaart geeft een minste diepte van 11 m. De diepgang is 12 m en we willen tenminste 1.5 m water onder de kiel houden. Om naar binnen te kunnen moet er dus tenminste 13.5 m water staan; zie figuur 4.10a, dus 2.5 m boven CD. In de ATT, zie A.2.1, vinden we, dat het om 0518 ST LW is met een hoogte van 0.6 m boven het reductievlak en om 1127 ST is het HW met een hoogte van 4.6 m. Het verfall is dus 4.0 m.



We moeten dan 'op het oog' interpoleren, d.w.z. we verdeelen de verfall in tijdstippen in even delen. Want de springtij- en doodtijgrafiek afwijkt van de doodtijgrafiek, als streeplijn uitgevoerd. We moeten dan 'op het oog' onderscheide ligging van de gestelde 'verfall bij doodtij', 'actueel verfall', 'verfall bij springtij' en 'verfall bij doodtij'. We gaan nu maar links tot aan de verbindingslijn tussen HW en LW en dan omhoog (terecht omgaan) om de waterstand af te lezen. We vinden in dit voorbeeld W = 2.6 m.

In het diagram plotten we weer de HW-stand van 4,6 op de horizontale lijn en de LW-stand van 0,6 op de onderste lijn en we verbinden beide punten door een rechte lijn. Vanaf het snijpunt met de 2,5 m-lijn gaan we naar rechts maar de grafiek.

Zowel de springtij als de doodtijgrafiek worden gesmeed. Op de *horizontale* afstand tussen het grafieken bepalen we door interpolatie op het oog (zie voorbeeld 1) het punt waarvan we niet kunnen gaan. We vinden als tijdstip  $2^{\text{h}} 10^{\text{m}}$  voor HW. We kunnen dus vanaf 11:27 - 0:17 = 0:17 ST niet binnen.

Voor een overzichtelijke oplossing kunnen we weer het schema van voorbeeld 1 gebruiken. Het ziet er nu als volgt uit:

LW	tijd	hoogte
HW	0:58	0,6 m
verval	11:27	4,6 m
gewenst tijdstip	0:17	W = 2,5 m
tijd vooraf HW	0:210	

Voorbeeld 3

Berekeningen voor Secondary Ports hebben natuurlijk op soortgelijke problemen betrekking als bij Standard Ports. De oplossing zou identiek verlopen als de gegevens voor een Secondary Port op identieke wijze beschikbaar waren, maar het blijft dat reeds *zo'n* nummers de getijtijden voor Standard Port en bijbehorende Secondary Port zijn gelijkvormig. Wat we nog moeten hebben zijn de tijden en hoogten van HW en LW.

Stel dat we de getijgegevens willen weten voor Delfzijl op 2 augustus 1986. *Zie A2.3, A2.4, A2.5.*

In de index achterin vinden we dat Delfzijl nummer 1473 heeft. Op volgorde van deze nummers zijn de Secondary Ports in Port II gerangschikt. We zien dat Helgoland de Standard Port is voor Delfzijl. Achter Delfzijl vinden we nu vermeld: behalve de geografische positie, de tijdverschillen en de hoogteverschillen met HW en LW Helgoland.

Op 2 augustus vinden we voor Helgoland (hoge-ten in meters):

0328 0,4  
0328 0,4

0911 2,4  
0911 2,4

1610 0,3  
1610 0,3

2150 2,4  
2150 2,4

Als het in Helgoland om 0200 ST of om 1400 ST HW is, dan is het in Delfzijl +0:30 dat wil zeggen 30 minuten later HW dan in Helgoland. Is het in Helgoland echter om 0800 ST of 2000 ST HW dan is het in Delfzijl +0:20, dus 20 minuten later HW.

Op deze dag ligt het eerste HW van 0911 ST in tussen 0800 ST en 1400 ST. Interpoleren geeft:

$$(0911 - 0800) \times (0810 - 0800) = 0002 \\ 1400 - 0800 = 0600$$

Het HW Delfzijl valt dus  $+ 0002 + 0002 = 0002$  ST HW is.

Het volgende HW Helgoland is om 2150 ST. Dat ligt in tussen 2000 ST en 0200 ST van de volgende dag. Interpretieren geeft hier

$$2150 = 2000 \times (0810 - 0800) = 0003 \\ 2000 = 2000$$

Het HW Delfzijl valt nu  $+ 0002 + 0003 = 0003$  na 11:00 Helgoland. Nadat het in Delfzijl om 22:13 ST HW is,

Is het in Helgoland om 0200 ST of 1400 ST LW dan valt 1 LW Delfzijl (OMS) vroeger. Is het in Helgoland om 0800 ST of 2000 ST 1 LW dan valt 1 LW Delfzijl 0:35 later.

Op dezelfde wijze handelen als voor de HW's vinden we dat 1 LW Delfzijl valt te 0340 ST en te 1619 ST.

De verschillen zijn in de ATT tabellaar gegeven, dat de uitkomsten in ST van de Secondary Port zijn. Afwijkende BT moet door de navigator zelf aan het eind in rekening worden gebracht.

Snel dat we de waterstanden van 2,7 m boven CD gevonden hebben, behalve de geografische positie, de tijdverschillen en de hoogteverschillen met HW en LW Helgoland.

Is de hoogwaterstand in Helgoland 2,3 m, dat is genoemd HW hoogwater bij doodtijd (MHWN), dan is het HW in Delfzijl eveneens 0,8 m hoger. Deze hoogteverschillen hoeven niet gelijk te zijn.

Voor Secondary Ports waarvoor dat niet het geval is moet er geïnterpolerd of getijtijden worden als de actuele HW-stand in de Standard Port afwijkt van MHWN of MHWN.

Bij laagwater hebben we een overeenkomstige situatie. Is bij LW Helgoland de waterstand 0,4 m, dat is gemiddeld langwater bij doodtijd later. Port. Voor het interpoleren van de hoogteverschillen moet de seasonal change eerst *afgemerk* worden bij de Standard Port, dan worden de hoogteverschillen bepaald en tenslotte wordt de seasonal change weer *opgeteld* bij de Secondary Port. Vóór het interpoleren van de hoogteverschillen moet de seasonal change eerst *afgemerk* worden bij de Standard Port, dan worden de hoogteverschillen bepaald en tenslotte wordt de seasonal change weer *opgeteld* bij de Secondary Port. En als de LW-stand in Helgoland 0,3 m is, dan is gemiddeld laagwater (MLWS).

dan is het laagwater in Delfzijl ook 0,3 m hoger. Verschillen deze hechten voor een Secondary Port dan moet er geïnterpolerd worden op soortgelijke manier als bij HW.

In *Part I* is bij de voorbeeldje HW- en LW-stand rekening gehouden met seisoeninvloeden. Deze hebben een periodieke verandering van het gemiddeld zeepeivuur (mean sea level, afgekort MSL of ML) tot gevolg. Deze veranderingen

Helgoland	LW	HW	LW	HW
seas. changes SL P.	0:328	-0,4	0:911	2,4
verschillen	—	—	—	—
seas. changes Sec. P.	0:005	0,5	0:022	2,5
Delfzijl	0:333	0,7	0:933	3,2
	1610	0,3	2150	2,4
	—	—	= 0,1	—
	—	—	2,5	—
	0:023	0,8	0:009	0,3
	—	—	-0,1	—
	—	—	0,8	—
	—	—	—	—
	1619	0,6	2213	3,2

De problemen van de voorbeelden 1 en 2 kunnen nu voor Delfzijl op dezelfde wijze worden opgelost met behulp van het diagram voor Helgoland. Het argument voor interpolatie is *altijd* hetzelfde in de Standard Port.

*Volume 2 en 3* zijn nagenoeg identiek ingevuld als *Volume 1*. In *Part I* wordt echter geen gemiddelde getijtijden gegeven voor elke Standard Port zoals in *Volume 1*. In plaats daarvan staat voorin een diagram met een driehoek cosinusformaat met een rijst- of valrijd van 5, 6 en 7 urenn. Stel dat we de waterstanden van 2,7 m boven CD gevonden hebben, behalve de geografische positie, de tijdverschillen en de hoogteverschillen met HW en LW Helgoland.

De verschillen zijn in de ATT tabellaar gegeven, dat de uitkomsten in ST van de Secondary Port zijn. Afwijkende BT moet door de navigator zelf aan het eind in rekening worden gebracht.

$$W(t) = W_{t,w} + (W_{lm} - W_{lw}) \cos \left( \frac{1 - t_{lw}}{t_{lw} - t_{lm}} \cdot 90^\circ \right)$$

worden onder het hoofd 'seasonal changes in mean level' voor de eerste van de maand opgegeven. Voor Helgoland (1431) vinden we voor 1 augustus -0,1 m en voor Delfzijl (1473) eveneens -0,1 m. Bij het werken met de hoogteverschillen moet de seasonal change eerst *afgemerk* worden bij de Standard Port, dan worden de hoogteverschillen bepaald en tenslotte wordt de seasonal change weer *opgeteld* bij de Secondary Port. Vóór het interpoleren van de hoogteverschillen moet de seasonal change eerst *afgemerk* worden bij de Standard Port, dan worden de hoogteverschillen bepaald en tenslotte wordt de seasonal change weer *opgeteld* bij de Secondary Port. En als de LW-stand in Helgoland 0,3 m is, dan is het laagwater (MLWS).

De hoogteverschillen zijn zodanig gegeven, dat de hoogteverschillen verkregen worden ten opzichte van het reducтивvlak te Delfzijl. Het hijsdeerde reductievvlak is altijd het reducтивvlak van de latste editie van de BA-kaart met de grootste schaal van die plaats. Schematisch genoemd zie de oplossing er als volgt uit:

De hoogteverschillen zijn zodanig gegeven, dat de hoogten in Delfzijl verkregen worden ten opzichte van het reducтивvlak te Delfzijl. Het hijsdeerde reductievvlak is altijd het reducтивvlak van de latste editie van de BA-kaart met de grootste schaal van die plaats. Schematisch genoemd zie de oplossing er als volgt uit:

De hoogteverschillen zijn zodanig gegeven, dat de hoogten in Delfzijl verkregen worden ten opzichte van het reducтивvlak te Delfzijl. Het hijsdeerde reductievvlak is altijd het reducтивvlak van de latste editie van de BA-kaart met de grootste schaal van die plaats. Schematisch genoemd zie de oplossing er als volgt uit:

**Met een programmeerbare rekenmachine werkt  
drukker dan de constructieve methode met het  
diagram.**

In *Part IIa* van de Volumes 2 en 3 worden gegeven over getijstromen verslagen voor een zeer beperkt aantal plaatsen. Bij het behandelen van de getijstromen komen we hierop terug.

Bereken de watersland hoven reductievlaak voor Calingapratnam (446) (Volume 2) voor 28 februari 1986. **JKW ST.**

*Oplösung* (Zie A2.7 en A2.8)  
Calingapatham is een Secondary Port met Basis  
sein River Entrance (4539) als Standard Port.

Bassac River	LW	HW
Entrance		
seas. changes	181 <sup>2</sup> -0.3	0.023 -0.3
	2.1	

Calibration	verschillen seas. changes
1970	-0.3
1971	-0.2
1972	-0.2

rijstijd gewenst tijdstip tijd wachten HW	6 <sup>h</sup> 01 <sup>m</sup>	...
	7000 0310	...

4.5 Getijstromen.

we stroom. We onderscheiden *zestralen*, die een uitstroom danken aan winden zoals passen of aan dichtheidverschillen in het zeewater, en die deel uitmaken van de algemene circulatie in

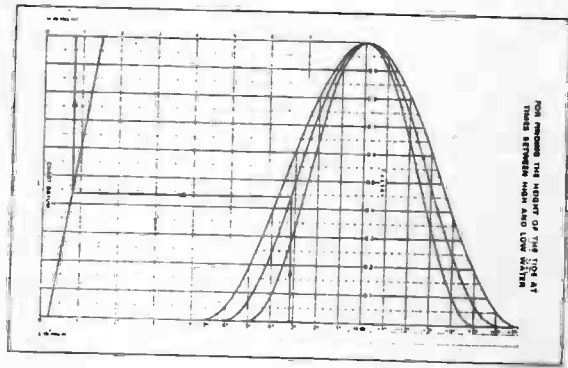
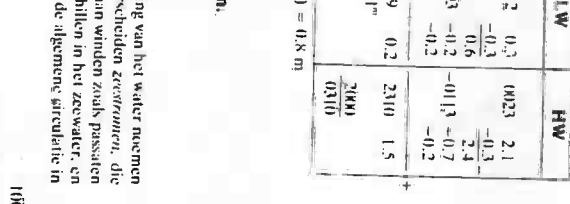


Figure 4.11

Daarbij varieert de stroomsneldheid. Deze is tijdens de omkering van richting. We zeggen dat het *sil water* is of dat de *stroom kontra* gegeven grafiek, die veel overeenkomst vertoont met een dubbeldaags karakter en van het gemengde type voor te komen en soms enkele daagse getijstromen.

Vaak blijkt een vaste relatie te bestaan tussen de getijstromen en de verticale waterbeweging van een plaats in de omgeving. In het bijzonder is dit het geval bij dubbeldaagse getijstromen. Hierbij is het echter niet zo, dat sil water altijd samen valt met TW en LW. Dan kan incidenteel zo zijn maar het komt ook voor dat de stroom kenmerkend moet houden. Dit hangt weer samen met de vorm en afmetingen van het zeegebied.

Bekendheid moet de stroom is van het grootste belang voor de navigator, omdat de stroom de baan van het schip over de grond beïnvloedt; niet alleen de voorwaarden voor de aanleg van een haven,

Wanneer de stroomrichting verschillend is dan de vaartvector van het schip, dan verschilt de totale vector over de grond.

die ontstaan ten gevolge van meteorologische invloeden. Deze kunnen bestaande stromen versterken of verzwakken. *(turbulent) transversale* stromen zijn periodieke stromen die samenhangen met de verticale getijbeweging.

**Stromen worden benoemd naar de richting waarin het water beweegt.** Een NE-stroom wordt dus gezien dat het water naar het NE beweegt.

Dir in tegenstelling tot de wind, die benoemd wordt naar de richting waar de lucht vandaan stroomt. Een stroom wordt vastgelegd door zijn richting en zijn snelheid in knopen.

Op enige afstand uit de kust, waar de waterbe- weling niet gehinderd wordt, is de getijstromom meestal rondvarend, daarbij variërend in snel heid. Zodat voor een bepaalde plaats de uiteindel van de stroombewegingen op een ellipsvormige figuur liggen. *Zie figuur 4.1.*

卷之三

4.5 - Algemeen

De meest karakteristieke beweging van het water noemen we stroom. We onderscheiden *zeestromen*, die een uitstaan danken aan winden zoals passaten of aan dichtheidverschillen in het zeewater, en die deel uitmaken van de algemene circulatie in

Op enige afstand uit de kust waar de waterbeweging niet gehinderd wordt is de getijstroom meestal doorตรatend, daarin variërend in snelheid. Zolang voor een bepaalde plaats de uiteinden van de strookverecties op een ellipsvormige figuur liggen. *Zie figuur 4.1.*

16

#### 4.5.2 Voorbeelding van getijstromen

In de zeekaart worden plaatsen waar het patroon van de getijstroom bekend is, aangegeven met een letter in een ruit. Dit symbool verwist dan

naar een tabeltje op de kaart, waarin per uur opgegeven worden de richting van de stroom en de snelheid. In knopen beweegt hij springtig als bij doodtij. Zie testkaart 5052. De tijden worden opgegeven als hele uren voor of na HW van een

*Stroomatlas*" voor een bepaald gebied bevat ten karten, waarop van uur tot uur door middel van pijlen het stromingspatroon is aangegeven.

Het water stroomt in de door de pijlen aangegeven richtingen. Gewoonlijk is de dikte van de pijl een aanduiding voor de grootte van de stroom snelheid. De getallen bij de pijlen geven de stroom snelheid aan in tienden van knopen.

nauwkeurig, zowel bij doodtij als bij springtij. Er is steeds een kaart voor elk uur voor en na HW in de referentiehavens lopend van 6 uur voor

in de *ATT Partia* van de volumes 2 en 3 wordt voor een beperkt aantal statuten en passages, voornamelijk in Azja en de TICA-

opgave gedaan van de tijden van stil water en van de tijden met snelheden van maximale stroom. Omdat in straten en dergelijke sic

stroem slechts in twee richtingen kan lopen, wordt met een + of een - verwezen naar deze richtingen, die boven aan de bladzijde vermeld staan. Zie A.2.II.

*ij het gebruik van de stroomvoorspellingen moet steeds bedacht worden dat het gemiddelde zijn en dat er achter een reeks*

... en dat ze gelden voor gemiddelde stijngedrag. De stroom die in werkelijkheid onverwonden wordt is een combinatie van getijstroom en andere stromen met een lokaal karakter.

*r of afhankelijk van de weersomstandigheden. aaron moeten steeds de voor het gebied lidende zielaanwijzingen geraadpleegd wor-*

n. Bovendien kan op enige diepte een stroom ontstaan, de onderstroom, die verschilt van de oppervlaktesstroom, zodat bijvoorbeeld wegzet-  
ting plaats vindt bij stil oppervlaktewater!

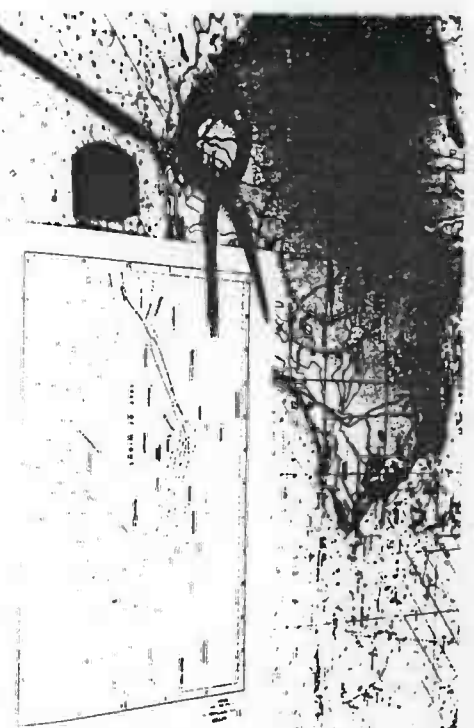
## 4.7 Vraagstukken.

### 4.7.1 Opgaven:

1. Bepaal de waterstand W ten opzichte van CD te Le Havre op 5 november 1986 om 10:01 ST.
2. Hoe laat ST is op 12 oktober 1986 in de namiddag de waterstand te Le Havre gestegen tot 5 m boven CD?

3. Bereken de waterstand W ten opzichte van om 10:00 ST.
4. Tussen welke tijden ST staat in Rouen (1580) de waterpiegel tenminste 6 m boven CD op 11 november 1986?
5. Bereken de waterstand W ten opzichte van CD te Bassin River Entrance (Thumbaik Kyun) op 28 april 1986 om 17:00 ST.
6. Bepaal de ijstijden in ST en in GMT nevens de waterstanden boven CD van HW on L.W te Sander Kora Reach (4497) op 1 januari 1986.
7. Bereken de waterstand W te Vlissingen op 18 mei 1986 te 06:00 ST. Hoe laat is het hier dan uitgedrukt in GMT?
8. Gedurende welke periode overdag kan een schip een punt bij Vlissingen passeren waar volgens de kaart 9 m water staat? Datum 8 juli 1986, diepgang 11.6 m en de UKC moet 1 m bedragen.
9. Bereken op welke ijstijden op 23 juni 1986 er te Vlissingen 2 m waterboven CD staat.
10. Bereken tijden en hoogten van HW en LW te Lauwersoog (1477) op 2 juli 1986.
11. Bereken op welke ijstijden op 8 juli 1986 er te Norddich Haten (1470) 2 m water boven CD staat.
12. Bereken het gemiddelde verval te Borkum (1472) op 21 augustus 1986.

13. Gedurende welke periode overdag kan een schip de oondiepte van 8.7 m bij Hirian Point (4496) passeren op 9 februari 1986? De diepgang is 9 m en de UKC moet 1 m bedragen.
14. Bereken tijden en hoogten van HW en LW bij Jefford Point (4495) voor 3 maart 1986.
15. Bereken tijden en hoogten van HW en LW bij Jayman Reach (4498) voor 24 februari 1986.



Figuur 4.12 Engelse Straatmaas top BA 2045.

## 4.6 Samenvatting.

De getijveranderingen, die een periodiek karakter hebben, worden door astronomische factoren bepaald. We onderscheiden een *verticale* en een *horizontale* getijbeweging. De latitudoen noemen we *geografisch*. De wortelurend wisselende waterstand noopt tot het aangeven van een *reductievlak*, waarin de kustlijnen zijn herleid. Bepaalde weersomstandigheden kunnen plauselijk voor afwijkingen van de waterstand zorgen, soms wel tot enige meters. Voor de inschatting van de waterstand zorgt

we gebruik van *getijtafels*, waarbij de *Admiralty Tide Tables (ATT)* de voornaamste plaats innemen. De voorspellingen, berekend met Volume 1 zijn verhinderd dan de op overeenkomstige wijze verkregen voorspellingen uit de Volumes 2 en 3. Dit is voornamelijk een gevolg van het wegvallen van de beschikbaarheid van de *geografische* getijbeweging. De latitudoen kunnen niet worden berekend met behulp van de gegevens in de *reductiekart* of door middel van *stronomische*, terwijl voor een beperkt aantal gebieden de ATT *Periodenlijsten 2 en 3 Part 1a* gebruikt kunnen worden. Bij het bevoorden van de stroomgevaren moet altijd de getrokken *pijl* geraadpleegd worden.

- 4.7.2 Antwoorden.
1. 6.8 m
2. 1505 ST
3. 5.3 m
4. 0000-0130  
0733-1433
5. 0.9 m  
2018-2400
6. 0003 ST (1/I), 1803 GMT (10/1), 3.5 m  
0714 ST (1/I), 0114 GMT (1/I), 1.2 m  
1230 ST (1/I), 0630 GMT (1/I), 3.2 m  
1902 ST (1/I), 1302 GMT (1/I), 1.0 m
7. 2.1 m, 0500 GMT
8. 1325 ST tot 1715 ST
9. 0627 ST tot 1208 ST en 1858 ST
10. 0640 ST 2.8 m  
1225 ST 0.8 m  
1947 ST 3.0 m
11. 0238 ST, 0927 ST, 1452 ST en 2237 ST
12. 2.9 m
13. ongeveer 0730 ST tot 1430 ST
14. 0200 ST 2.6 m  
0831 ST 1.2 m
15. 0801 ST 1.1 m  
1322 ST 3.0 m  
1648 ST 1.1 m
- 2118 ST 1.5 m
16. 0059 ST 3.2 m
17. 0801 ST 1.1 m
18. 1322 ST 3.0 m
19. 1648 ST 1.1 m

## A.2 Overdrukken uit ATT, NA en BPR.

### A.2.1

#### NETHERLANDS - VLissingen (Flushing)

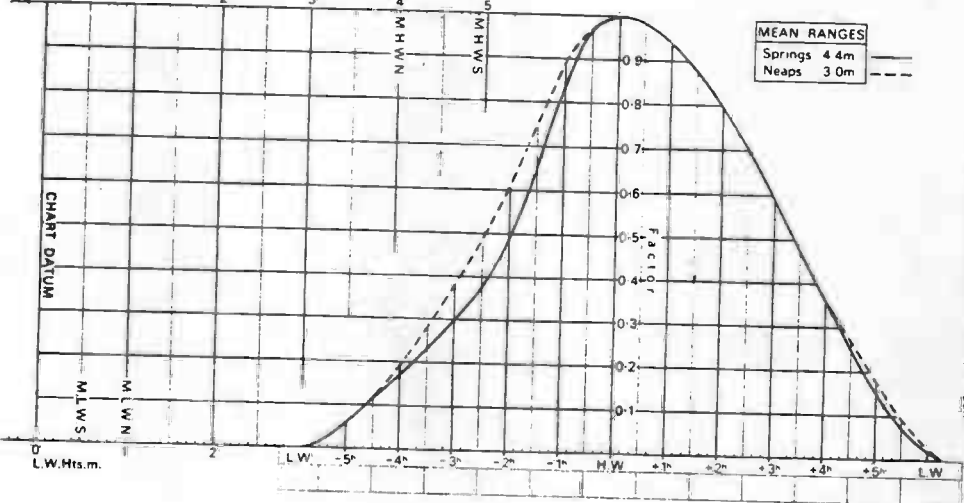
TIME ZONE -0100		TIMES AND HEIGHTS OF HIGH AND LOW WATERS												YEAR 1986	
		MAY				JUNE				JULY				AUGUST	
TIME	M	TIME	M	TIME	M	TIME	M	TIME	M	TIME	M	TIME	M	TIME	M
1 0101	0.6	0020	0.8	1 0324	0.6	16 0205	0.7	1 0330	0.7	0231	0.6	1 0441	1.1	16 0430	1.0
0721	4.2	0624	4.0	0931	4.2	0820	4.2	0946	4.1	16 0843	4.3	1 1114	3.8	16 1044	4.1
TM 1336	1.0	F 1246	1.1	SU 1556	1.1	M 1428	1.1	TU 1554	1.1	W 1451	1.0	F 1722	1.2	SA 1708	1.1
1958	3.8	1905	3.8	2158	4.0	2045	4.0	2211	4.0	2109	4.2	2338	3.9	2316	4.3
2 0227	0.8	17 0121	0.9	2 0436	0.6	17 0310	0.7	2 0435	0.8	0337	0.7	2 0548	1.1	17 0549	0.9
0845	4.1	0749	3.9	1035	4.2	0925	4.3	1049	4.1	17 0952	4.3	2 1214	4.0	17 1156	4.2
F 1515	1.2	SA 1359	1.2	M 1703	1.0	TU 1534	1.0	W 1701	1.1	TH 1603	1.0	SA 1825	1.1	SU 1823	0.9
2122	3.7	2019	3.7	2258	4.1	2151	4.1	2311	4.1	2220	4.2				
3 0401	0.7	18 0247	0.9	3 0532	0.6	18 0414	0.6	3 0533	0.9	0448	0.7	3 0034	4.0	18 0023	4.5
1008	4.1	0903	3.9	3 1130	4.3	1028	4.4	3 1145	4.1	1100	4.4	3 0641	1.1	18 0651	0.8
SA 1643	1.1	SU 1524	1.2	TU 1752	0.9	W 1638	0.9	TH 1758	1.0	F 1718	0.9	SU 1302	4.1	M 1254	4.4
2239	3.9	2130	3.8	2349	4.2	2253	4.3			2327	4.4	1913	1.0	1923	0.6
4 0515	0.6	19 0358	0.8	4 0617	0.6	19 0518	0.5	4 0004	4.1	19 0557	0.7	4 0118	4.2	19 0118	4.8
1115	4.3	1011	4.1	4 1217	4.4	1127	4.6	4 0620	0.9	19 1204	4.5	4 0724	1.0	19 0743	0.8
SU 1744	1.0	M 1627	1.1	W 1833	0.9	TH 1741	0.8	F 1235	4.2	SA 1827	0.8	M 1340	4.3	TU 1342	4.6
2338	4.1	2238	4.0			2349	4.3	1846	0.9			1954	0.8	O 2014	0.4
5 0609	0.4	20 0500	0.7	5 0033	4.3	20 0617	0.5	5 0051	4.2	20 0027	4.6	5 0156	4.4	20 0205	4.9
1207	4.5	1111	4.4	5 0654	0.6	20 1220	4.7	5 0701	0.9	20 0657	0.6	5 0802	0.9	20 0829	0.7
M 1829	0.8	TU 1723	0.9	TH 1258	4.4	F 1840	0.7	SA 1318	4.3	SU 1300	4.6	TU 1414	4.4	W 1425	4.7
2333	4.3	1910	0.8			1928	0.9	1927	0.6	● 2031	0.7	2059	0.2		
6 0024	4.3	21 0557	0.5	6 0112	4.4	21 0041	4.7	6 0132	4.3	21 021	4.8	6 0229	4.6	21 0247	5.0
0652	0.4	1200	4.6	6 0728	0.7	0711	0.4	6 0740	0.9	0751	0.6	6 0838	0.9	21 0909	0.8
TU 1248	4.5	W 1815	0.7	F 1336	4.4	SA 1311	4.8	SU 1356	4.4	M 1351	4.7	W 1446	4.6	TH 1505	4.8
1905	0.8			1947	0.7	1935	0.3	2009	0.8	2021	0.4	2108	0.6	2141	0.2
7 0103	4.5	22 0020	4.5	7 0148	4.5	22 0130	4.9	7 0209	4.4	22 0212	4.9	7 0302	4.7	22 0328	5.0
0728	0.4	0646	0.4	7 0803	0.7	0801	0.4	7 0818	0.9	0840	0.6	7 0914	0.8	22 0947	0.8
W 1325	4.6	TM 1245	4.8	SA 1410	4.5	SU 1400	4.6	M 1430	4.4	TU 1439	4.7	TH 1518	4.7	F 1545	4.9
1938	0.7	1904	0.6	● 2025	0.7	O 2027	0.4	● 2048	0.7	2112	0.3	2145	0.5	2220	0.2
8 0137	4.6	23 0104	4.8	8 0223	4.5	23 0219	4.9	8 0245	4.5	23 0300	4.9	8 0334	4.8	23 0408	4.9
0800	0.5	23 0734	0.3	8 0838	0.7	23 0850	0.5	8 0856	0.8	23 0926	0.7	8 0952	0.8	23 1024	0.8
TH 1359	4.5	F 1329	4.9	SU 1444	4.5	M 1448	4.7	TU 1505	4.5	W 1525	4.7	F 1551	4.7	SA 1625	4.9
● 2012	0.6	O 1952	0.5	2103	0.6	2118	0.3	2127	0.6	2200	2.1	2224	0.4	2257	0.3
9 0210	4.6	24 0147	4.9	9 0258	4.5	24 0308	5.0	9 0320	4.6	24 0348	5.0	9 0408	4.8	24 0449	4.8
0832	0.5	24 0820	0.3	9 0314	0.7	0397	0.6	9 0933	0.8	24 1009	0.8	9 1029	4.0	24 1100	0.8
F 1431	4.6	SA 1414	4.9	M 1518	4.5	TU 1538	4.7	W 1539	4.5	TH 1610	4.8	SA 1626	4.7	SU 1704	4.8
2047	0.6	2039	0.4	2141	0.6	2208	0.3	2205	0.6	2245	0.2	2303	0.4	2333	0.4
10 0243	4.6	25 0232	5.0	10 0333	4.5	25 0359	4.9	10 0354	4.6	25 0435	4.9	10 0443	4.8	25 0529	4.7
0905	0.5	0905	0.3	10 0949	0.8	1023	0.7	10 1010	0.9	10 1050	0.8	10 1106	0.8	25 1137	0.9
SA 1504	4.6	SU 1459	4.9	TU 1552	4.4	W 1627	4.6	TH 1613	4.5	F 1655	4.7	SU 1701	4.7	M 1744	4.7
2123	0.6	2127	0.3	2217	0.6	2258	0.2	2243	0.5	2327	0.2	2341	0.4		
11 0316	4.6	26 0317	5.0	11 0407	4.5	26 0453	4.8	11 0429	4.6	26 0522	4.8	11 0552	4.8	26 0607	0.6
0938	0.6	0950	0.4	11 1024	0.9	1109	0.8	1048	0.9	26 1133	0.9	11 1143	0.9	26 1609	4.5
SU 1535	4.5	M 1546	4.7	W 1627	4.3	TH 1719	4.5	F 1649	4.4	SA 1740	4.7	M 1740	4.6	TU 1215	1.0
2158	0.6	2214	0.3	2253	0.7	2348	0.3	2322	0.5					1824	4.5
12 0349	4.6	27 0405	4.9	12 0442	4.4	27 0550	4.7	12 0506	4.6	27 0609	0.3	12 0606	4.6	27 0651	4.2
1010	0.7	27 1036	0.5	12 1100	0.9	1157	0.9	1126	1.1	12 1224	0.9	12 1224	0.9	W 1257	1.1
M 1607	4.4	TH 1637	4.6	TH 1705	0.9	F 1812	4.4	SA 1727	4.4	12 1213	0.9	12 1826	4.6	1910	4.2
2229	0.7	2303	0.3			2105	4.1	2000	4.2	2108	3.9	2158	4.1	2309	3.7
13 0421	4.5	28 0459	4.8	13 0522	4.3	28 0040	0.3	13 0001	0.5	28 0051	0.5	13 0404	0.6	28 0128	1.0
1039	0.8	28 1123	0.7	13 1141	1.0	0646	4.6	0348	4.5	28 0657	4.4	13 0659	4.5	28 0738	3.9
TU 1639	4.3	W 1732	4.4	F 1748	9.0	SA 1249	1.0	SU 1206	1.0	M 1300	1.0	W 1315	1.0	TH 1358	1.3
2259	0.7	2356	0.4	0'0000	0.0	1906	4.3	1810	4.4	1913	4.4	1920	4.4	2006	3.8
14 0454	4.3	29 0602	4.6	14 0013	0.7	0610	4.2	0742	4.4	14 0637	4.5	14 0745	4.2	29 0807	3.7
1122	0.9	1215	0.9	14 1941	4.0	0230	0.6	15 0133	0.6	14 0840	4.0	29 0923	4.1	29 1035	3.5
W 1715	4.1	TH 1834	4.2	SA 1228	1.1	SU 1347	1.1	M 1252	1.0	TH 1354	1.1	TH 1419	1.1	F 1526	1.5
2334	0.8	1839	4.1	2002	4.2	1900	4.3	2005	4.2	2034	4.2	2127	3.6		
15 0532	4.2	30 0058	0.5	15 0104	0.7	0230	0.6	15 0133	0.6	30 0229	0.9	15 0310	0.9	30 0400	1.4
1153	1.0	30 0713	4.4	15 0713	4.2	0841	4.2	0737	4.4	30 0840	4.0	30 0923	4.1	30 1035	3.5
TH 1800	4.0	F 1319	1.1	SU 1324	1.1	M 1449	1.1	TU 1346	1.0	W 1457	1.2	F 1541	1.1	SA 1846	1.4
1938	4.1	1941	4.0	2105	4.1	2000	4.2	2000	4.2	2108	3.9	2158	4.1	2309	3.7
31 0210	0.6											31 0331	1.0		
0821	4.3											31 0955	3.8		
SA 1437	1.2											31 1608	1.3		
2048	4.0											31 2228	3.8		

Reproduced from portions of Hydrographic Publications with the sanction of the Controller, HM Stationery Office and of the Hydrographer of the Navy.

A.2.2

VLIJSSINGEN (FLUSHING)

### MEAN SPRING AND NEAP CURVES



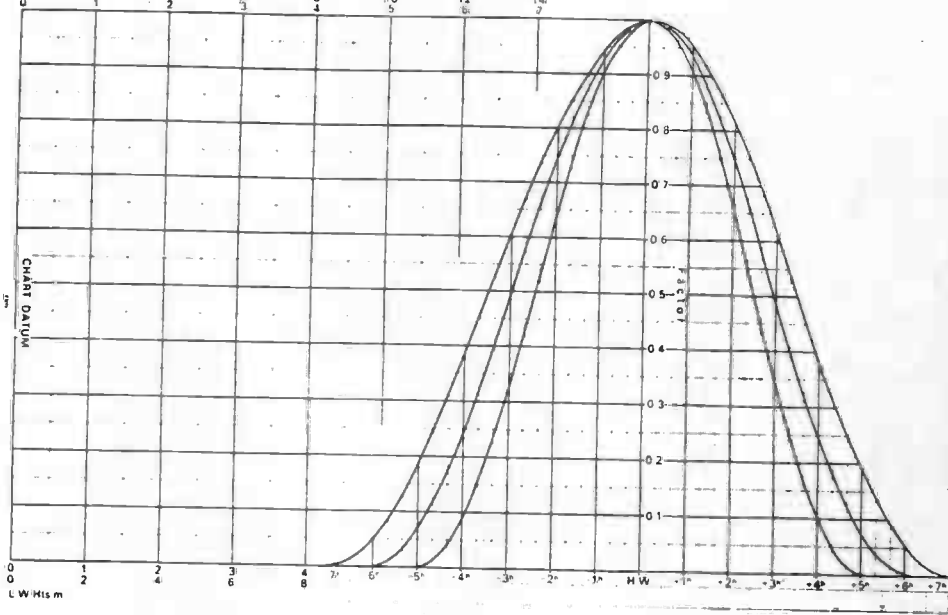
A.2;3

GERMANY - HELGOLAN

### A.2.4

No.	Fr. M.	I H. N.	I H. E.	H. W. (Zero value)	High Water Low Water	Mean High Water (Zero value)	Mean Low Water (Zero value)	Mean Range M. H. W. - L. W.
(a) WILHELMSHAVEN								
	(see page 66)	Ind.	Ind.	Ind.	Ind.	Ind.	Ind.	Ind.
1449	Alte Weser-Lühesburg	G 53 54	8.00	-0.053	-0.050	-0.050	-0.050	-0.10
1450	Bremervörde	G 53 55	8.15	-0.053	-0.050	-0.050	-0.050	-0.10
1451	Nordenham	G 53 56	8.15	-0.053	-0.050	-0.050	-0.050	-0.10
1452	Borkum	G 53 57	8.15	-0.053	-0.050	-0.050	-0.050	-0.10
1453	Erdöhl	G 53 58	8.15	-0.053	-0.050	-0.050	-0.050	-0.10
1454	Vegesack	G 53 59	8.15	-0.053	-0.050	-0.050	-0.050	-0.10
1455	Bremen	G 53 60	8.15	-0.053	-0.050	-0.050	-0.050	-0.10
1456	Kiel-Friedrichsort	G 53 61	8.15	-0.053	-0.050	-0.050	-0.050	-0.10
1457	Wesermündung (Fa.)	G 53 62	7.50	-0.050	-0.050	-0.050	-0.050	-0.05
1458	Wesermündung (Fa.)	G 53 63	7.50	-0.050	-0.050	-0.050	-0.050	-0.05
1459	Wesermündung (Fa.)	G 53 64	7.50	-0.050	-0.050	-0.050	-0.050	-0.05
1460	Schleswig-Holstein	G 53 65	7.50	-0.050	-0.050	-0.050	-0.050	-0.05
1461	Flensburg	G 53 66	7.50	-0.050	-0.050	-0.050	-0.050	-0.05
1462	WILHELMSHAVEN	G 53 67	8.00	-0.050	-0.050	-0.050	-0.050	-0.05
1463	Neuschooner Tief	G 53 68	8.00	-0.050	-0.050	-0.050	-0.050	-0.05
1464	Neuschooner Tief	G 53 69	8.00	-0.050	-0.050	-0.050	-0.050	-0.05
(b) HELGOLAND								
	(see page 58)	Ind.	Ind.	Ind.	Ind.	Ind.	Ind.	Ind.
1465	Falkland Islands (Argentina)	G 53 70	7.50	-0.050	-0.050	-0.050	-0.050	-0.05
1466	South Georgia (Argentina)	G 53 71	7.50	-0.050	-0.050	-0.050	-0.050	-0.05
1467	New Zealand (Ridge)	G 53 72	7.50	-0.050	-0.050	-0.050	-0.050	-0.05
1468	New Zealand (Banks)	G 53 73	7.50	-0.050	-0.050	-0.050	-0.050	-0.05
1469	River Cawdor	G 53 74	7.50	-0.050	-0.050	-0.050	-0.050	-0.05
1470	Menai Strait	G 53 75	8.50	-0.050	-0.050	-0.050	-0.050	-0.05
1471	Flensburg Fjord (Denmark)	G 53 76	8.50	-0.050	-0.050	-0.050	-0.050	-0.05
1472	Finnmark (Norway)	G 53 77	8.50	-0.050	-0.050	-0.050	-0.050	-0.05
1473	Iceland	G 53 78	8.50	-0.050	-0.050	-0.050	-0.050	-0.05
1474	Kvæst	G 53 79	8.50	-0.050	-0.050	-0.050	-0.050	-0.05
1475	Emden	G 53 80	8.50	-0.050	-0.050	-0.050	-0.050	-0.05
1476	Netherlands	G 53 81	8.50	-0.050	-0.050	-0.050	-0.050	-0.05
1477	Waddenzee	N 53 35	8.12	-0.114	-0.114	-0.114	-0.114	-0.10
1478	Waddenzee	N 53 36	8.12	-0.114	-0.114	-0.114	-0.114	-0.10
1479	Waddenzee	N 53 37	8.12	-0.114	-0.114	-0.114	-0.114	-0.10
1480	Waddenzee	N 53 38	8.12	-0.114	-0.114	-0.114	-0.114	-0.10
1481	Waddenzee	N 53 39	8.12	-0.114	-0.114	-0.114	-0.114	-0.10
1482	Waddenzee	N 53 40	8.12	-0.114	-0.114	-0.114	-0.114	-0.10
1483	Waddenzee	N 53 41	8.12	-0.114	-0.114	-0.114	-0.114	-0.10
1484	Waddenzee	N 53 42	8.12	-0.114	-0.114	-0.114	-0.114	-0.10
1485	Waddenzee	N 53 43	8.12	-0.114	-0.114	-0.114	-0.114	-0.10
1486	Waddenzee	N 53 44	8.12	-0.114	-0.114	-0.114	-0.114	-0.10
1487	Waddenzee	N 53 45	8.12	-0.114	-0.114	-0.114	-0.114	-0.10
1488	Osprey Sheld	N 53 46	8.12	-0.114	-0.114	-0.114	-0.114	-0.10
1489	Osprey Sheld	N 53 47	8.12	-0.114	-0.114	-0.114	-0.114	-0.10
1490	Osprey Sheld	N 53 48	8.12	-0.114	-0.114	-0.114	-0.114	-0.10
1491	Osprey Sheld	N 53 49	8.12	-0.114	-0.114	-0.114	-0.114	-0.10
1492	Osprey Sheld	N 53 50	8.12	-0.114	-0.114	-0.114	-0.114	-0.10
1493	Osprey Sheld	N 53 51	8.12	-0.114	-0.114	-0.114	-0.114	-0.10
1494	Osprey Sheld	N 53 52	8.12	-0.114	-0.114	-0.114	-0.114	-0.10
1495	Osprey Sheld	N 53 53	8.12	-0.114	-0.114	-0.114	-0.114	-0.10
1496	Osprey Sheld	N 53 54	8.12	-0.114	-0.114	-0.114	-0.114	-0.10
1497	Osprey Sheld	N 53 55	8.12	-0.114	-0.114	-0.114	-0.114	-0.10
1498	Osprey Sheld	N 53 56	8.12	-0.114	-0.114	-0.114	-0.114	-0.10
1499	Osprey Sheld	N 53 57	8.12	-0.114	-0.114	-0.114	-0.114	-0.10
1500	Osprey Sheld	N 53 58	8.12	-0.114	-0.114	-0.114	-0.114	-0.10
1501	Osprey Sheld	N 53 59	8.12	-0.114	-0.114	-0.114	-0.114	-0.10
1502	Osprey Sheld	N 53 60	8.12	-0.114	-0.114	-0.114	-0.114	-0.10
1503	Osprey Sheld	N 53 61	8.12	-0.114	-0.114	-0.114	-0.114	-0.10
1504	Osprey Sheld	N 53 62	8.12	-0.114	-0.114	-0.114	-0.114	-0.10
1505	Osprey Sheld	N 53 63	8.12	-0.114	-0.114	-0.114	-0.114	-0.10
1506	Osprey Sheld	N 53 64	8.12	-0.114	-0.114	-0.114	-0.114	-0.10
1507	Osprey Sheld	N 53 65	8.12	-0.114	-0.114	-0.114	-0.114	-0.10
1508	Osprey Sheld	N 53 66	8.12	-0.114	-0.114	-0.114	-0.114	-0.10
1509	Osprey Sheld	N 53 67	8.12	-0.114	-0.114	-0.114	-0.114	-0.10
1510	Osprey Sheld	N 53 68	8.12	-0.114	-0.114	-0.114	-0.114	-0.10
1511	Osprey Sheld	N 53 69	8.12	-0.114	-0.114	-0.114	-0.114	-0.10
1512	Osprey Sheld	N 53 70	8.12	-0.114	-0.114	-0.114	-0.114	-0.10
1513	Osprey Sheld	N 53 71	8.12	-0.114	-0.114	-0.114	-0.114	-0.10
1514	Osprey Sheld	N 53 72	8.12	-0.114	-0.114	-0.114	-0.114	-0.10
1515	Osprey Sheld	N 53 73	8.12	-0.114	-0.114	-0.114	-0.114	-0.10
1516	Osprey Sheld	N 53 74	8.12	-0.114	-0.114	-0.114	-0.114	-0.10
1517	Osprey Sheld	N 53 75	8.12	-0.114	-0.114	-0.114	-0.114	-0.10
1518	Osprey Sheld	N 53 76	8.12	-0.114	-0.114	-0.114	-0.114	-0.10
1519	Osprey Sheld	N 53 77	8.12	-0.114	-0.114	-0.114	-0.114	-0.10
1520	Osprey Sheld	N 53 78	8.12	-0.114	-0.114	-0.114	-0.114	-0.10
1521	Osprey Sheld	N 53 79	8.12	-0.114	-0.114	-0.114	-0.114	-0.10
1522	Osprey Sheld	N 53 80	8.12	-0.114	-0.114	-0.114	-0.114	-0.10
1523	Osprey Sheld	N 53 81	8.12	-0.114	-0.114	-0.114	-0.114	-0.10
1524	Osprey Sheld	N 53 82	8.12	-0.114	-0.114	-0.114	-0.114	-0.10
1525	Osprey Sheld	N 53 83	8.12	-0.114	-0.114	-0.114	-0.114	-0.10
1526	Osprey Sheld	N 53 84	8.12	-0.114	-0.114	-0.114	-0.114	-0.10
1527	Osprey Sheld	N 53 85	8.12	-0.114	-0.114	-0.114	-0.114	-0.10
1528	Osprey Sheld	N 53 86	8.12	-0.114	-0.114	-0.114	-0.114	-0.10
1529	Osprey Sheld	N 53 87	8.12	-0.114	-0.114	-0.114	-0.114	-0.10
1530	Osprey Sheld	N 53 88	8.12	-0.114	-0.114	-0.114	-0.114	-0.10
1531	Osprey Sheld	N 53 89	8.12	-0.114	-0.114	-0.114	-0.114	-0.10
1532	Osprey Sheld	N 53 90	8.12	-0.114	-0.114	-0.114	-0.114	-0.10
1533	Osprey Sheld	N 53 91	8.12	-0.114	-0.114	-0.114	-0.114	-0.10
1534	Osprey Sheld	N 53 92	8.12	-0.114	-0.114	-0.114	-0.114	-0.10
1535	Osprey Sheld	N 53 93	8.12	-0.114	-0.114	-0.114	-0.114	-0.10
1536	Osprey Sheld	N 53 94	8.12	-0.114	-0.114	-0.114	-0.114	-0.10
1537	Osprey Sheld	N 53 95	8.12	-0.114	-0.114	-0.114	-0.114	-0.10
1538	Osprey Sheld	N 53 96	8.12	-0.114	-0.114	-0.114	-0.114	-0.10
1539	Osprey Sheld	N 53 97	8.12	-0.114	-0.114	-0.114	-0.114	-0.10
1540	Osprey Sheld	N 53 98	8.12	-0.114	-0.114	-0.114	-0.114	-0.10
1541	Osprey Sheld	N 53 99	8.12	-0.114	-0.114	-0.114	-0.114	-0.10
1542	Osprey Sheld	N 53 100	8.12	-0.114	-0.114	-0.114	-0.114	-0.10
1543	Osprey Sheld	N 53 101	8.12	-0.114	-0.114	-0.114	-0.114	-0.10
1544	Osprey Sheld	N 53 102	8.12	-0.114	-0.114	-0.114	-0.114	-0.10
1545	Osprey Sheld	N 53 103	8.12	-0.114	-0.114	-0.114	-0.114	-0.10
1546	Osprey Sheld	N 53 104	8.12	-0.114	-0.114	-0.114	-0.114	-0.10
1547	Osprey Sheld	N 53 105	8.12	-0.114	-0.114	-0.114	-0.114	-0.10
1548	Osprey Sheld	N 53 106	8.12	-0.114	-0.114	-0.114	-0.114	-0.10
1549	Osprey Sheld	N 53 107	8.12	-0.114	-0.114	-0.114	-0.114	-0.10
1550	Osprey Sheld	N 53 108	8.12	-0.114	-0.114	-0.114	-0.114	-0.10
1551	Osprey Sheld	N 53 109	8.12	-0.114	-0.114	-0.114	-0.114	-0.10
1552	Osprey Sheld	N 53 110	8.12	-0.114	-0.114	-0.114	-0.114	-0.10
1553	Osprey Sheld	N 53 111	8.12	-0.114	-0.114	-0.114	-0.114	-0.10
1554	Osprey Sheld	N 53 112	8.12	-0.114	-0.114	-0.114	-0.114	-0.10
1555	Osprey Sheld	N 53 113	8.12	-0.114	-0.114	-0.114	-0.114	-0.10
1556	Osprey Sheld	N 53 114	8.12	-0.114	-0.114	-0.114	-0.114	-0.10
1557	Osprey Sheld	N 53 115	8.12	-0.114	-0.114	-0.114	-0.114	-0.10
1558	Osprey Sheld	N 53 116	8.12	-0.114	-0.114	-0.114	-0.114	-0.10
1559	Osprey Sheld	N 53 117	8.12	-0.114	-0.114	-0.114	-0.114	-0.10
1560	Osprey Sheld	N 53 118	8.12	-0.114	-0.114	-0.114	-0.114	-0.10
1561	Osprey Sheld	N 53 119	8.12	-0.114	-0.114	-0.114	-0.114	-0.10
1562	Osprey Sheld	N 53 120	8.12	-0.114	-0.114	-0.114	-0.114	-0.10
1563	Osprey Sheld	N 53 121	8.12	-0.1				

**FOR FINDING THE HEIGHT OF THE TIDE AT  
TIMES BETWEEN HIGH AND LOW WATER**



**A.2.7 BANGLADESH, THE SUNDARBANS - PUSSUR RIVER ENTRANCE**  
LAT 21°42' LONG 89°42'

TIME ZONE -0000	TIME AND HEIGHTS OF HIGH AND LOW WATERS												YEAR
	JANUARY			MARCH			APRIL			JUNE			
TIME M	TIME M	TIME M	TIME M	TIME M	TIME M	TIME M	TIME M	TIME M	TIME M	TIME M	TIME M	TIME M	TIME M
JANUARY	MARCH	APRIL	JUNE	JANUARY	MARCH	APRIL	JUNE	JANUARY	MARCH	APRIL	JUNE	JANUARY	MARCH
0000	0012	0018	0024	0030	0036	0042	0048	0054	0056	0058	0059	0059	0059
0005	0016	0021	0026	0031	0037	0042	0047	0052	0055	0058	0059	0059	0059
0010	0020	0025	0030	0035	0040	0045	0050	0055	0058	0059	0059	0059	0059
0015	0024	0029	0034	0039	0044	0049	0054	0059	0062	0063	0063	0063	0063
0020	0028	0033	0038	0043	0048	0053	0058	0063	0066	0067	0067	0067	0067
0025	0032	0037	0042	0047	0052	0057	0062	0067	0069	0070	0070	0070	0070
0030	0036	0041	0046	0051	0056	0061	0066	0071	0073	0074	0074	0074	0074
0035	0040	0045	0050	0055	0060	0065	0070	0075	0077	0078	0078	0078	0078
0040	0044	0049	0054	0059	0064	0069	0074	0079	0081	0082	0082	0082	0082
0045	0048	0053	0058	0063	0068	0073	0078	0083	0085	0086	0086	0086	0086
0050	0052	0057	0062	0067	0072	0077	0082	0087	0089	0090	0090	0090	0090
0055	0056	0061	0066	0071	0076	0081	0086	0091	0093	0094	0094	0094	0094
0060	0060	0065	0070	0075	0080	0085	0090	0095	0097	0098	0098	0098	0098
0065	0064	0069	0074	0079	0084	0089	0094	0099	0101	0102	0102	0102	0102
0070	0068	0073	0078	0083	0088	0093	0098	0103	0105	0106	0106	0106	0106
0075	0072	0077	0082	0087	0092	0097	0102	0107	0109	0110	0110	0110	0110
0080	0076	0081	0086	0091	0096	0101	0106	0111	0113	0114	0114	0114	0114
0085	0080	0085	0090	0095	0100	0105	0110	0115	0117	0118	0118	0118	0118
0090	0084	0089	0094	0099	0104	0109	0114	0119	0121	0122	0122	0122	0122
0095	0088	0093	0098	0103	0108	0113	0118	0123	0125	0126	0126	0126	0126
0100	0092	0097	0102	0107	0112	0117	0122	0127	0129	0130	0130	0130	0130
0105	0096	0101	0106	0111	0116	0121	0126	0131	0133	0134	0134	0134	0134
0110	0100	0105	0110	0115	0120	0125	0130	0135	0137	0138	0138	0138	0138
0115	0104	0109	0114	0119	0124	0129	0134	0139	0141	0142	0142	0142	0142
0120	0108	0113	0118	0123	0128	0133	0138	0143	0145	0146	0146	0146	0146
0125	0112	0117	0122	0127	0132	0137	0142	0147	0149	0150	0150	0150	0150
0130	0116	0121	0126	0131	0136	0141	0146	0151	0153	0154	0154	0154	0154
0135	0120	0125	0130	0135	0140	0145	0150	0155	0157	0158	0158	0158	0158
0140	0124	0129	0134	0139	0144	0149	0154	0159	0161	0162	0162	0162	0162
0145	0128	0133	0138	0143	0148	0153	0158	0163	0165	0166	0166	0166	0166
0150	0132	0137	0142	0147	0152	0157	0162	0167	0169	0170	0170	0170	0170
0155	0136	0141	0146	0151	0156	0161	0166	0171	0173	0174	0174	0174	0174
0160	0140	0145	0150	0155	0160	0165	0170	0175	0177	0178	0178	0178	0178
0165	0144	0149	0154	0159	0164	0169	0174	0179	0181	0182	0182	0182	0182
0170	0148	0153	0158	0163	0168	0173	0178	0183	0185	0186	0186	0186	0186
0175	0152	0157	0162	0167	0172	0177	0182	0187	0189	0190	0190	0190	0190
0180	0156	0161	0166	0171	0176	0181	0186	0191	0193	0194	0194	0194	0194
0185	0160	0165	0170	0175	0180	0185	0190	0195	0197	0198	0198	0198	0198
0190	0164	0169	0174	0179	0184	0189	0194	0199	0201	0202	0202	0202	0202
0195	0168	0173	0178	0183	0188	0193	0198	0203	0205	0206	0206	0206	0206
0200	0172	0177	0182	0187	0192	0197	0202	0207	0209	0210	0210	0210	0210
0205	0176	0181	0186	0191	0196	0201	0206	0211	0213	0214	0214	0214	0214
0210	0180	0185	0190	0195	0200	0205	0210	0215	0217	0218	0218	0218	0218
0215	0184	0189	0194	0199	0204	0209	0214	0219	0221	0222	0222	0222	0222
0220	0188	0193	0198	0203	0208	0213	0218	0223	0225	0226	0226	0226	0226
0225	0192	0197	0202	0207	0212	0217	0222	0227	0229	0230	0230	0230	0230
0230	0196	0201	0206	0211	0216	0221	0226	0231	0233	0234	0234	0234	0234
0235	0200	0205	0210	0215	0220	0225	0230	0235	0237	0238	0238	0238	0238
0240	0204	0209	0214	0219	0224	0229	0234	0239	0241	0242	0242	0242	0242
0245	0208	0213	0218	0223	0228	0233	0238	0243	0245	0246	0246	0246	0246
0250	0212	0217	0222	0227	0232	0237	0242	0247	0249	0250	0250	0250	0250
0255	0216	0221	0226	0231	0236	0241	0246	0251	0253	0254	0254	0254	0254
0260	0220	0225	0230	0235	0240	0245	0250	0255	0257	0258	0258	0258	0258
0265	0224	0229	0234	0239	0244	0249	0254	0259	0261	0262	0262	0262	0262
0270	0228	0233	0238	0243	0248	0253	0258	0263	0265	0266	0266	0266	0266
0275	0232	0237	0242	0247	0252	0257	0262	0267	0269	0270	0270	0270	0270
0280	0236	0241	0246	0251	0256	0261	0266	0271	0273	0274	0274	0274	0274
0285	0240	0245	0250	0255	0260	0265	0270	0275	0277	0278	0278	0278	0278
0290	0244	0249	0254	0259	0264	0269	0274	0279	0281	0282	0282	0282	0282
0295	0248	0253	0258	0263	0268	0273	0278	0283	0285	0286	0286	0286	0286
0300	0252	0257	0262	0267	0272	0277	0282	0287	0289	0290	0290	0290	0290
0305	0256	0261	0266	0271	0276	0281	0286	0291	0293	0294	0294	0294	0294
0310	0260	0265	0270	0275	0280	0285	0290	0295	0297	0298	0298	0298	0298
0315	0264	0269	0274	0279	0284	0289	0294	0299	0301	0302	0302	0302	0302
0320	0268	0273	0278	0283	0288	0293	0298	0303	0305	0306	0306	0306	0306
0325	0272	0277	0282	0287	0292	0297	0302	0307	0309	0310	0310	0310	0310
0330	0276	0281	0286	0291	0296	0301	0306	0311	0313	0314	0314	0314	0314
0335	0280	0285	0290	0295	0300	0305	0310	0315	0317	0318	0318	0318	0318
0340	0284	0289	0294	0299	0304	0309	0314	0319	0321	0322	0322	0322	0322
0345	0288	0293	0298	0303	0308	0313	0318	0323	0325	0326	0326	0326	0326
0350	0292	0297	0302	0307	0312	0317	0322	0327	0329	0330	0330	0330	0330
0355	0296	0301	0306	0311	0316	0321	0326	0331	0333	0334	0334	0334	0334
0360	0300	0305	0310	0315	0320	0325	0330	0335	0337	0338	0338	0338	0338
0365	0304	0309	0314	0319	0324	0329	0334	0339	0341	0342	0342	0342	0342
0370	0308	0313	0318	0323	0328	0333	0338	0343	0345	0346	0346	0346	0346
0375	0312	0317	0322	0327	0332	0337	0342	0347	0349	0350	0350	0350	0350
0380	0316	0321	0326	0331	0336	0341	0346	0351	0353	0354	0354	0354	0354
0385	0320	0325	0330	0335	0340	0345	0350	0355	0357	0358	0358	0358	0358
0390	0324	0											

A.2.8

INDIA'S

INDIA, EAST COAST: NANGA ARDZAN: WOOGCHU & WU (WU)

PREDICTION OF PREDATOR ABUNDANCE 111

A.2.10 BURMA : BASSÉIN RIVER ENTRANCE (THAMHLA KYUNN)

A.2.11

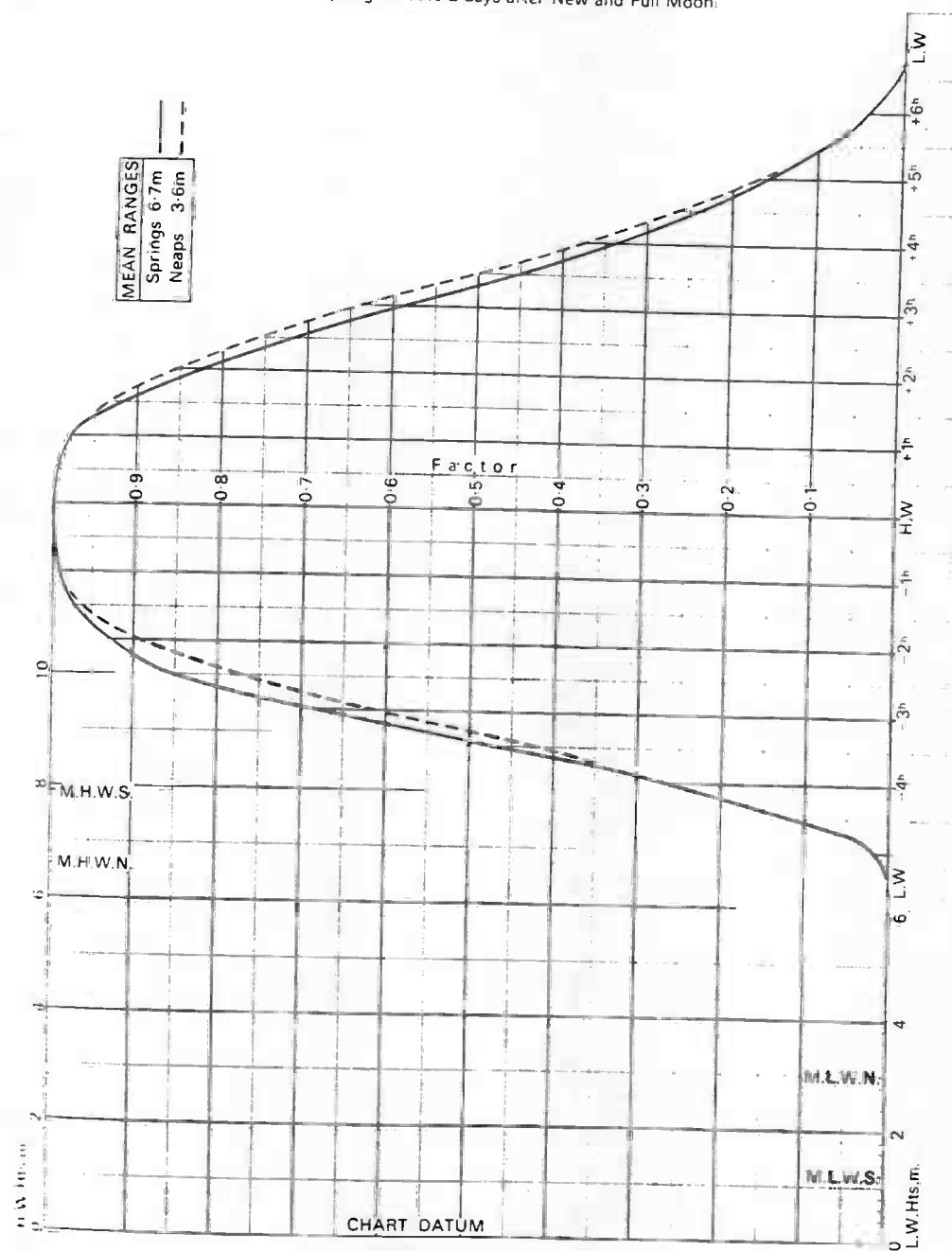
SINGAPORE STRAIT - BUFFALO ROCK

TIME ZONE -0730	TOTAL STREAM PREDICTIONS (ROUTS IN PROGRESS)												YEAR					
	SLATE MAXIMUM			APRIL SLATE MAXIMUM			TIME TIME OUT			TIME TIME OUT			TIME MAXIMUM			JUNE		
TIME	MAXIMUM	ROUT	TIME	MAXIMUM	ROUT	TIME	MAXIMUM	ROUT	TIME	MAXIMUM	ROUT	TIME	MAXIMUM	ROUT	TIME	MAXIMUM	ROUT	
1 0226 0556	-0.1	16	0533 0629	-0.1	1	0000 04-16	0530 0629	-0.1	0038 04-16	0530 0629	-0.1	0155 04-16	0530 0629	-0.1	0211 04-16	0530 0629	-0.1	
1A 0033 1226	-1.0	16	0533 0629	-0.1	1	0000 04-16	0530 0629	-0.1	0038 04-16	0530 0629	-0.1	0155 04-16	0530 0629	-0.1	0211 04-16	0530 0629	-0.1	
2 0458 1119	-0.1	17	0532 0628	-0.1	2	0032 04-17	0531 0628	-0.1	0031 04-17	0531 0628	-0.1	0154 04-17	0531 0628	-0.1	0210 04-17	0531 0628	-0.1	
2A 0847 1120	-0.1	17	0532 0628	-0.1	2	0032 04-17	0531 0628	-0.1	0031 04-17	0531 0628	-0.1	0154 04-17	0531 0628	-0.1	0209 04-17	0531 0628	-0.1	
3 0559 -0.1	18	0539 -0.1	5	0539 -0.1	18	0039 -0.1	0539 -0.1	5	0039 -0.1	0539 -0.1	5	0226 0539	0039 -0.1	22	0226 0539	0039 -0.1	22	
3A 0033 1126	-1.0	18	0539 -0.1	5	0539 -0.1	18	0039 -0.1	0539 -0.1	5	0039 -0.1	0539 -0.1	5	0500 0539	0039 -0.1	5000 0539	0039 -0.1	5000 0539	0039 -0.1
4 0322 0559	-0.1	19	0537 -0.1	5	0537 -0.1	19	0037 -0.1	0537 -0.1	5	0037 -0.1	0537 -0.1	5	2236 0537	0037 -0.1	2236 0537	0037 -0.1	2236 0537	0037 -0.1
4A 0847 1120	-0.1	19	0537 -0.1	5	0537 -0.1	19	0037 -0.1	0537 -0.1	5	0037 -0.1	0537 -0.1	5	0355 0537	0037 -0.1	3555 0537	0037 -0.1	3555 0537	0037 -0.1
5 0110 0559	-0.1	20	0539 -0.1	5	0539 -0.1	20	0039 -0.1	0539 -0.1	5	0039 -0.1	0539 -0.1	5	2239 0539	0039 -0.1	2239 0539	0039 -0.1	2239 0539	0039 -0.1
5A 0033 1126	-1.0	20	0539 -0.1	5	0539 -0.1	20	0039 -0.1	0539 -0.1	5	0039 -0.1	0539 -0.1	5	0500 0539	0039 -0.1	5000 0539	0039 -0.1	5000 0539	0039 -0.1
6 0201 0559	-0.1	21	0536 0628	-0.1	6	0236 04-21	0536 0628	-0.1	0236 04-21	0536 0628	-0.1	2236 0536	0236 04-21	2236 0536	0236 04-21	2236 0536	0236 04-21	
6A 0847 1120	-0.1	21	0536 0628	-0.1	6	0236 04-21	0536 0628	-0.1	0236 04-21	0536 0628	-0.1	2236 0536	0236 04-21	2236 0536	0236 04-21	2236 0536	0236 04-21	
7 0056 0559	-0.1	22	0535 0628	-0.1	7	0235 04-22	0535 0628	-0.1	0235 04-22	0535 0628	-0.1	2235 0535	0235 04-22	2235 0535	0235 04-22	2235 0535	0235 04-22	
7A 0033 1126	-1.0	22	0535 0628	-0.1	7	0235 04-22	0535 0628	-0.1	0235 04-22	0535 0628	-0.1	2235 0535	0235 04-22	2235 0535	0235 04-22	2235 0535	0235 04-22	
8 0815 0558	-0.1	23	0534 0628	-0.1	8	0234 04-23	0534 0628	-0.1	0234 04-23	0534 0628	-0.1	2234 0534	0234 04-23	2234 0534	0234 04-23	2234 0534	0234 04-23	
8A 0847 1120	-0.1	23	0534 0628	-0.1	8	0234 04-23	0534 0628	-0.1	0234 04-23	0534 0628	-0.1	2234 0534	0234 04-23	2234 0534	0234 04-23	2234 0534	0234 04-23	
9 0227 0558	-0.1	24	0537 0628	-0.1	9	0237 04-24	0537 0628	-0.1	0237 04-24	0537 0628	-0.1	2237 0537	0237 04-24	2237 0537	0237 04-24	2237 0537	0237 04-24	
9A 0033 1126	-1.0	24	0537 0628	-0.1	9	0237 04-24	0537 0628	-0.1	0237 04-24	0537 0628	-0.1	2237 0537	0237 04-24	2237 0537	0237 04-24	2237 0537	0237 04-24	
10 0031 0557	-0.1	25	0534 0628	-0.1	10	0234 04-25	0534 0628	-0.1	0234 04-25	0534 0628	-0.1	2234 0534	0234 04-25	2234 0534	0234 04-25	2234 0534	0234 04-25	
10A 0847 1120	-0.1	25	0534 0628	-0.1	10	0234 04-25	0534 0628	-0.1	0234 04-25	0534 0628	-0.1	2234 0534	0234 04-25	2234 0534	0234 04-25	2234 0534	0234 04-25	
11 0057 0557	-0.1	26	0531 0628	-0.1	11	0038 04-26	0531 0628	-0.1	0038 04-26	0531 0628	-0.1	2238 0531	0038 04-26	2238 0531	0038 04-26	2238 0531	0038 04-26	
11A 0033 1126	-1.0	26	0531 0628	-0.1	11	0038 04-26	0531 0628	-0.1	0038 04-26	0531 0628	-0.1	2238 0531	0038 04-26	2238 0531	0038 04-26	2238 0531	0038 04-26	
12 0351 0557	-0.1	27	0531 0628	-0.1	12	0231 04-27	0531 0628	-0.1	0231 04-27	0531 0628	-0.1	2231 0531	0231 04-27	2231 0531	0231 04-27	2231 0531	0231 04-27	
12A 0847 1120	-0.1	27	0531 0628	-0.1	12	0231 04-27	0531 0628	-0.1	0231 04-27	0531 0628	-0.1	2231 0531	0231 04-27	2231 0531	0231 04-27	2231 0531	0231 04-27	
13 0248 0557	-0.1	28	0534 0628	-0.1	13	0232 04-28	0534 0628	-0.1	0232 04-28	0534 0628	-0.1	2232 0534	0232 04-28	2232 0534	0232 04-28	2232 0534	0232 04-28	
13A 0033 1126	-1.0	28	0534 0628	-0.1	13	0232 04-28	0534 0628	-0.1	0232 04-28	0534 0628	-0.1	2232 0534	0232 04-28	2232 0534	0232 04-28	2232 0534	0232 04-28	
14 0116 0557	-0.1	29	0532 0628	-0.1	14	0232 04-29	0532 0628	-0.1	0232 04-29	0532 0628	-0.1	2232 0532	0232 04-29	2232 0532	0232 04-29	2232 0532	0232 04-29	
14A 0847 1120	-0.1	29	0532 0628	-0.1	14	0232 04-29	0532 0628	-0.1	0232 04-29	0532 0628	-0.1	2232 0532	0232 04-29	2232 0532	0232 04-29	2232 0532	0232 04-29	
15 0421 0557	-0.1	30	0537 0628	-0.1	15	0237 04-30	0537 0628	-0.1	0237 04-30	0537 0628	-0.1	2237 0537	0237 04-30	2237 0537	0237 04-30	2237 0537	0237 04-30	
15A 0033 1126	-1.0	30	0537 0628	-0.1	15	0237 04-30	0537 0628	-0.1	0237 04-30	0537 0628	-0.1	2237 0537	0237 04-30	2237 0537	0237 04-30	2237 0537	0237 04-30	
31 0755 0449	-0.3	3	0536 0628	-0.3	3	0236 04-31	0536 0628	-0.3	0236 04-31	0536 0628	-0.3	2236 0536	0236 04-31	2236 0536	0236 04-31	2236 0536	0236 04-31	
31A 0847 1120	-0.3	3	0536 0628	-0.3	3	0236 04-31	0536 0628	-0.3	0236 04-31	0536 0628	-0.3	2236 0536	0236 04-31	2236 0536	0236 04-31	2236 0536	0236 04-31	

*Proceedings of our meetings at Hove during 1870. Printed, etc., etc., at the same time with those of the Executive Committee.* Hove: Newhaven, 1870. 1 vol. 8vo.

A.2.15

LE HAVRE  
MEAN SPRING AND NEAP CURVES  
Springs occurs 2 days after New and Full Moon.



21

ERANGE NORD

1162 - 1163

A.2.17

### 3 HORIZONTALE EN VERTIKALE GETIJBEWEGING

#### 3.1 Inleiding

Voor de navigatie op ondiep water met geringe "Under Keel Clearance" (UKC) is het uiteraard van het grootste belang om op de hoogte zijn van de vertikale waterbeweging ten gevolge van het getij. Daarnaast is kennis van de horizontale waterbeweging door het getij - de getijstroom - noodzakelijk voor de bepaling van de grondvaart ( $v_{gr}$ ) en de opstuurhoek voor stroom (st), zie dictaat Mt012

In dit hoofdstuk zal aangegeven worden, hoe de voor de navigatie benodigde gegevens kunnen worden verkregen. De daarvoor benodigde boekwerken en kaarten zijn:

- de Admiralty Tide Tables (ATT)
- de Getijtafels voor Nederland
- de Getijtafels voor de Zeehaven van Nederland en voor Antwerpen en Zeebrugge
- de Nederlandse stroomatllassen
- de BA-stroomatllassen
- zeekaarten en zeemansgidsen
- "Cotidal"- en "Corange"-kaarten.

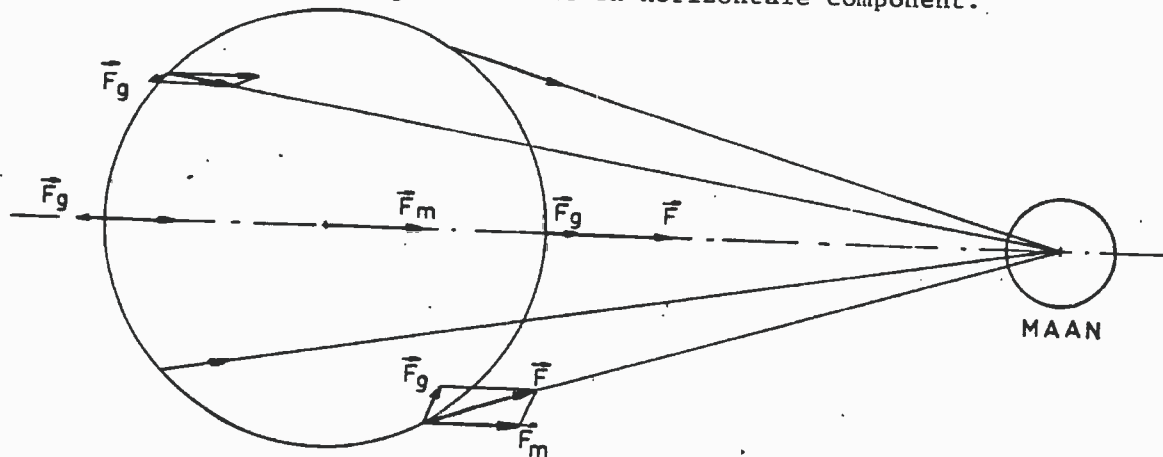
Er wordt een korte beschrijving gegeven van de getijoorzaken. Mathematische afleidingen van getijkrachten worden niet gegeven, noch wordt ingegaan op de hydrodynamica van de getijgolven; zie hiervoor bijvoorbeeld het college B75 [1].

#### 3.2 Oorzaak van de getijbeweging

De getijbeweging op aarde wordt veroorzaakt door de aantrekkingskrachten van zon en maan. De invloed van andere hemellichamen is te verwaarlozen. In figuur 3.1 is de aantrekkingskracht  $\vec{F}$  getekend, die door de maan wordt uitgeoefend op eenheidsmassadeeltjes op aarde. De kracht in het middelpunt is gelijk aan  $\vec{F}_m$ . In elk punt op het aardoppervlak wordt  $\vec{F}$  ontbonden volgens

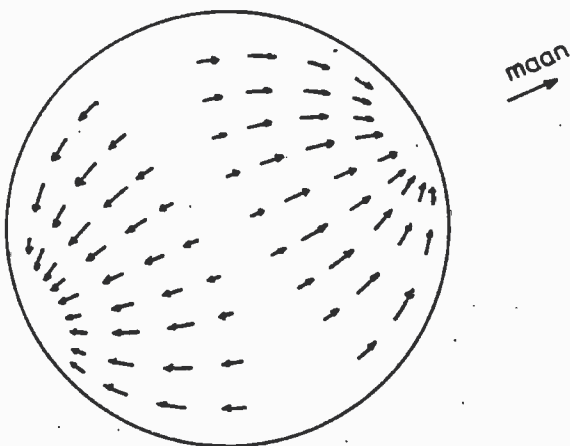
$$\vec{F} = \vec{F}_m + \vec{F}_g$$

Het krachtenveld  $\vec{F}_g$  is homogeen en dient om de planetaire beweging van de maan om de aarde in stand te houden (wetten van Kepler). De plaatselijke residuukracht  $\vec{F}_m$  wordt de getijverwekkende kracht genoemd. Deze wordt weer ontbonden in een plaatselijk vertikale en horizontale component.



Figuur 3.1 Ontstaan getijkracht.

De vertikale component geeft een bijdrage aan de plaatselijke zwaartekrachtversnelling, maar zal geen verplaatsing van de waterdeeltjes tot gevolg hebben. De horizontale component is de sleepkracht  $\vec{F}$  en wordt ook wel de getijkracht genoemd. In figuur 3.2 is de verdeling van deze getijkracht over het aardoppervlak weergegeven. In figuur 3.3 is de theoretische verdeling van het water over het aardoppervlak gegeven, indien de aarde geheel met water zou zijn bedekt. Voor breedtes groter dan ( $90^\circ$  - declinatie) zien we een enkeldaags (ED) getij en voor breedtes kleiner dan ( $90^\circ$  - declinatie) zien we een dubbeldaags (DD) getij. Alleen op de equator zijn de hoogtes van beide HW gelijk en is de valtijd gelijk aan de rijstijd.



Figuur 3.2. De getijkracht.

Voor de aantrekkingskracht door de zon geldt een zelfde beschouwing. De getijkracht die door de zon wordt veroorzaakt, is ongeveer de helft van de maansgetijkracht.

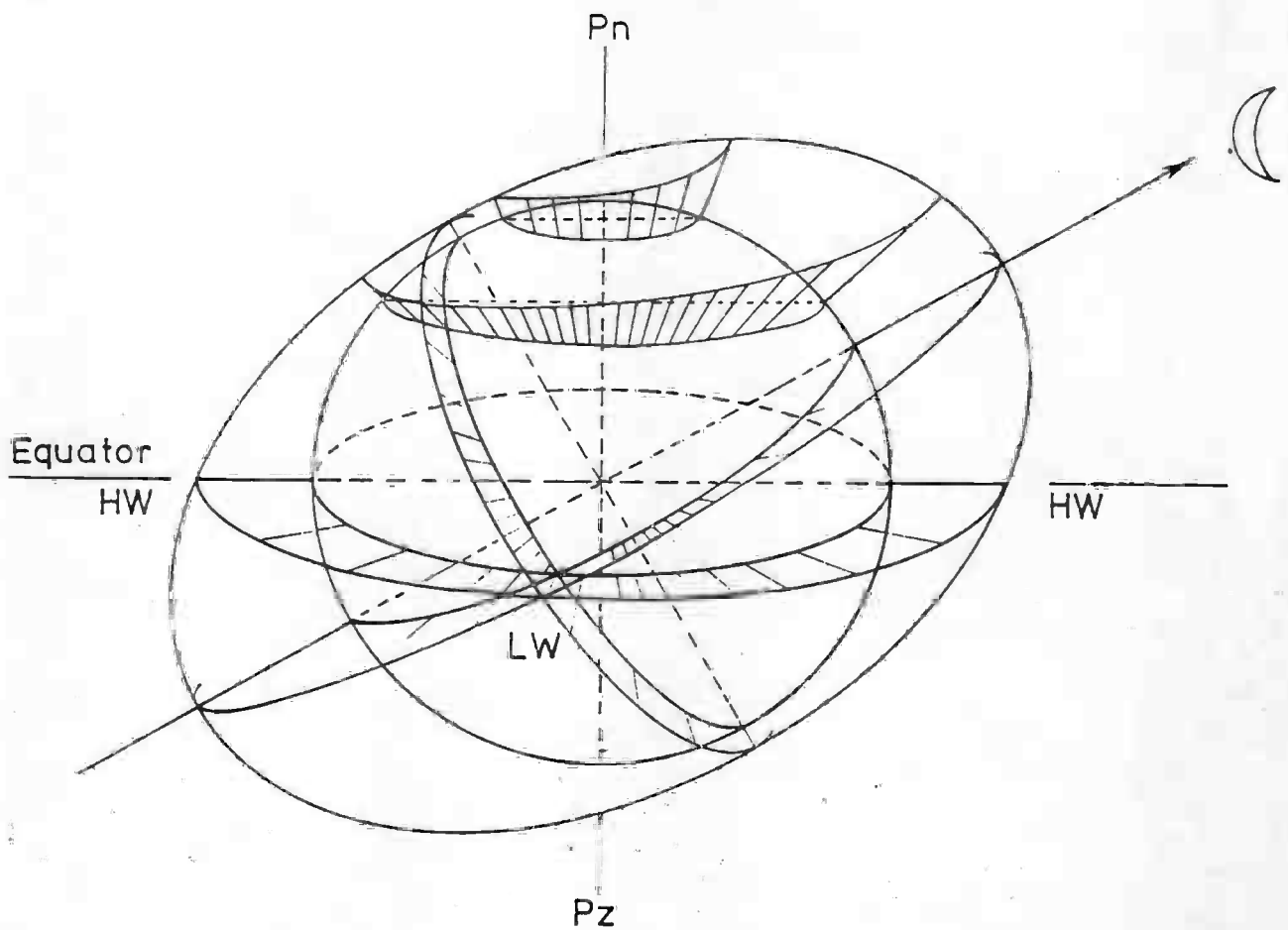
De getijhoogte, zoals voorgesteld in figuur 3.3, wordt de getijhoogte volgens de evenwichtstheorie (ET) genoemd; Newton was de grondlegger van deze theorie.

Voor de voorspelling van een plaatselijke getijhoogte op een gegeven tijdstip is de ET ontoereikend. De getijgolven van zon en maan worden in hun baan onderbroken door de continenten; daarnaast spelen de Corioliskracht en de bodemwrijving een rol. Bovendien zal de eigenfrequentie van een zee of bekken bepalen voor welke periodieke beweging de betreffende zee het meest "gevoelig" is (resonantie).

Het belang van de ET is, dat de plaatselijke getijbeweging is te ontbinden in een aantal componenten waarvan de periodes overeenkomen met de periodes van de exiterende krachten volgens de ET. Deze exiterende krachten hebben een astronomische oorsprong, waardoor de periodes van deze krachten te berekenen zijn; bovendien is hun fase op een bepaald tijdstip bekend en is de verhouding van de amplituden volgens de ET bekend. In het navolgende wordt hiervan gebruik gemaakt.

### 3.3 Partiële getijden

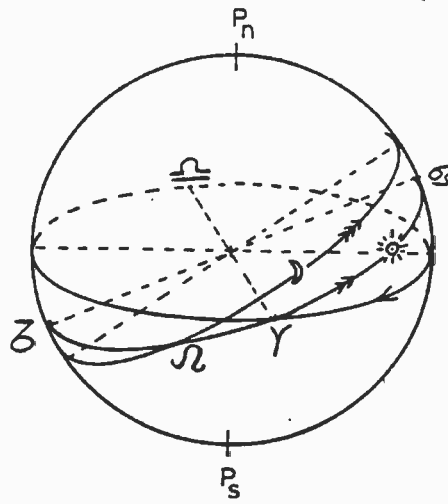
Door de draaiing van de aarde, de beweging van de aarde om de zon, de beweging van de maan om de aarde en de schommelingen (precessies) van zonsbaan en maansbaan, is de getijkracht plaatselijk variabel. De getijkracht wordt nu ontbonden in een aantal periodiek veranderende krachten waarvan de



Figuur 3.3 Het evenwichtsgetij.

periodes afgeleid kunnen worden uit een aantal grondperiodes:

1. Het tropisch jaar is de gemiddelde tijd die verloopt tussen twee opeenvolgende passages van de zon in zijn schijnbare jaarbaan door het punt Ram γ (het lente punt). Het punt γ is gedefinieerd als het punt waar de zonsbaan (ecliptica) de equator snijdt, namelijk het punt waar de zon noorderdeclinatie krijgt, zie figuur 3.4.  
De hoek tussen equator en ecliptica is ongeveer  $23.5^\circ$ . Het tropisch jaar duurt gemiddeld 365.2422 dag,  $\omega = 0,041^\circ/\text{h}$ .
2. Het punt waar de zon het dichtst bij de aarde staat (omstreeks 1 januari) in zijn ellipsbaan heet het perigeum. Dit perigeum verplaatst zich in de baan met een periode van ongeveer 20940 jaar en is verder verwaarloosbaar.
3. De tropische maand is de gemiddelde tijd die verloopt tussen twee opeenvolgende doorgangen van de maan langs het punt γ, de tijdsduur is 27.3216 dagen,  $\omega_m = 0.549^\circ/\text{h}$ .
4. Het perigeum van de maansbaan draait rond in circa 9 jaar,  $\omega_m = 0.0046^\circ/\text{h}$ .
5. De klimmende knoop Ω van de maansbaan is het punt waar de maan de ecliptica passeert naar de noordzijde. De verbindinglijn Ω - v (de knopenlijn) draait rond in een periode van circa 18.6 jaar.
6. Bovendien draait de aarde zelf om haar as en wel in 0.997 dag,  $\omega_a = 15.041^\circ/\text{h}$ .



Figuur 3.4 De hemelbol met equator, zonsbaan en maansbaan.

De dag zoals hier voor gebruikt, is de zogenaamde middelbare zonnedag, de gemiddelde tijd tussen twee opeenvolgende doorgangen van de zon door de meridiaan van Greenwich. Deze middelbare zonnedag is nagenoeg gelijk aan  $24 \times 60 \times 60$  seconden, waarbij de seconde is gedefinieerd in het SI-stelsel.

De plaatselijk waargenomen getijbeweging kan worden ontbonden in ED- en DD-componenten, waarvan de hoeksnelheden lineaire combinaties zijn van de hoeksnelheden die volgen uit de punten 1, 2, 3 en 5 zoals hierboven genoemd. (In verband met de kleine hoeksnelheid wordt de invloed van punt 4 niet als periodieke functie in de jaartabellen verwerkt, maar de invloed wordt als correctie verwerkt op de andere componenten, de correctie voor de knopenlijn, zie paragraaf 3.4).

Zo kunnen o.a. de volgende partiële getijden worden onderkend:

- dubbeldags middelbaar zonsgetij  $S_2$ , met hoeksnelheid  $2\omega_a - 2\omega_m = 30^\circ/h$
- dubbeldags middelbaar maansgetij  $M_2$ , met hoeksnelheid  $2\omega_a^m - 2\omega_m^z = 28.984^\circ/h$
- dubbeldags groot maanselliptisch getij  $N_2$ , met hoeksnelheid  $2\omega_a - 3\omega_m + \omega_p = 28.440^\circ/h$
- dubbeldags maans-zons declinatiegetij  $K_2$  met hoeksnelheid  $2\omega_a^m = 30.082^\circ/h$
- enkeldaags maans-zons declinatiegetij  $K_1$  met hoeksnelheid  $\omega_a^m = 15.041^\circ/h$
- enkeldaags maansdeclinatiegetij  $O_1$  met hoeksnelheid  $\omega_a - 2\omega_m = 13.943^\circ/h$
- enkeldaags zonsdeclinatiegetij  $P_1$  met hoeksnelheid  $\omega_a^m - 2\omega_z = 14.959^\circ/h$

In [1] worden zo de hoeksnelheden van 37 partiële getijden bepaald, die een astronomische oorzaak hebben.

Door niet-lineaire verschijnselen, zoals bodemweerstand, ontstaan naast de hier voor genoemde partiële getijden, de zogenaamde ondiepwatergetijden. Een aantal hiervan is:

- het 4-daags middelbaar maansgetij  $M_4$  met hoeksnelheid  $4\omega_a - 4\omega_m = 57.968^\circ/h$
- het 6-daags middelbaar maansgetij  $M_6$  met hoeksnelheid  $6\omega_a - 6\omega_m =$

$86.952^{\circ}/h$

- het dubbeltaags getij  $2MS_2$  met hoeksnelheid  $2\omega_a - 2\omega_m + 2\omega_z = 29.066^{\circ}/h$
- $MS_4$ ,  $MN_4$ ,  $2MS_6$ ,  $MK_3$ ,  $MO_3$ , enz.

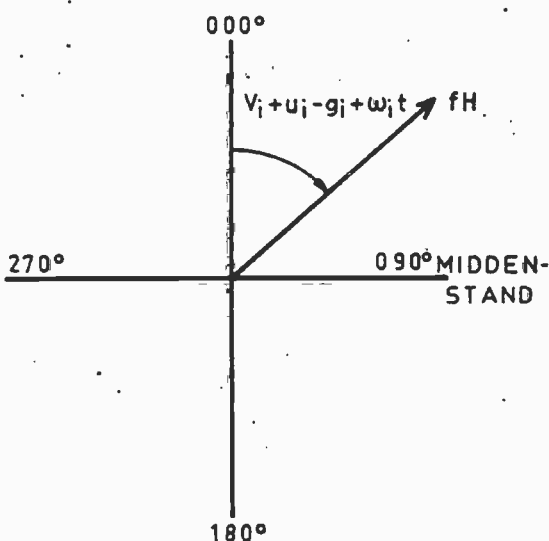
In [1] worden 33 partiële ondiepwatergetijden genoemd.

In de getijtafels voor Nederland worden gegevens verstrekt voor totaal 26 partiële getijden, zie blz. A1. In de ATT worden diverse partiële getijden gecombineerd en is het totaal aantal partiële getijden waarmee gewerkt wordt gelijk aan 6, zie blz. A2 en A3.

Voor de voorspelling van de tijdstippen van HW en LW en de daarbij behorende waterstanden voor de Standard Ports in de ATT (dagbladzijden, zie blz. A4) wordt rekening gehouden met méér partiële getijden. Hierdoor kan het voorkomen, dat de berekende getijcurve voor een bepaalde dag en plaats met behulp van de zes partiële getijden een iets andere waterstand en/of tijdstip HW/LW geeft dan de gegevens op de dagbladzijde. De gegevens op de dagbladzijde zijn dan nauwkeuriger.

### 3.4 Getijconstanten

Wij kunnen de getijbeweging van elk partieel getij voorstellen door een draaiende vector, de getijwijzer, waarvan de lengte gelijk is aan de amplitude  $H$  van het partiële getij. In de hoogste stand geeft de getijwijzer plaatselijk HW. De getijwijzer laten we rechtsom draaien, zie figuur 3.5. De fase van het partiële getij volgens de ET voor de meridiaan van Greenwich te 0000 GMT (Greenwich meantime) wordt het astronomisch argument  $V_i$  genoemd.



Figuur 3.5 De getijwijzer.

De correctie op de fase in verband met de stand van de knopenlijn is voor het betreffende jaar berekend als  $u_i$ . Voor zonsgetijden is  $u_i = 0$ . In de ATT zijn tabellen gegeven voor  $V_i + u_i$  op 0000 GMT op opeenvolgende dagen van het betreffende jaar, zie blz. A5. Voorts is in deze tabel de correctie  $f_i$  gegeven voor de amplitude  $H_i$  in verband met de knopenlijn. Het verloop van de waterstand in GMT ten gevolge van een partieel getij volgens de ET zou zijn op de meridiaan van Greenwich:

$$y_i(t) = f_i H_i \cos(V_i + u_i + \omega_i t)$$

Voor een plaats op  $L^{\circ}$  El (L rondgeteld van  $000^{\circ}$  -  $360^{\circ}$ ) wordt de waterstand in GMT volgens de ET gegeven door

$$y_i(t) = f_i H_i \cos(V_i + u_i + \omega_i t + pL)$$

waar  $p = 1, 2, 3, \dots$  voor respectievelijk ED, DD, 3D ... getijden.

Ligt de plaats in een tijdzone waarvoor geldt  $ST + S = \text{GMT}$ , dan is de plaatselijke waterstand in ST volgens de ET van een partieel getij

$$y_i(t) = f_i H_i \cos(V_i + u_i + \omega_i t + pL + S\omega_i)$$

Het werkelijke partieel getij heeft echter een faseachterstand ten opzichte van de fase volgens de ET. Deze faseachterstand is plaatsafhankelijk en wordt het kappagetal  $\kappa_i$  genoemd. Kappagetal en amplitude worden de plaatselijke getijconstanten genoemd en worden bepaald uit getijwaarnemingen van tenminste vijf opeenvolgende jaren.

$$y_i(t) = f_i H_i \cos(V_i + u_i + \omega_i t + pL + S\omega_i - \kappa_i)$$

Het kappagetal wordt gewoonlijk gecombineerd met de andere plaatselijke invloeden  $S\omega_i$  en  $pL$ ; het aldus gevormde g-getal heet het geografisch argument of gewijzigd kappagetal.

$$g_i = \kappa_i - pL - S\omega_i \quad (1)$$

De hoogte van het middenstandsvlak ten opzichte van het reductievlak wordt gegeven in de getijtafels, zie blz. A2 en A3, als ML of  $Z$ . In verband met seizoeninvloeden moeten correcties worden toegepast zoals aangegeven als "seasonal corrections in mean level".

Al met al krijgen we voor de waterstand ten opzichte van CD (chartdatum = reductievlak)

$$W(t) = Z_0 + \sum_i f_i H_i \cos((V_i + u_i) - g_i + \omega_i t) \quad (2)$$

Het getij kan overwegend DD, overwegend ED of gemengd zijn, zie figuur 3.6. Het is om de 14 dagen springtij, ná Volle maan en Nieuwe maan. Na de kwartierstanden is het doodtij (neap tide).

### 3.5 De ATT-methode

De ATT bestaat uit drie delen:

Volume I European waters including Mediterranean

Volume II Atlantic and Indian Oceans (including tidal stream predictions)

Volume III Pacific Ocean and adjacent seas (including tidal stream predictions)

In part I van elk deel vinden we de dagbladzijden voor tijdstippen HW en LW en de bijbehorende waterstanden t.o.v. CD voor Standard Ports. Ook is de getijcurve voor spring- en doodtij gegeven.

- In part II staan de hoogteverschillen en tijdverschillen voor HW/LW voor een Secondary Port ten opzichte van een Standard Port.

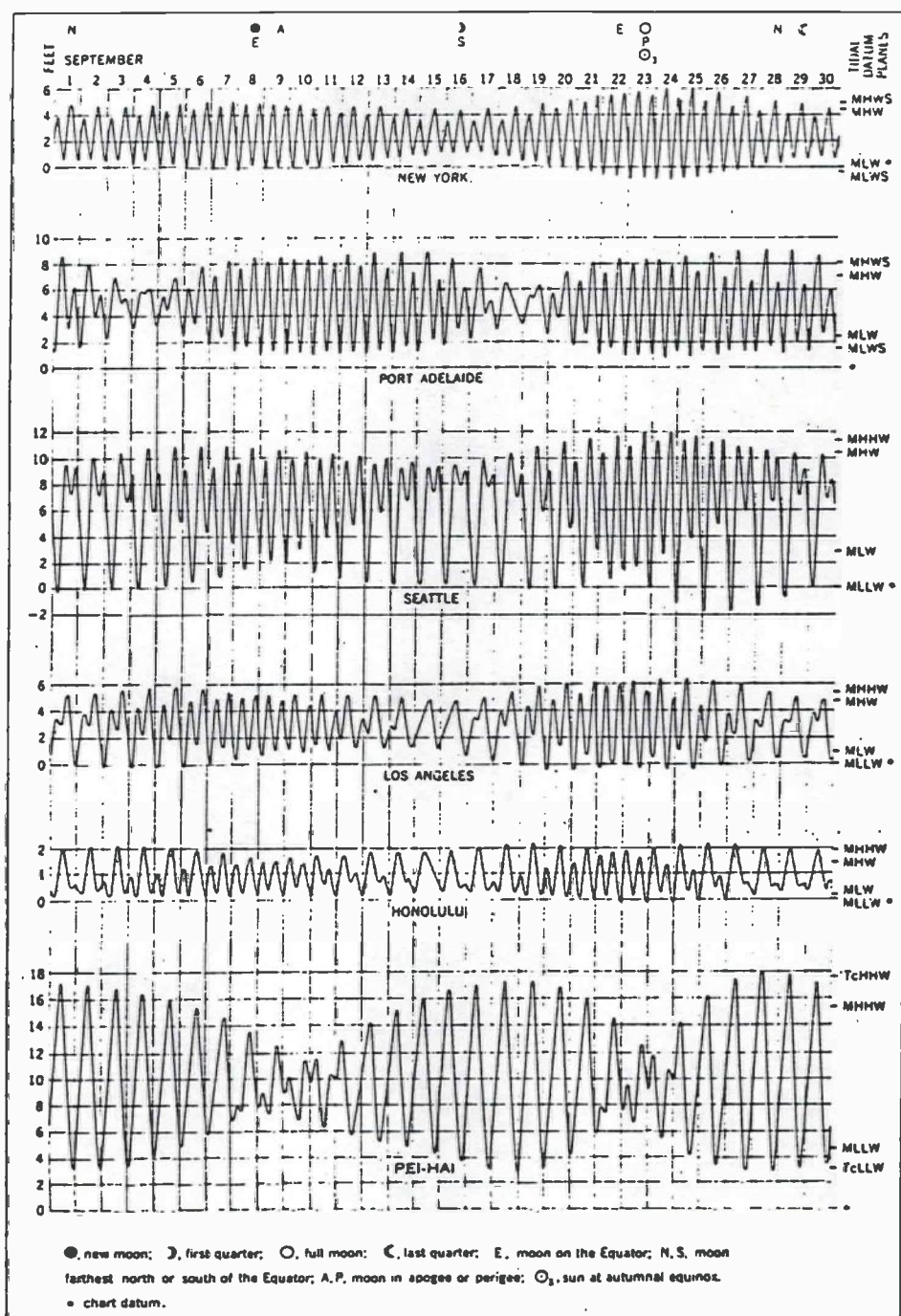
In part III staan de g-getallen en amplitudes van partiële getijden voor de berekening van de waterstand.

In de ATT zijn partiële getijden die nagenoeg dezelfde hoeksnelheid hebben vectorieel gesommeerd. Er blijven dan over:

DD: M-getij met  $\omega_M = 29^{\circ}$

S-getij met  $\omega_S = 30^{\circ}$

### TIDES AND TIDAL CURRENTS



Figuur 3.6 Getijcurven.

$$\begin{aligned}
 \text{ED:} \quad & K\text{-getij met } \omega_K = 15^\circ \\
 & O\text{-getij met } \omega_O = 14^\circ \\
 \text{ondiepwater:} \quad & 4D\text{-getij met } \omega_4 = 58^\circ \\
 & 6D\text{-getij met } \omega_6 = 87^\circ
 \end{aligned}$$

Voor de ED- en DD-getijden staan de g- en H-waarden gegeven in part II van de ATT, zie blz. A2 en A3. De hoek ( $360^\circ$ -fase) behorende bij het combinatie-getij wordt gegeven in een tabel van de ATT als de angle A, zie blz. A6 en A7.

Bovendien wordt daar een factor  $F$  gegeven waarmee de  $H$  uit part II moet worden vermenigvuldigd om de amplitude van het combinatiegetij te krijgen.

Voor de getijden  $M$ ,  $S$ ,  $K$  en  $O$  krijgen we elk een bijdrage in de waterstand

$$y_i(t) = F_i H_i \cos(A_i + g_i - \omega_i t) \quad i = 1 \text{ tot } 4 \quad (3)$$

zodat

$$\begin{aligned} W(t) = Z_0 &+ M \cos(m - \omega_M t) + S \cos(s - \omega_S t) + K \cos(k - \omega_K t) \\ &+ O \cos(o - \omega_O t) \end{aligned} \quad (4)$$

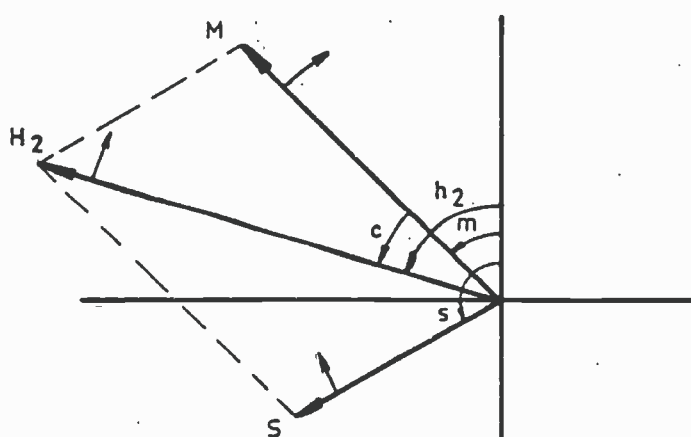
waarin  $M = F_M H_M$ ,  $m = A_m + g_m$ , enz.

Voor de ondiepwatergetijden staan in de ATT de volgende gegevens vermeld:  
 $f_4$ ,  $F_4$ ,  $f_6$  en  $F_6$ .

De amplitude  $H$  en ( $360^\circ$ -fase) =  $h$  te 0000 ST van de 4D- en 6D-getijden worden dan als volgt berekend.

$$\left. \begin{array}{l} H_4 = F_4 (H_2)^2 \\ h_4 = 2h_2 + f_4 \\ H_6 = F_6 (H_2)^3 \\ h_6 = 3h_2 + f_6 \end{array} \right\} \quad (5)$$

Hierin is  $H_2$  de amplitude van het samengestelde DD-getij en  $h_2 = (360\text{-fase})$  voor 0000 ST, zie figuur 3.7.



Figuur 3.7 DD-getijwijzers te 0000 ST.

Omdat de S vector  $1^{\circ}$  sneller per uur draait dan de M vector, wijzigt de vorm van het parallelogram, opgespannen door S en M, in de loop van de dag. Daarom worden  $H_2$  en  $h_2$  voor de waterstandberekening van t uur ST bepaald met:

$$\begin{aligned} H_2 \cos h_2 &= M \cos m + S \cos (s + t \times 1^{\circ}) \\ H_2 \sin h_2 &= M \sin m + S \sin (s + t \times 1^{\circ}) \end{aligned} \quad (6)$$

Deling geeft  $\tan h_2$ , waarna ook  $H_2$  bekend is.

Deze  $H_2$  en  $h_2$  worden ingevuld in (5), waarna de bijdrage van de ondiepwatergetijden in de waterstand is:

$$H_4 \cos (h_4 - 58t) + H_6 \cos (h_6 - 87t) \quad (7)$$

Als voorbeeld wordt het getijverloop van IJmuiden (1501) op 9 november 1980 berekend. Gemakshalve is formule (6) slechts éénmaal berekend, namelijk voor het midden van de dag ( $t = 12$ ). De hieruit volgende  $H_4$ ,  $h_4$ ,  $H_6$  en  $h_6$  worden dan voor de gehele 24 uur periode gebruikt. De fout die hierdoor ontstaat is bij kleine amplitudes van  $H_4$  en  $H_6$  verwaarloosbaar.

De gegevens van blz. A2, A3 en A7 worden in een schema gerangschikt. Vervolgens worden de benodigde grootheden uitgerekend.

IJmuiden			M <sub>2</sub>		S <sub>2</sub>		K <sub>1</sub>		O <sub>1</sub>		+D	6D	MIL
(52° 28' N, 004° 34' O)	g angle	II factor	135	0.69	304	0.17	001	0.08	194	0.12	f 2x3	253	Z <sub>0</sub> = 1.10 seas. corr. = +0.1 Z = 1.20
19801109			025	0.90	345	1.09	022	0.88	333	0.77	F 0.423	0.170	
			m = 160	II = 0.62	s = 189	S = 0.19	k = 023	K = 0.07	o = 167	O = 0.09			
			$II_2 = 0.80m$		$h_2 = 164^{\circ}$		$H_4 = 0.27, II_4 = 0.09$		$H_6 = 251^{\circ}, II_6 = 0.05^{\circ}$				

Met formule 4 en 9 kan nu per uur de waterstand worden berekend t.o.v. CD:

t	w	t	w	t	w	t	w	t	w
00	0.40	05	2.24	10	0.96	15	1.09	20	1.35
01	0.38	06	1.93	11	0.68	16	1.83	21	1.20
02	0.69	07	1.56	12	0.49	17	2.23	22	0.98
03	1.38	08	1.38	13	0.41	18	2.05	23	0.69
04	2.06	09	1.23	14	0.55	19	1.62	24	0.49

In figuur 3.8 is de waterstand getekend.

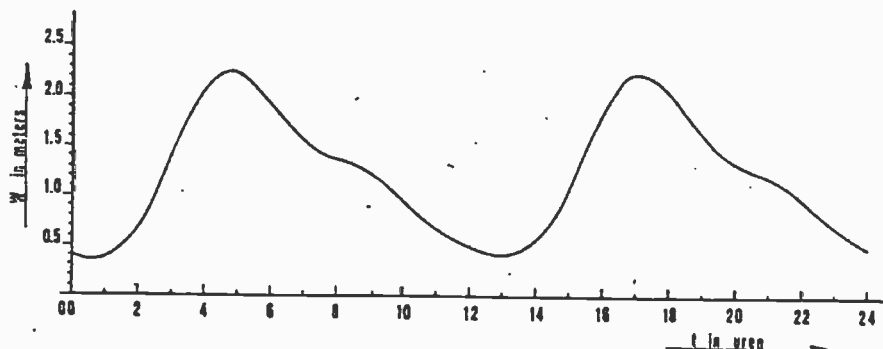


Fig. 3.8 Waterstand.

### 3.6 De dagbladzijden van de ATT en de "secondary Ports"

Voor Standard Ports staan de tijdstippen van HW en LW met de bijbehorende waterstanden ten opzichte van CD op de dagbladzijden gegeven, zie blz. A4. Zoals eerder vermeld zijn deze gegevens nauwkeuriger dan die zoals zelf berekend met de methode uit paragraaf 3.5, bij deze laatste methode zijn immers om wille van de eenvoud partiële getijden samengevoegd, waarbij onnauwkeurigheden optreden.

*A14*

Om de tijdstippen van HW en LW en de bijbehorende waterstanden voor een Secondary Port te berekenen, staan bij de betreffende haven in part II zogenaamde "time differences" en height differences" gegeven die op de bijbehorende Standard Port gegevens moeten worden toegepast. Indien Standard Port en Secondary Port verschillende seizoencorrectie hebben voor middenstand, dan moet dit bovendien in rekening worden gebracht.

Om de waterstand voor Standard Ports voor andere tijdstippen dan HW en LW te berekenen, is in part I van veel standard ports de getijcurve voor springtij en doodtij gegeven, zie blz. A8. Met argument het aantal uren vóór of ná HW wordt een factor bepaald, waarna geldt

$$\text{Waterstand} = \text{LW-stand} + \text{factor} \times \text{verval}$$

(10)

Eventueel wordt geïnterpoleerd tussen springtij en doodtij.

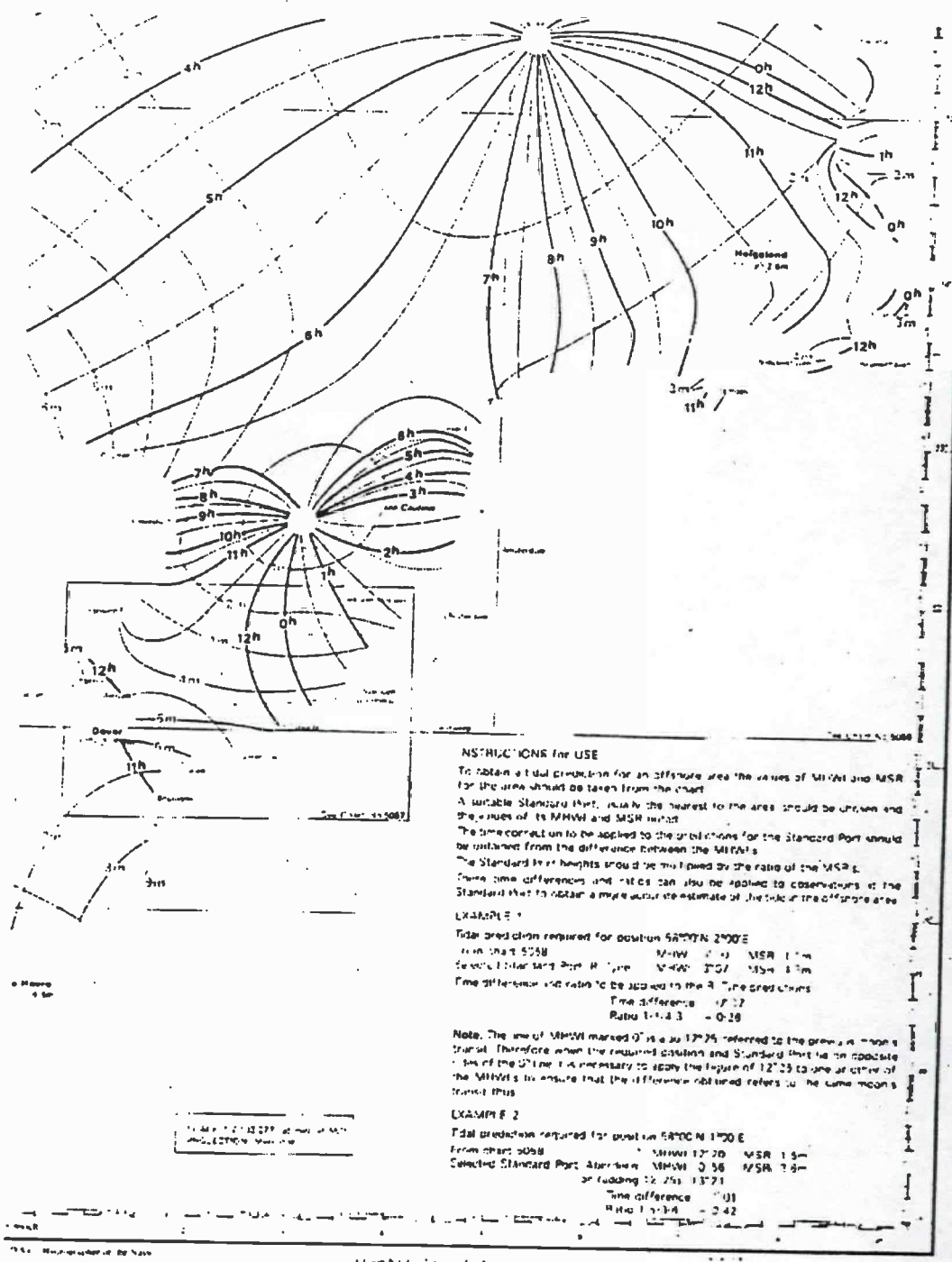
### 3.7 Nederlandse getijtafels

Sinds 1986 wordt door de Chef der Hydrografie uitgegeven: "Waterstanden en stromen langs de nederlandse kust en aangrenzend gebied". Hierin worden de uurstanden in dm gegeven t.o.v. LLWS van de belangrijkste havens langs de nederlandse kust voor het gehele lopende jaar, zie A9. Voorts worden de HW/LW tijdstippen en waterstanden gegeven voor Antwerpen en Zeebrugge.

De getijstromen voor de Zuidelijke Noordzee, Westerschelde en Waddenzee W/E zijn in dit boek eveneens opgenomen, met als referentietijd respectievelijk HW te Hoek van Holland, Vlissingen, Harlingen en Delfzijl.

### 3.8 Voorbeelding van getijhoogte buiten de kust

De gegevens in de getijtafels betreffen het getijverloop bij de haveningang van de betreffende haven. Voor veel doeleinden is het echter nodig de getijhoogte verder in zee te kunnen voorspellen. Hiervoor worden "cotidal" en "corange" kaarten gebruikt, zie figuur 3.9.



5058

Figuur 3.9

Een "cotidal-line" is een lijn over plaatsen met gelijktijdig HW of LW. Een "orange-line" is een lijn over plaatsen met dezelfde gemiddelde waterstand bij HW/LW.

Bij een cotidal-line is het HW/LW havengetal gegeven (Mean High Water Interval of Mean Low Water Interval, MHWI of MLWI).

Het HW-havengetal is het gemiddeld tijdsverloop tussen maansdoorgang te Greenwich en het tijdstip van plaatselijk HW. Het verschil in HW-havengetal van een plaats op zee met een nabijgelegen Standard Port geeft het tijdver-

schil in HW ten opzichte van HW Standard Port uit de ATT.

Voor de bepaling van de getijhoogte van HW/LW bepalen we de verhouding van de "mean range" van de gegeven positie en Standard Port. Met dit verhoudingsgetal wordt de getijhoogte uit de ATT van de Standard Port vermenigvuldigd. In de Nederlandse getijtafel staan de uurstanden in dm gegeven voor EURO-O en Penzoil K-13A.

### 3.9 Voorspelling UKC

De voorspelde waterdiepte op een bepaald tijdstip voor een gegeven positie wordt gegeven door:

voorspelde waterdiepte = kaartdiepte + voorspelde waterstand  
De diepgang van het schip is bij vertrek uit de laatste haven opgenomen. Door verbruik van water en brandstof en door verschil in saliniteit van het zee-water is de diepgang en trim veranderd. De grootste diepgang  $T_m$  van voor en achter is uiteraard voor de UKC van belang. De voorspelde bruto UKC is gelijk aan het verschil van voorspelde waterdiepte en  $T_m$ . De actuele bruto UKC is de afstand van diepste punt van het schip bij stilstaand schip tot de bodem.

Ten gevolge van diverse factoren zal de netto UKC niet gelijk zijn aan de voorspelde bruto UKC.

1. Door meteorologische invloeden is de voorspelde waterstand niet gelijk aan de actuele waterstand. Afwijkingen op de voorspelde waterstand worden o.a. via de nieuwsberichten over de radio uitgezonden. Havendiensten beschikken veelal over getijmeters buitengaats, met aflezing in het havenverkeerscentrum. Schepen kunnen via de marifoon (VHF) geïnformeerd worden over de actuele situatie.
2. Ten gevolge van het slingeren van het schip door zeegang en/of deining neemt de maximale diepgang toe met ongeveer
$$\Delta T_1 = \frac{1}{2}B \sin \varphi_{\max} \quad (12)$$
waar  $B$  de breedte is en  $\varphi_{\max}$  de maximale hellingshoek.
3. Als  $\theta_{\max}$  de maximale stamphoek is en  $L$  de lengte, dan is de maximale diepgangsvermeerdering door stampen.
$$\Delta T_2 = \frac{1}{2}L \sin \theta_{\max} \quad (13)$$
4. De maximale diepgangsvermeerdering ten gevolge van domp is moeilijk aan te geven. De invalshoek van de golven, de golflengte, de golfhoogte en de scheepsafmeting spelen hierbij een rol. Als maximum kan worden aangenomen de halve maximum golfhoogte.
$$\Delta T_3 = \frac{1}{2}H_{\max} \quad (14)$$

5. Door eigen vaart ondervindt het schip bovendien een neerwaartse zuiging, de squat. De grootte van de squat is afhankelijk van de breedte van de vaargeul, van de UKC, van de trim, van de scheepsafmetingen, maar vooral van de vaart.

Een vuistregel voor de maximale diepgangsvermeerdering door squat wordt gegeven door:

$$\Delta T_4 = 0.01 C_B V^2 \quad (15)$$
waarin  $C_B$  de blokcoëfficiënt,  $\Delta T$  in meters en  $V$  in knopen.

De invloeden 1 t/m 5 worden afgetrokken van de Bruto Keelclearance om de Netto Keelclearance te krijgen.

Voor het aanlopen van Europoort met diepstekende tankers is een studiegroep "Keelclearance" werkzaam met vertegenwoordigers van DGSM, Rijkshavendienst en het Gemeentelijk Havenbedrijf Rotterdam.

Resultaten van studies zijn o.a. gepubliceerd in NTT-De Zee 1978/6 en 1979/10. Er wordt bij de aanloop van zeer diepstekende schepen gewerkt met "getijpoorten" waar het schip a.h.w. op het topje van de getijgolf naar binnen vaart. Driedimensionale planning ( $x, y, t$ ) is dan noodzakelijk (de duur van de

aanloop is circa 2.5 uur). De minimale bruto UKC die geëist wordt is 10% van de diepgang T nabij de Maasmond en 20% op het traject Euro I - Euro 5a. De grootste diepgangstoename wordt ondervonden door het gedeelte van het golfspectrum tussen 0.1 en 0.03 Hz. De energie in dit deel van het spectrum wordt bepaald met golfmeters, die "on-line" met het Controle en Informatie Centrum te Hoek van Holland in verbinding staan. Indien de energie in dit spectrumdeel te groot wordt, wordt de toegang voor diepgaande schepen gestremd.

Overwogen wordt om de toegangsgeul uit te diepen zodat schepen met 75 vt (22.90 m) diepgang Europoort kunnen binnenlopen. Een deel van de voorstudie van dit project was het onderzoek van de navigatie met 75 vt schepen door het Engels Kanaal, waar schepen met die diepgang tot heden nog niet zijn gepasseerd. Met zorgvuldige en goed geplande navigatie en gebruikmaking van getijpoorten is de doorvaart van het Engels Kanaal met deze schepen - na het vervuld zijn van een aantal voorwaarden - goed mogelijk.

### 3.10 Gegevens voor getijstromen

Allereerst wordt opgemerkt dat de horizontale getijbeweging in het algemeen uit fase is met de vertikale getijbeweging.

- Bij een zuiver "lopende getijgolf" is de vloedstroom maximaal op het tijdstip van HW en loopt daarna nog enkele uren door. De ebstroom is maximaal op het tijdstip van LW. De hoogwaterstanden zijn overal gelijk en de tijdstippen van HW zijn verschillend voor verschillende plaatsen. De overgang van vloedstroom naar ebstroom, of omgekeerd, heet kentering; het is dan slack-water.
- Bij een zuiver "staande getijgolf" is het slack-water tijdens HW en LW. De vloedstroom loopt vanaf LW tot HW en de ebstroom vanaf HW tot LW. De maximale stroom treedt op tijdens middenstand. De HW-standen zijn voor verschillende plaatsen ongelijk.
- Veelal heeft de getijbeweging een gemengd karakter.

Voor verschillende zeestraten staan de stroomgegevens in de ATT vermeld op dagbladzijden, zie blz. A10.

Voor de Noordzee en de Nederlandse Zeegaten worden zeer handige stroomatllassen uitgegeven door de Nederlandse Hydrografische Dienst. Per uur wordt de stroomsituatie gegeven met als tijdsreferentie het HW-tijdstip in een Standard Port. De vertikale getijbeweging is zichtbaar doordat het gebied met rijzend water lichtblauw en het gebied met vallend water wit is aangegeven. Voor een beperkt aantal aanlooproutes worden stroomatllassen uitgegeven voor diepgangen van 0-5 m, 0-10 m en 0-20 m (bijvoorbeeld Europoort). Blz. A11 is een overdruk uit de stroomatlase van de zuidelijke Noordzee. In zeekaarten worden op plaatsen waar de getijstroom goed gemeten is ruiten aangebracht met een letter erin. De letter verwijst naar een tabel in de kaart waar de stroomgegevens per uur staan vermeld, zie blz. A12. Soms staat alleen in de kaart de richting van de eb- of vloedstroom vermeld. De pijl met veren is dan de vloedstroom.



In de Zeemansgids staan voorts nog gegevens over lokale afwijkingen, variaties in de stroom ten gevolge van meteorologische invloeden, maximale waarden van de stroom enz., zie blz. A13.

#### Literatuur

- [ 1 ] J.P.Th. Kalkwijk  
De analyse van getijden, college B75  
THD, afd. Civiele Techniek
- [ 2 ] Y. Draaisma e.a.  
Navigatiekunde I en II  
Unieboek Bussum
- [ 3 ] G. Neumann, W.J. Pierson  
Principles of Physical Oceanography  
Prentice Hall, 1966
- [ 4 ] A.T. Doodson, H.D. Warburg  
Admiralty Manual of Tides  
Her Majesty's Stationery Office London
- [ 5 ] Overzicht getijleer  
Dienst Hydrografie  
Min. van Defensie

Tabel II.

## GETIJCONSTANTEN AAN DE NEDERLANDSE KUST (berekend voor 1955)

	Havenort SI-31 NB 0-30 OL	Terschelling SI-31 NB 0-30 OL	Vlieland SI-31 NB 0-30 OL	Waddenzee SI-31 NB 0-30 OL	Zuidwolde SI-31 NB 0-30 OL	Buurserdam SI-31 NB 0-30 OL	Nijkerk SI-31 NB 0-30 OL
$A_0^2)$	1	— 2	— 6	— 4	— 6	19	
$K_1$	6	19	6	11	14	25	
$O_1$	205	197	190	205	206	215	
$P_1$	4	4	3	3	3	3	
$Q_1$	15	7	6	21	10	20	
	3	3	3	2	3	3	
	171	154	155	—	150	151	
$M_2$	190	183	173	153	158	152	
$S_2$	23	66	48	58	53	46	
$N_2$	51	120	118	122	124	120	
$K_2$	25	24	27	23	20	21	
$L_2$	65	46	36	65	56	52	
$T_2$	14	16	13	10	10	5	
$\lambda_2$	143	126	116	151	147	210	
$y_2$	10	9	7	8	7	5	
$2MS_2$	23	12	5	32	61	94	
$M_{21}$	100	170	171	191	192	256	
$L_{21}$	15	14	12	12	12	12	
$T_{21}$	67	74	68	96	98	134	
$\lambda_{21}$	2	2	3	1	2	1	
$2SM_2$	7	6	5	6	3	3	
$2MS_{21}$	104	92	77	125	100	160	
$3MS_2$	3	6	4	4	3	2	
	5	6	6	5	5	3	
	303	207	296	316	310	347	
$MK_3$	3	3	3	2	2	0	
$MO_3$	8	226	214	—	—	—	
	4	4	3	3	2	1	
	214	197	168	213	—	—	
$M_4$	19	12	16	10	6	11	
$MS_4$	173	136	113	229	194	245	
$MN_4$	6	7	5	5	3	7	
$3MS_4$	235	193	175	282	264	305	
$4MS_4$	3	3	4	3	3	4	
$3MS_{41}$	153	97	108	220	158	224	
$4MS_{41}$	2	2	1	2	0	2	
$M_6$	—	—	—	—	—	—	
$2MS_6$	10	8	6	6	3	4	
$4MS_6$	224	166	106	246	190	255	
$M_8$	7	105	10	3	2	3	
$2MS_8$	267	193	159	304	171	312	
$4MS_8$	1	1	1	2	0	1	
	—	—	—	—	—	—	
$M_{10}$	243	—	84	265	63	262	
$A_0^2)$	—	—	—	—	—	—	
$K_1$	6	19	6	11	14	25	
$O_1$	205	197	190	205	206	215	
$P_1$	4	4	3	3	3	3	
$Q_1$	15	7	6	21	10	20	
	3	3	3	2	3	3	
	171	154	155	—	150	151	
$A_0^2)$	—	—	—	—	—	—	
$K_1$	—	—	—	—	—	—	
$O_1$	—	—	—	—	—	—	
$P_1$	—	—	—	—	—	—	
$Q_1$	—	—	—	—	—	—	
$M_2$	—	—	—	—	—	—	
$S_2$	—	—	—	—	—	—	
$N_2$	—	—	—	—	—	—	
$K_2$	—	—	—	—	—	—	
$L_2$	—	—	—	—	—	—	
$T_2$	—	—	—	—	—	—	
$\lambda_2$	—	—	—	—	—	—	
$2MS_2$	—	—	—	—	—	—	
$M_{21}$	—	—	—	—	—	—	
$L_{21}$	—	—	—	—	—	—	
$T_{21}$	—	—	—	—	—	—	
$\lambda_{21}$	—	—	—	—	—	—	
$2SM_2$	—	—	—	—	—	—	
$2MS_{21}$	—	—	—	—	—	—	
$3MS_2$	—	—	—	—	—	—	
$MK_3$	—	—	—	—	—	—	
$MO_3$	—	—	—	—	—	—	
$M_4$	—	—	—	—	—	—	
$MS_4$	—	—	—	—	—	—	
$MN_4$	—	—	—	—	—	—	
$3MS_4$	—	—	—	—	—	—	
$4MS_4$	—	—	—	—	—	—	
$M_6$	—	—	—	—	—	—	
$2MS_6$	—	—	—	—	—	—	
$4MS_6$	—	—	—	—	—	—	
$M_8$	—	—	—	—	—	—	
$2MS_8$	—	—	—	—	—	—	
$4MS_8$	—	—	—	—	—	—	
$M_{10}$	—	—	—	—	—	—	

<sup>1)</sup> De verminderde harmonische constanten gelden voor de kustland 1955.  
<sup>2)</sup> Zie verderop de uitleg over de berekening van de harmonische constanten voor de kustland 1955.

De kapgetallen ( $x^2$ ) hebben betrekking op MET, welke sinds 1961 voor de polschronometers geldt.

<sup>3)</sup> Kustland voor 1955—1960.

DENMARK; GERMANY; NETHERLANDS

No.	PLATE	M.I., HARMONIC CONSTANTS (Zone -0100)												S.W. CORRECTIONS			
		$Z_a$	$M_1$	$S_1$	$S_2$	$K_1$	$K^o$	$H.m.$	$K^o$	$H.m.$	$K^o$	$H.m.$	$f_1$	$f_2$	$f_3$	$f_4$	
4-12	Hirtshals	-	-	-	0.2	1.25	0.11	0.80	0.04	3.38	0.01	267	0.01	0	0	0	0
4-13	Hansholm	-	-	-	0.2	1.34	0.12	0.44	0.03	201	0.02	016	0.02	0	0	0	0
4-13	Thyborøn	-	-	-	0.2	1.33	0.16	-1.30	0.02	167	0.02	325	0.04	0	0	0	0
4-17	ESBJERG	-	-	-	0.81	0.64	0.66	1.28	0.16	0.89	0.05	290	0.08	158	0.139	0	0
4-19	Ronne Havn	-	-	-	1.0	0.56	0.78	1.26	0.18	0.45	0.07	286	0.09	0	0	0	0
4-20	Husum	-	-	-	2.09	0.33	1.41	1.12	0.38	0.77	0.05	267	0.09	198	0.064	0.07	N
4-21	HEL GOLAND	-	-	-	1.42	3.41	1.99	0.48	0.29	0.36	0.06	249	0.09	242	0.062	0	0
4-36	Büsum	-	-	-	1.81	0.66	1.56	0.77	0.42	0.47	0.07	260	0.10	189	0.039	0	0
4-38	CUXHAVEN	-	-	-	1.67	0.13	1.34	0.83	0.34	0.58	0.06	268	0.09	245	0.066	100	0.039
4-39	Bremenhafen	-	-	-	1.41	0.8	1.12	1.21	0.27	0.70	0.05	272	0.07	256	0.069	0.07	0.034
4-44	Hamburg	-	-	-	1.46	1.48	0.82	2.06	0.19	1.11	0.05	337	0.07	275	0.049	0.07	0.034
4-51	Bremerhaven	-	-	-	1.98	0.26	1.52	1.02	0.37	0.63	0.08	271	0.09	198	0.063	0.34	0.020
4-56	Bremen	-	-	-	1.65	0.84	1.42	1.68	0.32	0.92	0.04	281	0.05	274	0.080	0.06	0.018
4-63	WILHELMSHAVEN	-	-	-	2.0	0.12	1.54	0.86	0.40	0.49	0.07	255	0.09	187	0.049	0.36	0.023
4-64	Nordney (Riffgat)	-	-	-	1.37	3.16	1.01	0.30	0.26	0.23	0.06	216	0.08	219	0.045	0.67	0.056
4-72	Borkum (Fischerhafen)	-	-	-	1.14	4.93	1.05	0.03	0.47	0.20	0.07	2.1	0.09	187	0.054	0.82	0.041
4-73	Delfzijl	-	-	-	2.02	3.14	1.46	0.45	0.31	0.43	0.09	250	0.09	211	0.092	0.78	0.017
4-75	Emden	-	-	-	1.86	3.40	1.23	0.58	0.32	0.32	0.08	234	0.09	198	0.089	0.71	0.040
4-83	West Terschelling	-	-	-	1.31	2.53	0.77	3.17	0.20	0.23	0.06	224	0.07	154	0.093	0.31	0.016
4-85	Darßingen	-	-	-	1.25	2.82	0.80	3.55	0.40	0.38	0.07	218	0.10	264	0.102	106	0.067
4-89	Den Helder	-	-	-	1.15	1.94	0.63	2.62	0.18	0.09	0.08	207	0.10	196	0.245	113	0.278
4-91	IJmuiden	-	-	-	1.10	1.35	0.69	2.04	0.17	0.01	0.08	194	0.12	283	0.443	153	0.170
4-95	HOEK VAN HOLLAND	-	-	-	1.00	0.90	0.76	1.51	0.19	0.02	0.07	190	0.11	357	0.366	197	0.091
4-98	Rotterdam	-	-	-	1.74	1.44	0.82	2.09	0.18	0.23	0.06	215	0.09	316	0.178	180	0.075

二三

*(Continued from previous page)*

*Al., "modern."* *Young* in *Journal of Household Manufactures*, *second edition*, *see Table V.*

## NETHERLANDS; BELGIUM; FRANCE

No.	PLACE	M.L.	HARMONIC CONSTANTS (Zone -0100)										S.W. CORRECTIONS		
			Z <sub>0</sub> m.	M <sub>2</sub> g° H.m.	S <sub>2</sub> g° H.m.	K <sub>2</sub> g° H.m.	O <sub>2</sub> g° H.m.	F <sub>2</sub> -diurnal F <sub>2</sub>							
1528	Zieriksee		1.87	0.85	1.18	0.44	0.35	0.14	0.07	2.06	0.11	0.26	0.036	2.95	0.011
1530	Wemeldinge		2.02	0.88	1.53	0.52	0.38	0.22	0.07	2.07	0.11	0.22	0.042	2.44	0.015
1534	VLISSINGEN (FLUSHING)		2.44	0.60	1.73	0.68	0.48	0.10	0.06	1.90	0.10	3.55	0.045	2.85	0.016
1536	Terneuzen		2.57	0.69	1.83	1.30	0.49	0.10	0.07	1.97	0.11	3.56	0.031	3.05	0.014
1537	Hansweert		2.76	0.83	1.96	1.46	0.51	0.20	0.06	2.05	0.11	0.08	0.027	3.28	0.013
1539	ANTWERP (PROSPERPOolder)		2.76	0.97	1.71	1.60	0.53	0.38	0.07	2.17	0.10	3.34	0.028	3.84	0.010
1539a	Boudewijnsluis		2.68	1.03	2.01	1.69	0.54	0.32	0.06	2.25	0.08	3.17	0.032	3.33	0.009
1539b	Ruyerssluis		2.68	1.09	2.11	1.75	0.56	0.28	0.08	2.25	0.08	3.17	0.033	3.48	0.012
1562	Zeebrugge		2.36	0.43	1.71	0.98	0.49	0.06	0.06	1.83	0.10	0.01	0.033	2.87	0.027
1564	Ostend		2.36	0.34	1.85	0.87	0.55	0.04	0.05	1.80	0.10	3.26	0.032	2.86	0.012
1565	Nieuport		2.37	0.29	1.95	0.83	0.58	0.09	0.05	1.79	0.09	3.14	0.033	2.71	0.022
1568	DUNKERQUE		3.20	0.20	2.12	0.73	0.64	0.14	0.04	1.73	0.08	2.97	0.033	2.36	0.004
1570	CALAIS		4.02	0.15	2	0.69	0.76	0.76	0.02	1.61	0.04	2.79	0.040	4.88	0.004
1572	BOULOGNE		5.01	359	2.03	0.51	0.16	1.45	0.05	0.91	0.04	2.83	0.038	4.72	0.003
1578	Le Treport		5.02	351	2.13	0.56	1.17	1.44	0.07	0.43	0.04	3.09	0.034	4.64	0.002
1579	DIEPPE		4.97	340	3.10	0.32	1.01	1.43	0.07	0.54	0.05	2.83	0.026	4.65	0.003
1581	Fecamp		4.47	327	2.69	0.15	0.87	1.39	0.08	0.41	0.04	2.42	0.018	1.93	0.003
1581a	Antifer		4.73	324	2.08	0.04	0.97	1.39	0.08	0.41	0.04	2.44	0.013	1.53	0.003
1582	LE HAVRE		4.87	315	2	0.03	0.88	1.36	0.10	0.27	0.06	2.29	0.032	3.53	0.006
1590	Trouville		4.50	310	2.48	350	1.92	1.30	0.09	0.77	0.06	2.89	0.040	3.45	0.008
1592	Ouistreham		4.30	308	2.48	353	1.92	1.25	0.09	0.66	0.06	2.66	0.037	3.04	0.002
1594	Port-en-Bessin		4.22	299	2.32	339	0.86	1.25	0.09	0.16	0.06	2.70	0.040	3.06	0.000
1598	St. Vaast		3.80	292	2.08	3.12	0.77	1.25	0.09	0.16	0.06	2.79	0.040	3.37	0.006
1599	Battelleur		3.94	290	2.06	3.14	0.64	1.27	0.09	0.08	0.06	2.67	0.029	3.37	0.006
1600	CHERBOURG		3.78	258	1.86	300	0.68	1.21	0.11	0.05	0.07	2.60	0.038	4.28	0.004
1601	Omerville		3.76	253	2.10	293	0.80	1.25	0.09	0.16	0.06	2.62	0.021	1.52	0.003
1602	Goury		4.84	232	2.45	272	0.90	1.25	0.09	0.16	0.06	1.77	0.033	1.80	0.002

## SEASONAL CHANGES IN MEAN LEVEL AND HARMONIC CONSTANTS

No.	Jan. + or -	Febr. + or -	Mar. + or -	Apr. + or -	May + or -	June + or -	July + or -	Aug. + or -	Sep. + or -	Oct. + or -	Nov. + or -	Dec. + or -	Jan. + or -	
1412-1437	+0.1	+0.1	0.0	0.0	0.0	0.0	-0.1	-0.1	-0.1	0.0	0.0	0.0	+0.1	+0.1
1438-1448	+0.1	+0.1	0.0	0.0	0.0	0.0	-0.1	-0.2	-0.1	0.0	+0.1	+0.1	+0.1	+0.1
1449-1470	+0.1	+0.1	0.0	0.0	0.0	0.0	Negligible	+0.1	+0.1	0.0	+0.1	+0.1	+0.1	+0.1
1471-1475	+0.1	0.0	0.0	0.0	0.0	0.0	-0.1	-0.1	-0.1	0.0	+0.1	+0.1	+0.1	+0.1
1477-1524	0.0	0.0	0.0	-0.1	-0.1	-0.1	0.0	0.0	0.0	0.0	+0.1	+0.1	+0.1	+0.1
1528-1571	0.0	0.0	-0.1	-0.1	-0.1	0.0	0.0	0.0	0.0	+0.1	+0.1	+0.1	+0.1	+0.1
1572-1581a	0.0	-0.1	-0.1	-0.1	0.0	0.0	0.0	0.0	+0.1	+0.1	+0.1	+0.1	+0.1	+0.1
1582-1602	0.0	-0.1	-0.1	-0.1	0.0	0.0	0.0	0.0	+0.1	+0.1	+0.1	+0.1	+0.1	+0.1
1539	M <sub>2</sub> 2.08	2.09	2.06	2.05	2.07	2.14	2.12	2.08	2.02	2.00	1.99	2.04	2.07	
1570	M <sub>2</sub> 2.51	2.46	2.42	2.41	2.48	2.41	2.38	2.37	2.39	2.45	2.51	2.53	2.55	
1582	M <sub>2</sub> 2.65	2.64	2.64	2.65	2.65	2.64	2.60	2.56	2.55	2.58	2.62	2.64	2.65	

**NETHERLANDS - HOEK VAN HOLLAND**

LAT 51°59'N LONG 4°07'E

TIME ZONE -0100

TIMES AND HEIGHTS OF HIGH AND LOW WATERS

YEAR 1986

MAY

JUNE

JULY

AUGUST

TIME	M														
1 0107	0.2	16 0054	0.3	1 0459	0.2	16 0156	0.2	1 0353	0.3	16 0217	0.2	1 0520	0.5	16 0443	0.5
1 0758	2.0	16 0653	1.9	1 1003	2.0	16 0900	2.0	1 1018	2.0	16 0920	2.1	1 1153	1.8	16 1116	1.9
TH 1439	0.4	F 1426	0.5	SU 1810	0.5	M 1631	0.5	TU 1810	0.6	W 1540	0.6	F 1754	0.5	SA 1720	0.6
2040	1.6	1942	1.6	2237	1.7	2123	1.7	2251	1.8	2148	1.9			2349	2.0
2 0215	0.2	17 0144	0.3	2 0602	0.2	17 0253	0.2	2 0451	0.3	17 0330	0.3	2 0013	1.8	17 0556	0.5
F 1718	0.5	SA 1529	0.5	M 1906	0.5	TU 1749	0.5	W 1858	0.5	TH 1629	0.6	SA 1254	1.8	17 1230	1.9
2205	1.6	2056	1.6	2335	1.8	2231	1.8	2348	1.8	2300	1.9	1845	0.5		
3 0515	0.3	18 0238	0.3	3 0659	0.3	18 0355	0.3	3 0546	0.4	18 0445	0.3	3 0105	1.9	18 0050	2.2
1039	2.0	18 0945	1.9	3 1156	2.0	18 1102	2.1	3 1217	1.9	18 1132	2.0	3 0710	0.6	18 0906	0.5
SA 1848	0.5	SU 1645	0.5	TU 1959	0.5	W 1907	0.5	TH 1951	0.5	F 1728	0.5	SU 1343	1.9	M 1330	1.9
2318	1.6	2206	1.6			2335	1.9					1927	0.5		
4 0635	0.2	19 0339	0.3	4 0025	1.9	19 0456	0.3	4 0039	1.9	19 0004	2.0	4 0148	2.0	19 0143	2.3
SU 2004	0.4	M 1914	0.5	W 1244	2.0	TH 2010	0.5	F 1309	0.4	19 0549	0.4	4 0754	0.6	19 0955	0.5
		2320	1.7			2047	0.5			1907	0.5	1820	0.5		
5 0013	1.8	20 0438	0.3	5 0108	1.9	20 0028	2.0	5 0124	1.9	20 0059	2.1	5 0225	2.1	20 0229	2.3
0816	0.2	20 1145	2.1	5 0651	0.4	20 0551	0.3	5 0726	0.5	20 0644	0.5	5 0831	0.6	20 1036	0.7
M 1230	2.1	TU 2018	0.4	TH 1327	2.0	F 1252	2.2	SA 1355	1.9	SU 1332	2.0	TU 1453	2.0	W 1502	2.0
2053	0.4			2131	0.4	1826	0.5	1949	0.4	1904	0.4	● 2026	0.4	C 1929	0.4
6 0059	1.9	21 0015	1.8	6 0147	2.0	21 0117	2.1	6 0204	2.0	21 0150	2.2	6 0258	2.1	21 0312	2.3
0921	0.2	21 0526	0.3	6 0735	0.4	21 0642	0.3	6 0815	0.5	21 1007	0.5	6 1050	0.7	21 1120	0.7
TU 1312	2.1	W 1232	2.2	F 1407	2.0	SA 1342	2.1	SU 1434	1.9	M 1425	2.0	W 1522	2.0	TH 1541	2.1
2123	0.5	2108	0.4	2011	0.4	1909	0.4	2031	0.4	O 1944	0.4	2041	0.4	2044	0.3
7 0140	2.0	22 0100	1.9	7 0222	2.0	22 0204	2.2	7 0240	2.0	22 0239	2.3	7 0330	2.2	22 0353	2.3
0705	0.3	22 0610	0.2	7 0831	0.4	22 0729	0.4	7 0916	0.6	22 1055	0.5	7 1116	0.7	22 1208	0.7
W 1351	2.1	TH 1317	2.2	SA 1445	2.0	SU 1431	2.1	M 1508	2.0	TU 1514	2.0	TH 1553	2.0	F 1619	2.1
2151	0.5	2148	0.5	● 2105	0.4	O 1951	0.4	● 2111	0.4	2023	0.3	2106	0.3	2125	0.3
8 0214	2.0	23 0142	2.1	8 0257	2.0	23 0250	2.3	8 0315	2.1	23 0326	2.3	8 0402	2.3	23 0435	2.3
0741	0.3	23 0654	0.2	8 1001	0.5	23 1113	0.4	8 1038	0.6	23 1143	0.6	8 1157	0.6	23 1257	0.7
TH 1428	2.1	F 1401	2.2	SU 1521	2.0	M 1521	2.0	TU 1541	2.0	W 1601	2.0	F 1625	2.1	SA 1657	2.2
● 2224	0.4	O 1921	0.4	2211	0.4	2035	0.3	2126	0.4	2104	0.2	2138	0.3	2209	0.3
9 0247	2.1	24 0224	2.2	9 0331	2.1	24 0337	2.3	9 0349	2.1	24 0413	2.3	9 0436	2.3	24 0518	2.2
0818	0.4	24 0737	0.2	9 1114	0.5	24 1201	0.5	9 1135	0.6	24 1232	0.6	9 1240	0.6	24 1343	0.7
F 1503	2.1	SA 1446	2.2	M 1555	2.0	TU 1612	2.0	W 1613	2.0	TH 1645	2.0	SA 1659	2.1	SU 1735	2.2
2304	0.4	2021	0.4	2334	0.3	2121	0.2	2142	0.3	2149	0.2	2213	0.3	2258	0.3
10 0319	2.1	25 0307	2.3	10 0405	2.1	25 0425	2.3	10 0422	2.2	25 0500	2.3	10 0513	2.3	25 0601	2.2
1117	0.4	25 0822	0.3	10 1201	0.5	25 1250	0.5	10 1219	0.6	25 1322	0.7	10 1323	0.6	25 1235	0.7
SA 1538	2.0	SU 1532	2.1	TU 1627	1.9	W 1704	1.7	TH 1646	1.9	F 1728	2.0	SU 1735	2.1	M 1815	2.2
2343	0.3	2045	0.3			2211	0.2	2213	0.3	2238	0.2	2252	0.3	2358	0.4
11 0352	2.1	26 0350	2.3	11 0020	0.3	26 0518	2.3	11 0456	2.2	26 0550	2.2	11 0553	2.3	26 0644	2.1
1155	0.4	26 1215	0.3	11 0438	2.1	26 1340	0.5	11 1302	0.6	26 1413	0.7	11 1405	0.6	26 1259	0.6
SU 1612	2.0	M 1619	2.0	W 1239	0.5	TH 1757	1.9	F 1721	1.9	SA 1811	2.1	M 1814	2.1	TU 1858	2.1
2133	0.3	1659	1.9			2305	0.1	2249	0.3	2333	0.2	2336	0.2		
12 0015	0.3	27 0436	2.3	12 0102	0.3	27 0619	2.2	12 0533	2.2	27 0640	2.2	12 0638	2.2	27 0110	0.4
0425	2.1	27 1300	0.4	12 0511	2.1	27 1433	0.6	12 1345	0.5	27 1458	0.7	12 1445	0.6	27 0730	2.0
M 1229	0.4	TU 1710	1.9	TH 1315	0.5	F 1848	1.9	SA 1759	1.9	SU 1856	2.0	TU 1858	2.1	W 1341	0.6
1643	1.9	2228	0.2	1735	1.8	1938	1.8	1939	1.9	2328	0.2			1945	2.0
13 0044	0.3	28 0527	2.2	13 0001	0.3	28 0007	0.1	13 0616	2.2	28 0040	0.2	13 0030	0.3	28 0219	0.5
0456	2.1	28 1348	0.4	13 0549	2.1	28 0720	2.2	13 1429	0.5	28 0730	2.1	13 0732	2.2	28 0319	1.9
TU 1259	0.4	W 1810	1.8	F 1354	0.5	SA 1533	0.6	SU 1842	1.9	M 1351	0.6	W 1511	0.6	TH 1433	0.6
1712	1.9	2331	0.2	1818	1.8	1939	1.9			1943	2.0	1954	2.0	2044	1.9
14 0109	0.3	29 0631	2.2	14 0014	0.2	29 0116	0.2	14 0014	0.2	29 0157	0.3	14 0204	0.3	29 0344	0.5
0527	2.0	1440	0.5	0636	2.0	29 0816	2.1	0707	2.1	29 0821	2.0	14 0841	2.0	29 0915	1.7
W 1326	0.4	TH 1915	1.8	SA 1438	0.5	SU 1633	0.6	M 1514	0.6	TU 1438	0.6	TH 1505	0.6	F 1623	0.6
1746	1.8			1912	1.7	2034	1.8	1933	1.9	2035	1.9	2110	2.0	2206	1.7
15 0007	0.3	30 0752	2.1	15 0103	0.2	30 0240	0.2	15 0109	0.2	30 0312	0.3	15 0333	0.4	30 0451	0.6
0604	2.0	0752	2.1	0745	2.0	30 0914	2.0	15 0812	2.1	30 0915	1.9	15 0956	1.9	30 1122	1.7
TH 1349	0.4	F 1548	0.5	SU 1529	0.5	M 1723	0.6	TU 1600	0.6	W 1540	0.6	F 1606	0.6	SA 1728	0.6
1831	1.7	2017	1.7	2017	1.7	2141	1.8	2037	1.9	2141	1.8	2235	1.9	2344	1.8
31 0147	0.2														
31 0857	2.0														
SA 1707	0.5														
2127	1.7														
31 0419	0.4														
31 1031	1.8														
TH 1650	0.6														
2308	1.7														

LOW WATERS - IMPORTANT NOTE. DOUBLE LOW WATERS OFTEN OCCUR AT HOEK VAN HOLLAND. ON THESE OCCASIONS THE PREDICTIONS ARE FOR THE FIRST LOW WATER. THE SECOND LOW WATER OCCURS ABOUT 2 HOURS 15 MINUTES LATER.

TABLE VIII

## ASTRONOMICAL ARGUMENTS

1980

JANUARY												FEBRUARY											
F	1.03	1.00	1.03	0.78	0.90	0.84	1.00	1.07	1.03	F	1.03	1.00	1.03	0.78	0.90	0.84	1.00	1.07	1.03				
DAY	M2	S2	N2	K2	K1	O1	P1	M4	MS4	DAY	M2	S2	N2	K2	K1	O1	P1	M4	MS4				
1	042	000	314	191	005	040	350	085	042	1	006	000	233	251	035	336	320	013	006				
2	018	000	276	193	006	015	349	036	018	2	342	000	195	253	036	308	319	326	342				
3	354	000	239	195	007	349	348	367	356	3	318	000	158	255	037	283	318	275	318				
4	329	000	201	197	008	324	347	298	329	4	293	000	120	257	038	258	317	227	293				
5	305	000	164	199	009	298	346	250	305	5	269	000	083	259	039	232	316	178	269				
6	280	000	126	200	010	273	345	201	280	6	245	000	066	261	040	202	315	129	265				
7	256	000	089	202	011	248	344	152	256	7	220	000	008	263	041	182	314	080	220				
8	232	000	052	204	012	222	343	103	232	8	196	000	331	265	042	156	313	051	196				
9	207	000	014	206	013	197	342	056	207	9	171	000	293	267	043	131	312	343	171				
10	183	000	337	208	014	172	341	006	183	10	147	000	256	269	044	106	311	294	147				
11	158	000	299	210	015	146	340	317	158	11	123	000	218	271	045	080	310	245	123				
12	134	000	262	212	016	121	339	268	134	12	098	000	181	273	046	053	309	196	098				
13	110	000	224	214	017	096	338	219	110	13	074	000	143	275	047	030	308	148	074				
14	085	000	187	216	018	070	337	171	085	14	049	000	106	277	048	004	307	099	049				
15	061	000	149	218	019	045	336	122	061	15	025	000	068	279	049	339	306	050	025				
16	037	000	112	220	020	020	335	073	037	16	001	000	031	281	050	313	305	001	001				
17	012	000	074	222	021	354	334	026	012	17	336	000	354	283	051	288	304	313	336				
18	348	000	037	224	022	329	333	336	348	18	312	000	316	285	052	263	303	264	312				
19	323	000	360	226	023	303	332	287	323	19	288	000	279	287	053	237	302	215	268				
20	299	000	322	228	024	278	331	238	299	20	263	000	241	289	054	212	301	166	263				
21	275	000	285	230	025	253	330	189	275	21	239	000	204	290	055	187	300	118	239				
22	250	000	247	232	026	227	329	141	250	22	214	000	166	292	056	161	299	069	214				
23	226	000	210	234	027	202	328	092	226	23	190	000	129	294	057	136	298	020	190				
24	201	000	172	236	028	177	328	053	201	24	166	000	091	296	058	115	297	331	166				
25	177	000	135	238	028	151	327	354	177	25	141	000	054	296	059	085	296	282	141				
26	153	000	097	240	029	126	326	305	153	26	117	000	017	300	060	060	295	234	117				
27	128	000	060	242	030	101	325	257	128	27	092	000	339	302	061	034	296	185	092				
28	106	000	023	244	031	075	324	208	106	28	068	000	302	304	062	009	293	136	068				
29	080	000	345	245	032	050	323	159	020	29	044	000	264	306	063	344	292	087	044				
30	055	000	308	247	033	025	322	110	055														
31	031	000	270	249	034	359	321	062	031														
MARCH												APRIL											
F	1.03	1.00	1.03	0.79	0.91	0.84	1.00	1.06	1.03	F	1.03	1.00	1.03	0.79	0.91	0.85	1.00	1.06	1.03				
DAY	M2	S2	N2	K2	K1	O1	P1	M4	MS4	DAY	M2	S2	N2	K2	K1	O1	P1	M4	MS4				
1	019	000	227	308	064	318	291	039	019	1	343	000	146	009	094	232	260	327	343				
2	355	000	189	310	065	293	290	350	355	2	319	000	108	011	095	227	260	278	319				
3	331	000	152	312	066	268	289	301	331	3	295	000	071	013	096	262	259	229	295				
4	306	000	114	314	067	242	288	252	306	4	270	000	034	015	097	176	258	181	270				
5	282	000	077	316	068	217	287	204	282	5	246	000	356	017	098	151	257	132	246				
6	257	000	040	318	069	192	286	155	257	6	222	000	319	019	099	126	256	083	222				
7	233	000	002	320	070	166	285	106	233	7	197	000	281	021	100	100	255	036	197				
8	209	000	325	322	071	141	284	057	209	8	173	000	266	022	101	075	256	173					
9	184	000	287	324	072	116	283	009	184	9	148	000	206	024	102	049	253	297	148				
10	160	000	250	326	073	090	282	320	160	10	124	000	169	026	103	024	252	248	124				
11	135	000	212	328	073	065	281	271	135	11	100	000	131	028	104	251	199	100					
12	111	000	175	330	074	039	280	222	111	12	075	000	094	030	105	333	250	150	075				
13	087	000	137	332	075	014	279	173	087	13	051	000	056	032	106	308	269	102	051				
14	062	000	100	334	076	349	278	125	062	14	026	000	019	034	107	283	248	053	026				
15	038	000	062	335	077	323	277	076	058	15	002	000	342	036	108	257	267	004	002				
16	016	000	025	337	078	298	276	027	014	16	338	000	304	038	109	232	266	315	338				
17	349	000	348	339	079	273	275	338	349	17	313	000	267	040	110	207	265	267	313				
18	325	000	310	341	080	247	274	290	325	18	289	000	229	062	111	181	266	218	289				
19	300	000	273	343	081	222	273	261	300	19	265	000	192	044	112	156	243	169	255				
20	276	000	235	345	082	197	272	192	276	20	240	000	154	066	113	131	242	120	240				
21	252	000	198	347	083	173	271	143	252	21	216	000	117	048	114	105	241	072	216				
22	227	000	160	349	084	146	270	095	227	22	191	000	079	050	115	080	240	023	191				
23	203	000	123	351	085	121	269	046	203	23	167	000	042	052	116	054	239	334	167				
24	179	000	085	353	086	095	268	357	179	24	143	000	005	054	117	029	238	285	163				
25	154	000	048	355	087	070	267	308	154	25	118	000	327	056	118	004	237	236	118				
26	130	000	011	357	088	046	266	259	130	26	094	000	290	058	118	338	236	188	094				
27	105	000	333	359	089	019	265	211	105	27	069	000	252	060	119	313	235	139	049				
28	081	000	296	001	090	354	264	162	081	28	045	000	215	062	120	288	234	090	045				
29	057	000	258	003	091	328	263	113	057	29	021	000	177	064	121	262	233	041	021				
30	032	000	221	005	092	303	262	064	032	30	356</td												

TABLE VII

## TIDAL ANGLES AND FACTORS

1980

## JANUARY

	M2	S2	K1	O1		M2	S2	K1	O1								
DAY	A	F	A	F	A	F	A	F	A								
1	327	1.04	002	0.86	001	1.27	330	0.84	1	001	0.96	013	1.00	346	0.93	034	0.76
2	352	1.02	003	0.84	001	1.24	355	0.82	2	024	0.92	013	1.01	342	0.91	057	0.75
3	015	0.99	003	0.85	001	1.21	020	0.80	3	046	0.97	013	1.01	341	0.90	081	0.74
4	039	0.97	004	0.85	000	1.18	044	0.78	4	068	0.90	014	1.02	339	0.89	104	0.73
5	062	0.94	004	0.85	359	1.15	068	0.76	5	090	0.89	014	1.03	338	0.90	127	0.72
6	085	0.92	005	0.85	359	1.12	092	0.75	6	112	0.89	014	1.04	337	0.91	150	0.72
7	107	0.91	005	0.86	358	1.10	115	0.73	7	134	0.89	014	1.04	337	0.92	172	0.72
8	129	0.89	006	0.86	357	1.09	138	0.72	8	155	0.90	014	1.05	336	0.94	195	0.73
9	151	0.89	006	0.86	356	1.08	161	0.72	9	177	0.93	014	1.06	336	0.97	217	0.75
10	172	0.89	007	0.87	355	1.09	183	0.72	10	199	0.96	014	1.06	336	0.99	241	0.78
11	194	0.91	007	0.87	356	1.10	206	0.73	11	223	1.01	014	1.07	336	1.01	265	0.82
12	216	0.93	008	0.88	353	1.12	229	0.76	12	247	1.06	014	1.08	336	1.03	290	0.83
13	238	0.97	008	0.88	352	1.15	253	0.78	13	272	1.11	014	1.08	336	1.06	316	0.91
14	260	1.01	009	0.89	352	1.16	277	0.82	14	298	1.17	013	1.09	336	1.05	343	0.95
15	286	1.06	009	0.89	358	1.21	302	0.86	15	325	1.21	013	1.10	336	1.04	311	0.98
16	311	1.10	009	0.90	351	1.26	328	0.89	16	352	1.26	013	1.10	335	1.02	060	1.01
17	337	1.14	010	0.90	350	1.26	355	0.93	17	020	1.26	013	1.11	335	1.00	068	1.03
18	004	1.18	010	0.91	350	1.28	023	0.96	18	048	1.27	013	1.12	334	0.96	097	1.03
19	031	1.21	010	0.91	350	1.29	051	0.98	19	076	1.26	013	1.12	333	0.92	126	1.03
20	058	1.22	011	0.92	350	1.29	079	0.99	20	104	1.24	013	1.13	331	0.88	155	1.01
21	085	1.23	011	0.93	350	1.28	107	1.00	21	131	1.21	013	1.13	330	0.83	183	0.98
22	113	1.22	011	0.93	350	1.27	135	0.99	22	158	1.17	013	1.14	328	0.78	211	0.95
23	140	1.20	012	0.94	350	1.26	164	0.98	23	186	1.12	012	1.14	326	0.76	238	0.91
24	166	1.18	012	0.95	350	1.21	191	0.95	24	209	1.07	012	1.15	326	0.70	264	0.87
25	193	1.14	012	0.95	350	1.17	219	0.93	25	233	1.02	012	1.15	321	0.67	289	0.83
26	218	1.11	012	0.96	350	1.16	245	0.90	26	257	0.98	012	1.16	318	0.66	314	0.80
27	244	1.07	013	0.97	349	1.09	271	0.87	27	279	0.95	012	1.16	315	0.63	337	0.77
28	268	1.03	013	0.97	349	1.05	297	0.84	28	302	0.93	011	1.17	312	0.63	001	0.76
29	292	1.00	013	0.98	348	1.02	322	0.81	29	324	0.91	011	1.17	310	0.63	026	0.76
30	315	0.97	013	0.99	347	0.98	346	0.79									
31	338	0.95	013	0.99	346	0.95	010	0.77									

## MARCH

	M2	S2	K1	O1		M2	S2	K1	O1								
DAY	A	F	A	F	A	F	A	F	A								
1	346	0.90	011	1.18	308	0.63	047	0.74	1	015	0.89	002	1.22	258	0.66	106	0.73
2	008	0.90	011	1.18	307	0.65	070	0.73	2	037	0.90	001	1.21	259	0.64	129	0.72
3	030	0.89	011	1.19	306	0.66	093	0.73	3	059	0.90	001	1.21	260	0.63	152	0.74
4	052	0.89	010	1.19	306	0.67	116	0.73	4	081	0.91	001	1.21	260	0.62	175	0.75
5	074	0.89	010	1.19	306	0.69	139	0.73	5	103	0.93	000	1.21	260	0.61	198	0.76
6	096	0.89	010	1.20	307	0.70	162	0.73	6	125	0.96	000	1.20	259	0.60	221	0.78
7	118	0.90	010	1.20	307	0.71	184	0.74	7	148	0.99	000	1.20	258	0.59	245	0.82
8	139	0.92	009	1.20	308	0.72	207	0.75	8	172	1.04	039	1.20	255	0.59	270	0.85
9	162	0.96	009	1.21	309	0.73	230	0.78	9	197	1.09	359	1.19	252	0.59	296	0.90
10	185	1.00	009	1.21	309	0.73	254	0.82	10	222	1.14	359	1.19	248	0.59	322	0.94
11	209	1.05	008	1.21	309	0.72	279	0.86	11	249	1.19	358	1.19	246	0.61	350	0.98
12	234	1.11	008	1.21	308	0.71	305	0.91	12	276	1.23	358	1.18	240	0.63	018	1.01
13	260	1.16	008	1.22	307	0.70	332	0.95	13	304	1.26	358	1.18	235	0.66	045	1.03
14	286	1.21	008	1.22	305	0.68	050	0.99	14	332	1.27	357	1.17	231	0.59	075	1.05
15	314	1.25	007	1.22	302	0.65	028	1.02	15	000	1.27	357	1.17	228	0.73	104	1.05
16	342	1.28	007	1.22	299	0.62	057	1.04	16	028	1.26	357	1.16	225	0.77	133	1.04
17	010	1.29	007	1.22	296	0.60	086	1.05	17	055	1.23	357	1.16	222	0.81	162	1.02
18	033	1.28	006	1.22	288	0.57	115	1.05	18	082	1.20	356	1.15	221	0.84	190	0.98
19	066	1.27	006	1.22	283	0.56	144	1.04	19	109	1.15	356	1.15	220	0.86	218	0.94
20	094	1.23	006	1.23	276	0.54	173	1.01	20	135	1.09	354	1.14	219	0.88	244	0.90
21	121	1.19	005	1.23	271	0.54	201	0.97	21	160	1.04	355	1.14	219	0.89	270	0.86
22	147	1.14	005	1.23	265	0.55	229	0.93	22	183	0.99	355	1.13	219	0.89	293	0.91
23	173	1.08	005	1.23	261	0.56	255	0.89	23	206	0.94	355	1.12	219	0.89	319	0.93
24	197	1.03	004	1.23	258	0.57	281	0.94	24	228	0.91	354	1.12	220	0.85	342	0.75
25	221	0.98	004	1.22	256	0.58	305	0.80	25	250	0.89	354	1.11	221	0.87	004	0.74
26	243	0.94	004	1.22	255	0.60	329	0.77	26	271	0.89	354	1.11	222	0.86	027	0.73
27	266	0.91	003	1.22	256	0.61	352	0.75	27	293	0.89	354	1.10	222	0.84	050	0.73
28	287	0.90	003	1.22	255	0.62	014	0.76	28	315	0.89	353	1.09	223	0.83	072	0.74
29	309	0.89	003	1.22	255	0.63	037	0.73	29	337	0.90	353	1.09	222	0.81	096	0.74
30	331	0.89	002	1.22	256	0.64	060	0.73	30	359	0.91	353	1.08	222	0.80	119	0.75
31	353	0.89	002	1.22	257	0.64	083	0.73									

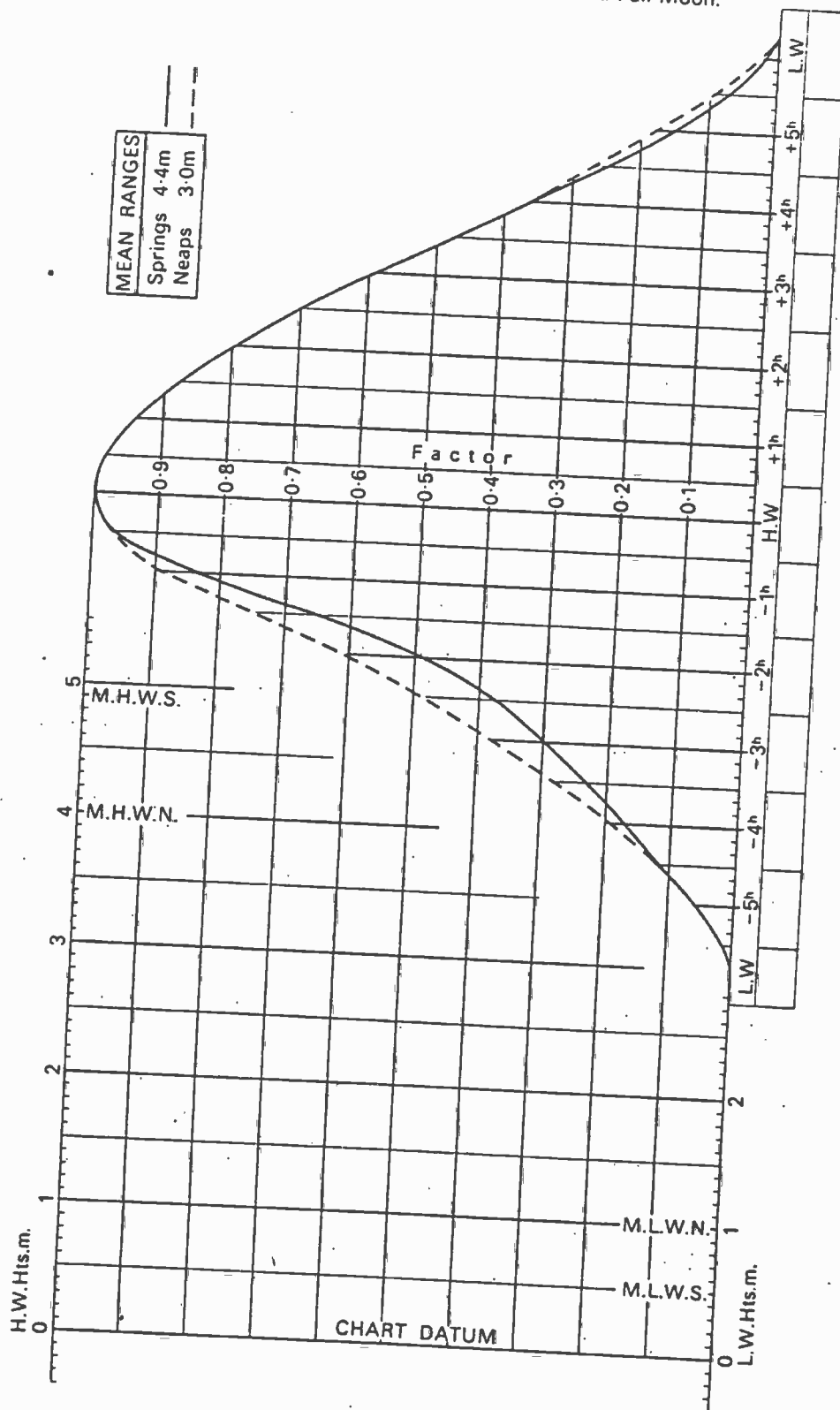
TABLE VII

## TIDE ANGLES AND FACTORS

1980

SEPTEMBER										OCTOBER									
	M2		S2		K1		O1			M2		S2		K1		O1			
DAY	A	F	A	F	A	F	A	F	DAY	A	F	A	F	A	F	A	F		
1	157	1.18	.006	1.11	135	0.88	.037	0.99	1	174	1.11	356	1.22	.085	0.66	.083	0.96		
2	183	1.16	.006	1.12	135	0.85	.065	0.96	2	199	1.05	355	1.22	.084	0.63	.109	0.89		
3	209	1.09	.006	1.12	134	0.81	.091	0.92	3	223	1.00	355	1.22	.082	0.59	.134	0.85		
4	234	1.05	.005	1.13	134	0.78	.117	0.88	4	246	0.96	355	1.22	.079	0.56	.158	0.82		
5	258	1.01	.005	1.14	134	0.74	.142	0.85	5	268	0.93	354	1.22	.076	0.54	.182	0.79		
6	281	0.97	.005	1.14	134	0.70	.167	0.82	6	290	0.91	354	1.22	.073	0.52	.205	0.77		
7	304	0.95	.004	1.15	133	0.66	.190	0.80	7	312	0.90	354	1.22	.070	0.51	.228	0.76		
8	327	0.93	.004	1.15	132	0.63	.214	0.78	8	334	0.89	353	1.22	.066	0.50	.250	0.76		
9	349	0.91	.004	1.16	130	0.59	.237	0.77	9	356	0.89	353	1.22	.063	0.51	.273	0.75		
10	011	0.90	.003	1.16	128	0.56	.260	0.76	10	018	0.89	353	1.22	.059	0.52	.297	0.75		
11	034	0.90	.003	1.17	126	0.54	.284	0.76	11	040	0.89	352	1.22	.057	0.53	.320	0.75		
12	056	0.89	.003	1.17	123	0.52	.307	0.75	12	062	0.89	352	1.21	.054	0.55	.343	0.75		
13	078	0.88	.002	1.18	120	0.51	.330	0.75	13	084	0.89	352	1.21	.053	0.58	.005	0.76		
14	100	0.88	.002	1.18	117	0.51	.353	0.75	14	104	0.91	351	1.21	.052	0.63	.028	0.77		
15	121	0.89	.001	1.18	114	0.52	.015	0.75	15	128	0.93	351	1.21	.051	0.65	.051	0.79		
16	143	0.90	.001	1.19	111	0.53	.038	0.76	16	150	0.96	351	1.21	.051	0.69	.074	0.82		
17	165	0.93	.001	1.19	108	0.55	.061	0.79	17	173	1.01	350	1.20	.051	0.72	.099	0.86		
18	187	0.97	.000	1.19	106	0.58	.084	0.82	18	197	1.06	350	1.20	.051	0.76	.124	0.90		
19	210	1.02	.000	1.20	104	0.61	.108	0.86	19	223	1.11	350	1.20	.051	0.80	.150	0.95		
20	235	1.07	.000	1.20	102	0.64	.134	0.91	20	249	1.16	350	1.19	.051	0.84	.177	0.99		
21	260	1.13	.359	1.20	101	0.68	.160	0.95	21	276	1.21	.349	1.19	.050	0.87	.205	1.03		
22	287	1.18	.359	1.21	099	0.71	.188	1.00	22	303	1.25	.349	1.19	.050	0.90	.233	1.06		
23	314	1.22	.359	1.21	097	0.73	.216	1.03	23	331	1.27	.349	1.18	.049	0.91	.262	1.08		
24	341	1.25	.358	1.21	096	0.75	.244	1.06	24	359	1.28	.348	1.18	.048	0.93	.291	1.09		
25	009	1.27	.358	1.21	094	0.76	.273	1.08	25	027	1.27	.348	1.18	.047	0.93	.320	1.08		
26	037	1.28	.358	1.21	093	0.76	.302	1.08	26	055	1.25	.348	1.17	.046	0.92	.349	1.07		
27	056	1.27	.357	1.22	092	0.75	.331	1.07	27	083	1.22	.348	1.17	.044	0.91	.018	1.06		
28	093	1.24	.357	1.22	090	0.74	.000	1.05	28	110	1.17	.367	1.16	.043	0.90	.066	1.00		
29	121	1.20	.356	1.22	089	0.72	.028	1.02	29	136	1.12	.367	1.16	.041	0.87	.073	0.96		
30	148	1.16	.356	1.22	087	0.69	.056	0.98	30	162	1.07	.367	1.15	.039	0.85	.100	0.91		
									31	186	1.01	.367	1.15	.037	0.83	.125	0.86		
NOVEMBER										DECEMBER									
	M2		S2		K1		O1			M2		S2		K1		O1			
DAY	A	F	A	F	A	F	A	F	DAY	A	F	A	F	A	F	A	F		
1	209	0.96	.367	1.14	.035	0.81	149	0.82	1	216	0.90	.347	0.94	.013	1.06	.185	0.78		
2	232	0.93	.366	1.14	.033	0.80	173	0.79	2	237	0.89	.347	0.93	.012	1.06	.205	0.76		
3	253	0.90	.366	1.13	.031	0.79	195	0.77	3	259	0.88	.347	0.92	.011	1.06	.230	0.76		
4	275	0.89	.366	1.12	.029	0.79	218	0.76	4	280	0.88	.347	0.92	.010	1.07	.253	0.76		
5	297	0.88	.366	1.12	.027	0.79	241	0.75	5	302	0.89	.348	0.91	.009	1.08	.276	0.77		
6	318	0.88	.366	1.11	.025	0.81	263	0.75	6	325	0.90	.348	0.90	.008	1.10	.299	0.79		
7	340	0.89	.366	1.11	.024	0.83	286	0.76	7	347	0.92	.348	0.90	.008	1.13	.322	0.79		
8	003	0.89	.366	1.10	.023	0.85	309	0.76	8	010	0.93	.349	0.89	.007	1.16	.366	0.80		
9	025	0.90	.365	1.09	.022	0.88	333	0.77	9	033	0.95	.349	0.89	.007	1.19	.010	0.82		
10	047	0.91	.365	1.09	.022	0.91	356	0.78	10	056	0.97	.349	0.88	.007	1.22	.034	0.83		
11	069	0.92	.365	1.08	.022	0.95	019	0.79	11	079	0.99	.350	0.88	.007	1.26	.058	0.85		
12	092	0.96	.365	1.07	.022	0.98	042	0.80	12	103	1.02	.350	0.87	.007	1.29	.083	0.88		
13	114	0.97	.365	1.07	.022	1.02	066	0.83	13	127	1.06	.351	0.87	.007	1.31	.108	0.91		
14	138	1.00	.365	1.06	.022	1.05	090	0.86	14	152	1.09	.351	0.86	.007	1.34	.134	0.94		
15	162	1.05	.365	1.05	.023	1.09	115	0.90	15	178	1.12	.352	0.86	.008	1.36	.161	0.97		
16	187	1.09	.365	1.05	.023	1.12	141	0.94	16	204	1.15	.352	0.85	.008	1.38	.188	0.99		
17	212	1.14	.365	1.06	.023	1.15	168	0.97	17	231	1.18	.353	0.85	.008	1.39	.215	1.01		
18	239	1.18	.365	1.03	.024	1.18	195	1.01	18	257	1.20	.353	0.84	.008	1.40	.243	1.03		
19	266	1.22	.365	1.02	.024	1.20	223	1.04	19	285	1.21	.354	0.84	.008	1.40	.271	1.04		
20	293	1.24	.365	1.02	.024	1.22	252	1.06	20	312	1.20	.354	0.84	.008	1.39	.300	1.04		
21	321	1.25	.365	1.01	.023	1.23	281	1.07	21	339	1.19	.355	0.84	.008	1.38	.328	1.03		
22	349	1.25	.365	1.00	.023	1.23	309	1.07	22	366	1.17	.355	0.83	.007	1.36	.355	1.01		
23	017	1.26	.365	0.99	.022	1.22	338	1.06	23	392	1.16	.356	0.83	.007	1.33	.023	0.98		
24	044	1.21	.365	0.99	.021	1.21	007	1.03	24	058	1.10	.357	0.83	.006	1.30	.050	0.95		
25	071	1.17	.365	0.98	.020	1.19	034	1.00	25	083	1.06	.357	0.83	.005	1.27	.076	0.91		
26	097	1.12	.366	0.97	.019	1.17	062	0.96	26	108	1.01	.358	0.83	.006	1.23	.102	0.87		
27	123	1.07	.366	0.97	.018	1.16	088	0.92	27	132	0.97	.358	0.83	.003	1.20	.126	0.84		
28	147	1.02	.366	0.96	.016	1.12	114	0.87	28	155	0.94	.359	0.83	.003	1.18	.150	0.81		
29	171	0.97	.366	0.95	.015	1.10	138	0.83	29	177	0.91	.360	0.82	.002	1.15	.173	0.78		
30	194	0.93	.366	0.96	.014	1.08	162	0.80	30	199	0.89	.360	0.83	.001	1.14	.196	0.77		
									31	220	0.88	.361	0.83	.000	1.13	.219	0.76		

VLISSINGEN (FLUSHING)  
MEAN SPRING AND NEAP CURVES  
Springs occurs 2 days after New and Full Moon.



IJMUIDEN-BUITENHAVEN

Wurstanden in dm t.o.v. LLWS

Tijden in MET

JUNI 1986

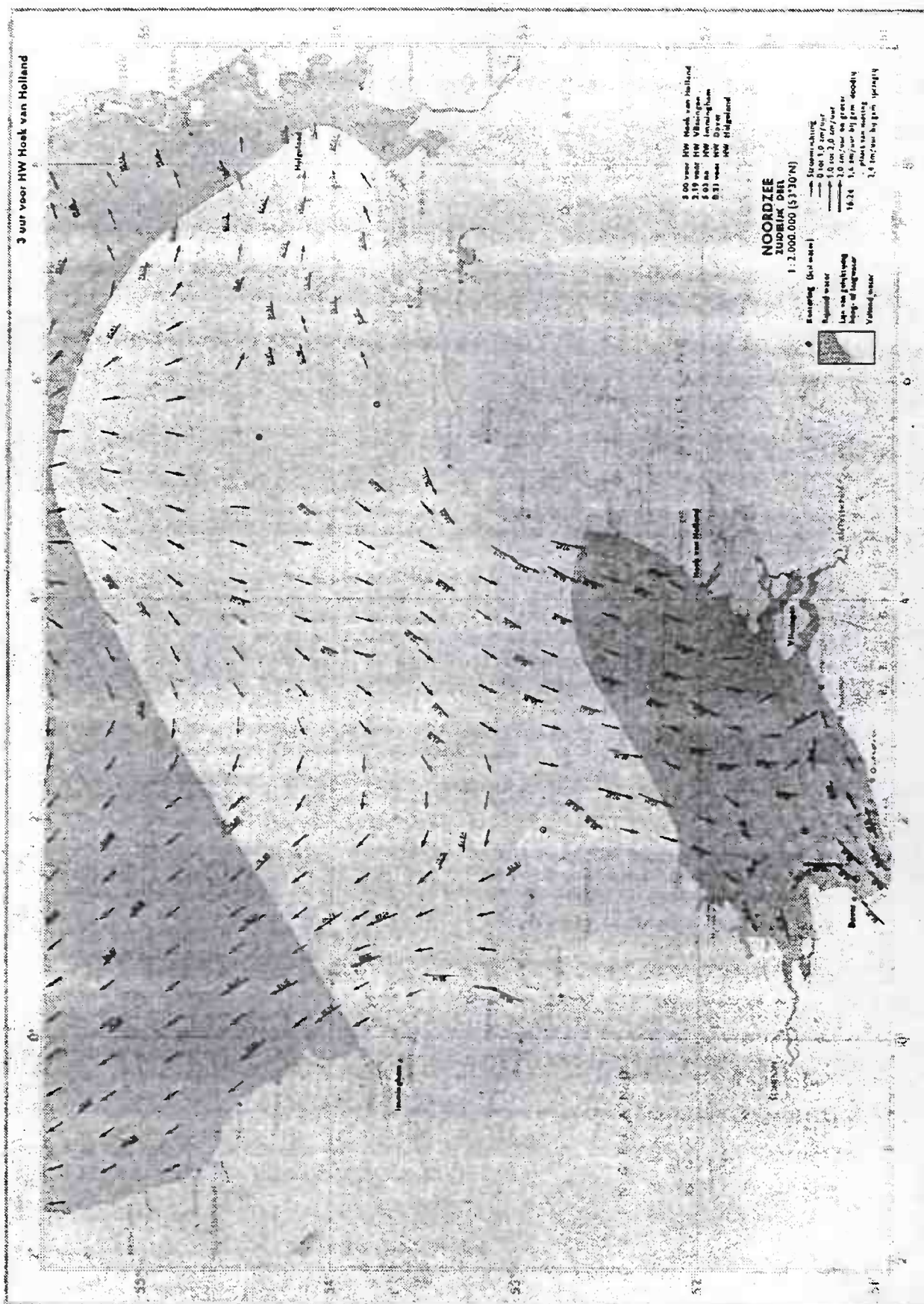
Dag	Uur																							
	00	01	02	03	04	05	06	07	08	09	10	11	12	13	14	15	16	17	18	19	20	21	22	23
01	13	10	8	7	6	4	2	3	6	12	17	20	19	17	15	13	10	8	6	4	4	7	11	15
02	16	13	11	9	8	7	4	2	3	6	11	17	19	19	17	15	13	10	8	5	4	4	7	11
03	16	17	14	12	9	8	7	5	2	2	5	11	17	20	19	17	15	12	10	8	5	3	4	6
04	11	17	17	15	12	10	9	7	5	3	3	5	11	17	20	19	16	14	11	10	7	4	3	4
05	7	13	19	18	15	12	10	9	7	4	3	3	6	12	19	20	18	15	12	10	8	6	4	3
06	5	9	16	19	17	15	12	10	9	6	4	4	4	7	14	20	19	17	14	11	10	7	5	4
07	4	6	12	19	19	17	14	12	10	8	6	4	4	5	10	17	20	18	15	12	10	8	6	4
08	3	4	8	15	20	19	16	14	12	10	7	5	4	5	7	12	19	19	17	14	11	10	7	4
09	3	3	5	11	19	20	18	16	13	12	9	6	4	4	5	9	15	19	18	15	12	10	8	6
10	4	3	4	8	15	20	19	17	15	13	11	8	5	4	5	6	11	17	19	16	13	11	9	7
11	5	3	3	6	11	18	20	18	17	14	13	10	7	5	4	5	8	14	18	17	15	12	10	8
12	6	4	2	4	8	14	20	19	18	16	14	12	9	6	5	5	6	10	16	18	16	13	10	9
13	7	5	3	2	5	10	17	20	19	17	15	13	11	8	6	4	5	7	11	16	17	15	11	9
14	7	6	5	3	3	6	12	18	20	19	17	15	13	10	7	5	5	6	8	12	16	16	14	11
15	9	7	6	4	3	3	6	13	19	20	19	16	15	12	10	7	5	5	8	12	16	16	13	
16	11	8	7	6	5	3	3	7	13	18	20	19	17	15	12	10	7	5	5	5	7	12	16	16
17	14	11	8	7	6	5	3	3	6	11	17	21	20	17	15	12	10	7	5	4	5	7	11	16
18	17	14	11	9	8	7	5	3	3	5	10	17	21	20	17	14	12	10	7	5	4	4	6	11
19	17	18	15	12	9	8	7	5	3	3	5	10	17	21	20	17	14	12	10	7	5	4	4	6
20	11	18	19	16	12	10	9	8	5	3	3	5	10	17	21	19	16	14	12	10	7	5	4	4
21	6	12	20	20	16	13	10	10	8	5	4	3	5	9	17	21	19	16	13	11	10	7	4	4
22	5	7	14	21	20	17	14	11	11	9	5	4	3	5	8	17	20	18	15	12	11	10	7	4
23	3	5	8	16	22	20	17	14	12	12	9	5	4	4	5	9	18	19	17	13	11	10	9	6
24	3	3	5	9	19	22	20	18	15	13	12	9	5	4	4	4	10	18	19	16	14	10	10	9
25	5	2	3	5	11	20	22	20	18	15	14	12	9	5	4	4	5	12	19	18	14	10	9	9
26	6	4	2	3	6	13	21	22	20	18	16	14	12	8	5	5	5	6	14	19	17	13	10	8
27	8	6	3	1	3	6	15	21	22	20	17	16	14	11	8	5	5	8	15	18	16	12	9	
28	8	7	5	3	1	3	8	16	21	21	19	17	15	13	10	7	5	5	6	10	16	18	15	12
29	9	7	7	5	2	2	4	9	16	20	20	18	16	14	12	9	7	5	5	7	11	16	17	15
30	12	9	7	6	5	3	2	5	10	16	20	19	17	16	13	11	9	7	5	5	7	12	16	17

SINGAPORE STRAIT - BUFFALO ROCK

LAT 1°10'N LONG 103°48'E

TIDAL STREAM PREDICTIONS (RATES IN KNOTS)										YEAR 1978	
TIME ZONE -0730					POSITIVE (+) DIRECTION 065 NEGATIVE (-) DIRECTION 245						
APRIL MAY JUNE											
SLACK	MAXIMUM	TIME	TIME	RATE	SLACK	MAXIMUM	TIME	TIME	RATE	SLACK	MAXIMUM
TIME	TIME	RATE	TIME	TIME	TIME	TIME	TIME	TIME	RATE	TIME	TIME
1 0526 0958 0.8 SA 1405 1910 -1.0	16 0533 0950 0.7 SU 1406 1955 -0.8	1 0030 -0.6 R 0628 1043 0.9	16 0539 0929 0.5 TU 1303 1759 -0.7	1 0031 -0.1 TH 1408 1831 -0.9	16 0001 0.1 F 0211 0613 -0.3	1 0155 0610 -0.6 TH 1208 1208 -0.2	16 0211 0613 -0.3 F 0955 0955 -0.2	1 0031 0.1 TH 1408 1831 -0.9	16 0001 0.1 F 1652 1652 -0.8	1 0155 0610 -0.6 TH 1208 1208 -0.2	16 0001 0.1 F 0955 0955 -0.2
2 0658 1119 0.9 SU 1315 1942 -1.0	17 0652 1056 0.6 R 1648 1938 -0.8	2 0032 -0.6 TU 0802 1168 0.8	17 0031 -0.6 V 0719 1027 0.3	2 0108 0.6 F 1316 1806 -0.7	17 0108 0.6 SA 1316 1806 -0.7	2 0359 0738 -0.7 F 1386 0.0 SA 1137 -0.5	17 0402 0810 -0.5 SA 1844 0.9	2 0060 0.6 F 1722 -0.8	17 0402 0810 -0.5 SA 1844 0.9	2 0060 0.6 F 1722 -0.8	17 0402 0810 -0.5 SA 1844 0.9
3 0059 -0.6 R 0426 -0.7	18 0048 -0.5 0332 -0.6	3 0101 -0.7 TU 0815 1156 0.5	18 0045 -0.1 V 0936 1246 0.6	3 0143 0.8 F 1349 1937 -0.9	18 0117 0.7 SA 1353 -0.3 SU 1249 -0.5	3 0500 0246 -0.9 SA 1353 -0.3 SU 1249 -0.5	18 0501 0907 -0.7 F 1857 -0.9	2 2226 2148	18 0501 0907 -0.7 F 1857 -0.9	2 2226 2148	18 0501 0907 -0.7 F 1857 -0.9
4 0122 -0.6 TU 0937 1320 -1.0	19 0107 -0.3 W 0937 1242 0.6	4 0014 0132 0.1 V 1106 1337 0.5	19 0110 0.2 F 1226 1952 -0.9	4 0215 1.0 SU 1226 1952 -0.9	19 0153 1.0 F 1347 -0.5	4 0555 0947 -1.0 SU 1427 -0.5	19 0568 0952 -0.8 F 1341 -0.6	2 2234 2201	19 0568 0952 -0.8 F 1341 -0.6	2 2234 2201	19 0568 0952 -0.8 F 1341 -0.6
5 0150 -0.2 W 1043 1405 0.9	20 0130 -0.1 0657 -0.6	5 0202 0.4 F 1260 1619 0.2	20 0137 0.5 SA 1314 -0.3	5 0246 0230 1.2 F 1440 -0.7	20 0230 0.5 TU 1443 -1.0	5 0644 0644 1.2 F 1640 -0.7	20 0635 1037 -0.9 TU 1415 -0.7	2 2238 2230	20 0635 1037 -0.9 TU 1415 -0.7	2 2238 2230	20 0635 1037 -0.9 TU 1415 -0.7
6 0201 0217 0.0 TH 0232 0800 -1.1	21 0006 0153 0.2 0341 0756 -0.7	6 0230 -0.7 R 0528 0918 -1.0	21 0206 0.8 F 0534 0923 -0.9	6 0315 1.3 F 0730 1146 -0.9	21 0206 0.8 F 0730 1146 -0.9	6 0315 1.3 F 0730 1146 -0.9	21 0206 0.8 F 0730 1146 -0.9	2 2311 2304	21 0206 0.8 F 0730 1146 -0.9	2 2311 2304	21 0206 0.8 F 0730 1146 -0.9
7 0056 0243 0.2 F 0428 0850 -1.1	22 0215 0.6 0452 0846 -0.8	7 0257 0.9 0623 1012 -1.0	22 0233 7.0 V 0628 1013 -0.9	7 0345 1.3 F 0816 1930 -1.3	22 0345 1.3 F 0817 1238 -0.9	7 0345 1.3 F 0817 1238 -0.9	22 0345 1.3 F 0817 1238 -0.9	2 2328 2344	22 0345 1.3 F 0817 1238 -0.9	2 2328 2344	22 0345 1.3 F 0817 1238 -0.9
8 0035 0308 0.5 0536 0940 -1.1	23 0239 0.7 0547 0936 -0.8	8 0324 1.1 0713 1109 -0.9	23 0307 1.1 V 0718 1112 -0.9	8 0009 0417 1.1 F 0902 1952 -1.3	23 0009 0417 1.1 F 0912 1409 -0.9	8 0009 0417 1.1 F 0912 1409 -0.9	23 0009 0417 1.1 F 0912 1409 -0.9	2 2337 2312	23 0009 0417 1.1 F 0912 1409 -0.9	2 2337 2312	23 0009 0417 1.1 F 0912 1409 -0.9
9 0029 0336 0.7 SU 0637 1033 -1.0	24 0307 0.8 0640 1028 -0.8	9 0354 1.1 R 0805 1226 -0.8	24 0348 1.2 F 0805 1231 -0.9	9 0044 0452 1.2 F 0944 2021 -1.3	24 0044 0452 1.2 F 1007 1522 -0.9	9 0044 0452 1.2 F 1007 1522 -0.9	24 0044 0452 1.2 F 1007 1522 -0.9	2 2339 2343	24 0044 0452 1.2 F 1007 1522 -0.9	2 2339 2343	24 0044 0452 1.2 F 1007 1522 -0.9
10 0036 0407 0.8 0737 1135 -0.2	25 0343 0.9 0737 1139 -0.8	10 0023 0428 1.1 V 0859 2010 -1.2	25 0026 0437 1.2 TH 0907 2017 -1.1	10 0126 0530 1.0 F 1023 2054 -1.2	25 0126 0530 1.0 F 1056 1543 -0.9	10 0126 0530 1.0 F 1056 1543 -0.9	25 0126 0530 1.0 F 1056 1543 -0.9	2 2343 2222	10 0126 0530 1.0 F 1056 1543 -0.9	2 2343 2222	10 0126 0530 1.0 F 1056 1543 -0.9
11 0057 0446 0.9 0842 1301 -0.7	26 0032 0430 1.0 0843 1331 -0.8	11 0100 0509 1.1 V 0955 2035 -1.2	26 0116 0536 1.2 F 1013 2040 -1.1	11 0206 0609 0.9 F 1050 2131 -1.0	26 0398 0728 1.0 SU 2057 -0.9	11 0206 0609 0.9 F 1136 1601 -0.9	26 0398 0728 1.0 F 2057 -0.6	2 2359 2359	11 0206 0609 0.9 F 1136 1601 -0.9	2 2359 2359	11 0206 0609 0.9 F 1136 1601 -0.9
12 0132 0530 0.9 0951 2113 -1.0	27 0118 0530 1.0 0959 2039 -1.0	12 0145 0557 1.0 TH 1049 2107 -1.1	27 0213 0644 1.1 F 1116 1647 -1.0	12 0251 0648 0.8 F 1106 2213 -0.8	27 0251 0648 0.8 F 1106 2213 -0.8	12 0251 0648 0.8 F 1106 2213 -0.8	27 0251 0648 0.8 F 1106 2213 -0.8	2 2361 2357	12 0251 0648 0.8 F 1106 2213 -0.8	2 2361 2357	12 0251 0648 0.8 F 1106 2213 -0.8
13 0218 0626 0.9 TH 1103 2139 -1.0	28 0218 0646 1.0 F 1118 1736 -1.0	13 0235 0649 0.9 SA 1137 2142 -1.0	28 0322 0752 1.1 F 1215 1704 -1.0	13 0341 0726 0.6 F 1114 1605 -0.7	28 0341 0726 0.6 F 1114 1605 -0.7	13 0341 0726 0.6 F 1114 1605 -0.7	28 0341 0726 0.6 F 1114 1605 -0.7	2 2367 2357	28 0341 0726 0.6 F 1114 1605 -0.7	2 2367 2357	28 0341 0726 0.6 F 1114 1605 -0.7
14 0316 0731 0.8 F 1212 2212 -1.0	29 0332 0809 0.9 SA 1232 1752 -1.0	14 0330 0742 0.8 SU 1274 2210 -0.9	29 0439 0859 0.9 F 1257 1726 -1.0	14 0444 0805 0.3 F 1110 1609 -0.7	29 0444 0805 0.3 V 2318 -0.3	14 0444 0805 0.3 V 2318 -0.3	29 0444 0805 0.3 V 2318 -0.3	2 2374 2357	29 0444 0805 0.3 V 2318 -0.3	2 2374 2357	29 0444 0805 0.3 V 2318 -0.3
15 0421 0860 0.7 SA 1314 2234 -0.9	30 0457 0930 0.9 SU 1336 1821 -1.0	15 0429 0835 0.7 R 1243 1811 -0.7	30 0200 -0.6 F 1002 0.8	15 0229 -0.2 F 0650 0849 0.1	30 0229 -0.2 F 1034 1626 -0.8	15 0229 -0.2 F 1034 1626 -0.8	30 0229 -0.2 F 1034 1626 -0.8	2 2381 2357	30 0229 -0.2 F 1034 1626 -0.8	2 2381 2357	30 0229 -0.2 F 1034 1626 -0.8
31 0619' -0.5 W 0755 1104 0.5											

CURRENT, 0.3 KN IN DIRECTION 245 INCLUDED.



Tidal Streams referred to HW at DOVER

Hours	50°42'34" 0 28 SE				50°53'0N 1 00 OE				51°01'0N 1 10 OE				51°09'7N 1 77 SE				51°03'0N 1 40 OE				
	Dir	Rate(kn)	Sp	Np	Dir	Rate(kn)	Sp	Np	Dir	Rate(kn)	Sp	Np	Dir	Rate(kn)	Sp	Np	Dir	Rate(kn)	Sp	Np	
Before HW	6	248	0.6 0.4	211	1.6 0.9	224	0.9 0.5	212	2.2 1.2	220	1.7 0.9										
	5	067	0.5 0.3	211	2.1 1.2	239	1.0 0.6	213	2.2 1.2	220	2.8 1.6										
	4	068	1.1 1.0	211	1.8 1.1	235	1.1 0.6	216	1.9 1.1	220	3.5 2.0										
	3	068	2.6 1.5	211	0.9 0.5	212	0.6 0.4	228	1.3 0.6	220	2.8 1.6										
	2	068	2.3 1.3	S / a c k	S / a c k	S / a c k	S / a c k	S / a c k	S / a c k	S / a c k	S / a c k										
	1	068	1.2 0.6	031	0.9 0.5	052	0.6 0.3	032	1.2 0.7	040	0.8 0.4										
	HW																				
	1	248	0.1 0.1	031	1.5 0.8	049	1.2 0.7	038	2.0 1.2	040	2.5 1.4										
	2	247	1.4 0.8	031	1.7 1.0	056	1.0 0.5	034	2.2 1.2	040	3.4 1.9										
	3	248	1.8 1.0	031	1.2 0.6	054	0.5 0.3	031	1.5 0.6	040	2.9 1.6										
After HW	4	248	1.7 1.0	031	0.4 0.2	S / a c k	S / a c k	S / a c k	S / a c k	S / a c k	S / a c k										
	5	248	1.6 0.9	211	0.4 0.2	219	0.4 0.2	203	1.0 0.6	220	0.2 0.1										
	6	249	1.2 0.7	211	1.3 0.7	217	0.8 0.4	210	1.8 1.0	220	1.3 0.7										
Hours	50°58'6M 1 26 SE				50°53'5N 1 31 SE				50°42'0N 1 25 OE				50°37'6N 1 13 OE				50°43'4N 0 58 OE				
	Dir	Rate(kn)	Sp	Np	Dir	Rate(kn)	Sp	Np	Dir	Rate(kn)	Sp	Np	Dir	Rate(kn)	Sp	Np	Dir	Rate(kn)	Sp	Np	
Before HW	6	206	1.7 1.0	214	2.5 1.4	201	1.5 0.8	214	1.5 0.8	228	1.6 0.9										
	5	204	2.5 1.4	203	3.3 1.9	200	2.0 1.1	213	1.5 0.8	228	1.4 0.8										
	4	208	2.7 1.5	208	3.2 1.8	154	2.1 1.2	203	1.0 0.6	218	0.9 0.6										
	3	209	2.1 1.2	205	2.1 1.2	174	1.2 0.7	152	0.2 0.1	096	0.4 0.2										
	2	221	0.9 0.5	183	0.4 0.1	076	0.5 0.3	040	0.6 0.4	044	1.2 0.6										
	1	017	0.7 0.4	029	1.6 0.9	019	1.0 0.6	032	1.0 0.5	053	1.3 0.8										
	HW	026	2.0 1.1	028	3.2 1.8	007	1.7 1.0	020	1.4 0.8	052	1.3 0.7										
	1	028	2.6 1.5	025	3.6 2.0	011	2.0 1.1	022	1.4 0.8	047	1.1 0.6										
	2	030	2.4 1.4	028	2.5 1.4	014	1.8 0.9	026	0.8 0.5	028	0.6 0.4										
	3	033	1.7 0.9	027	1.8 1.1	012	0.8 0.4	335	0.2 0.1	S / a c k	S / a c k										
After HW	4	028	0.6 0.3	030	0.7 0.4	337	0.1 0.0	236	0.3 0.1	256	0.4 0.2										
	5	214	0.4 0.2	205	0.6 0.3	204	0.6 0.3	209	0.9 0.5	238	1.0 0.5										
	6	209	1.4 0.8	213	1.9 1.1	200	1.2 0.7	213	1.4 0.8	225	1.5 0.9										
Hours	50°30'ON 0 28 OE				50°25'ON 1 02 OE				50°25'ON 1 24 OE				50°13'0N 0 30 OE								
	Dir	Rate(kn)	Sp	Np	Dir	Rate(kn)	Sp	Np	Dir	Rate(kn)	Sp	Np	Dir	Rate(kn)	Sp	Np	Dir	Rate(kn)	Sp	Np	
Before HW	6	249	1.1 0.8	217	1.3 0.7	203	1.7 1.0	249	1.0 0.6												
	5	206	0.2 0.1	197	1.0 0.6	197	1.6 0.9	202	0.3 0.2												
	4	077	1.1 0.6	149	0.7 0.4	187	0.7 0.4	081	1.2 0.7												
	3	080	1.9 1.1	027	1.0 0.6	042	0.6 0.3	072	2.0 1.2												
	2	082	2.1 1.2	057	1.2 0.7	032	1.4 0.8	073	2.3 1.3												
	1	074	1.5 0.8	048	1.2 0.7	022	1.6 0.9	074	1.5 0.8												
	HW	065	0.8 0.4	030	1.0 0.6	020	1.6 0.9	068	0.6 0.3												
	1	304	0.1 0.1	001	0.8 0.5	022	1.1 0.6	265	0.3 0.2												
	2	268	0.8 0.5	331	0.5 0.3	003	0.5 0.3	253	0.8 0.5												
	3	263	1.3 0.7	278	0.8 0.3	258	0.2 0.1	259	1.4 0.9												
After HW	4	254	1.5 0.8	247	0.9 0.5	213	0.7 0.4	253	1.7 1.0												
	5	261	1.6 0.9	235	1.2 0.7	209	1.2 0.7	256	1.7 1.0												
	6	256	1.4 0.8	224	1.3 0.7	206	1.7 0.9	256	1.3 0.7												

## TIDES AND TIDAL STREAMS

### Tides

1.83 The tide is predominantly semi-diurnal off the S coast of England and the NW coast of France; off the latter the tidal range is very large.

The mean Spring range is greatest, 11.9m, in Baie du Mont Saint-Michel ( $48^{\circ} 40' N$ ,  $1^{\circ} 35' W$ ), and least, 1.7m, at Swanage ( $50^{\circ} 37' N$ ,  $1^{\circ} 57' W$ ). See Chart 5058 (Co-tidal and Co-range lines).

Data for predicting tidal heights and times is contained in *Admiralty Tide Tables, Vol. I*.

Approximate tidal time differences between Dover and some of the standard ports situated within the area covered by this volume are as follows:—

Dover	Devonport	Portsmouth	
-0600	-0020	-0615	
-0500	+0040	-0515	
-0400	+0140	-0415	
-0300	+0240	-0315	
-0200	+0340	-0215	
-0100	+0440	-0115	
HW	+0540	-0015	
+0100	-0545	+0045	
+0200	-0445	+0145	
+0300	-0345	+0245	
+0400	-0245	+0345	
+0500	-0145	+0445	
+0600	-0045	+0545	
Dover	Brest	Saint Helier	Cherbourg
-0600	+0115	-0105	-0240
-0500	+0215	-0005	-0140
-0400	+0315	+0055	-0040
-0300	+0415	+0155	+0020
-0200	+0515	+0255	+0120
-0100	+0615	+0355	+0220
HW	-0510	+0455	+0320
+0100	-0410	+0555	+0420
+0200	-0310	-0530	+0520
+0300	-0210	-0430	-0605
+0400	-0110	-0330	-0505
+0500	-0010	-0230	-0405
+0600	+0050	-0130	-0305

Meteorological conditions which differ from the average will cause differences between the predicted and actual tide.

Variations in tidal heights are mainly caused by strong or prolonged winds, and by unusually high or low barometric pressure, causing positive or negative surges which raise or lower sea level.

Differences between predicted and actual times of high and low waters are caused mainly by wind. Tidal streams and currents are also markedly affected.

Seiches, which are short-period oscillations in sea level, may be caused by abrupt changes in meteorological conditions, such as the passage of an intense depression. Small seiches are not uncommon round the coasts of the British Isles, especially in winter months.

Fuller information is given in *Admiralty Tide Tables* and in *The Mariner's Handbook*.

### Tidal streams

1.84 The following brief general account is intended only to describe the principal features of the tidal streams in the W approach and fairway of the English Channel.

Data for predicting should be obtained from the tidal stream tables on the relevant charts and/or from the following *Atlases of Tidal Streams*:—

- (i) *The English and Bristol Channels*.
- (ii) *Approaches to Portland*.
- (iii) *The Solent and Adjacent Waters*.
- (iv) *The Channel Islands and Adjacent Coasts of France*.

Where time references are given in the tidal stream information throughout this volume, they are always given in four-figure groups, in which the first two figures are hours and the last two are minutes; these references are given to the nearest five minutes.

References preceded by a minus (−) sign are intervals before HW; those preceded by a plus (+) sign are intervals after HW.

1.85 West approaches to English Channel. Over the Continental Shelf extending W and SW from the Brittany coast there are almost certainly streams, probably rotatory and barely perceptible near the edge of the shelf, but increasing in velocity and becoming more and more nearly rectilinear as the land is approached. Information regarding the streams over the shelf S of  $48^{\circ} 30' N$  is lacking.

In the W approach to the English Channel, the streams are more or less rotatory clockwise. Variations in direction and rate at different positions are not great; taking averages over the whole area, the streams run as follows:—

Approx Interval from HW Dover	Direction	Sp. Rate Knots	Stream
+0400/+0500	NE/ENE	1	Strongest inwards
-0500	SE	¾	Weakest inwards
-0100	WSW	1	Strongest outwards
+0100/+0200	WNW/NW	¾	Weakest outwards

Near the W limit of the W approach, the greatest and least rates are attained rather earlier, and the rates are rather less, than the averages; near the E limit, the greatest and least rates are attained rather later, and the rates are considerably greater, than the averages.

1.86 Fairway of English Channel. As the English Channel is entered, and the fairway narrows, the rotatory streams of the approach become gradually more and more nearly rectilinear.

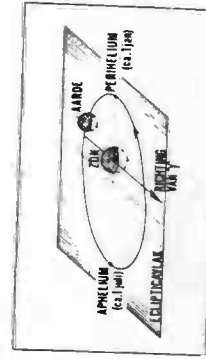
The rates of the streams in the fairway vary with the width, and are greatest in the narrowest parts. In the middle of the fairway, between Bill of Portland/Saint Catherine's Point on the English coast, and Cap de la Hague/Pointe de Barfleur on the French coast, Spring rates up to about  $3\frac{1}{2}$  knots occur; in the widest parts Spring rates of from 2 to  $2\frac{1}{2}$  knots are seldom exceeded.

#### 4.1 Inleiding.

Ter verklaring van de getijbeweging zijn in het verleden een aantal theorieën ontwikkeld. We noemen de 'evenwichtstheorie van Newton' en de 'dynamische theorie van Laplace'. Geen van deze theorieën geeft een volledige verklaring van de getijden, die we waarnemen. Zeer is echter, dat de getijden veroorzaakt worden door de aantrekende krachten van zon, maan en overige planeten op de rotende aarde. Daarbij is de invloed van de planeten te verwaarlozen. Tevens spelen vormen alsmaatstingen van de oceaan en de zeeën een belangrijke rol.

In dit hoofdstuk zullen we nader ingaan op de evenwichtstheorie van Newton en enige aspecten van de dynamische theorie behandelen. De beschouwingen dienen om het nodige begrip te verwerven, ten einde een zo volledig mogelijk gebruik te kunnen maken van de beschikbare getijgegevens. De methoden daarvoor zullen verderop in dit hoofdstuk ontwikkeld worden. Eerst moeten we ons schier bezighouden met enige astronomische verkenningen.

sterren twee opeenvolgende maalen te passeren, heet het *tijdrach jaar*. Dit is dus de werkelijke omlooptijd van de aarde om de zon. Het siderisch jaar duurt 365.2564 middeltijdse zonnedagen.



Figuur 4.1

Voor onze doelindelen is het handig om de schijnbare beweging van de zon om de aarde te staan. Zie figuur 4.2.

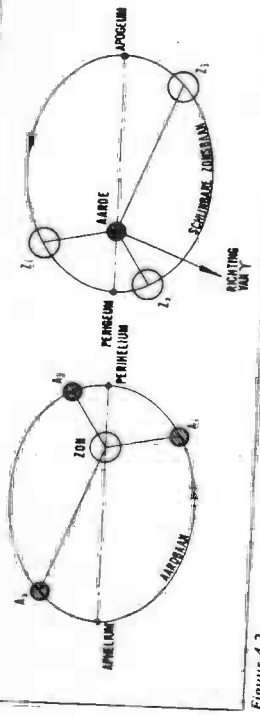
Staat de aarde op zeer moment in  $A_1$ , dan wordt de zon vanuit de aarde gezien in de richting van  $Z_{11}$ , staat de aarde in  $A_2$ , dan ziekt men de zon in de richting van  $Z_{22}$ , enzovoort.

Het zal duidelijk zijn dat de relatieve baan van de zon ten opzichte van de aarde conguent is met de aardbaan. Het punt waar de zon het dichtst bij de aarde staat heet nu het *perigeum* en het punt waar de zon het verstu van de aarde is verwijsd heet het *apogeeum*. De schijnbare rotatierrichting van de zon om de aarde is uiteraard gelijk aan de werkelijke rotatierrichting van de aarde om de zon.

**4.2 De bewegingen van zon en maan.**

**4.2.1 De baan van de aarde om de zon.**

In deel I hoofdstuk 7 hebben we gezien dat elke planeet, dus ook de aarde, een baan om de zon beschrijft en daarbij gehoorzaamt aan de wetten van Kepler. Dat betekent dus onder meer, dat de aarde in een ellipsbaan om de zon loopt, waarbij de zon in een van de brandpunten staat. Het punt van de baan, dat het dichtst bij de zon ligt heet *perihelium* en het punt van de baan met de grootste afstand tot de zon heet *aphelium*. Zie figuur 4.1. De tijd, die de aarde nodig heeft om, vanuit de zon gezien een vast punt tussen de

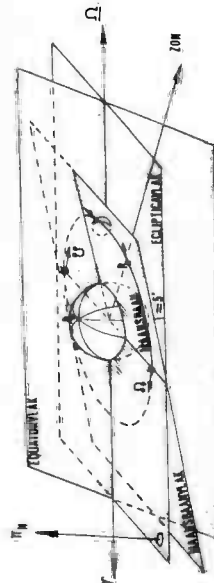


Figuur 4.2

punt is, maar per jaar de zon gemiddeld  $50^{\circ}2'$  te gedraai, komt, duurt het tropisch jaar iets korter dan het siderisch jaar nl. 365.2422 middeltijdbare zonnedagen. Tenslotte kennen we nog het *anomalistisch jaar*, dat is het interval tussen twee opeenvolgende doorgangen van de zon door het perigeum. Omdat ook het perigeum geen vast punt is ten opzichte van de sterren noch ten opzichte van het punt  $Y$ , wijkt de duur van het anomalistisch jaar van 365.2596 middeltidbare zonnedagen af van die van het siderisch en het tropisch jaar.

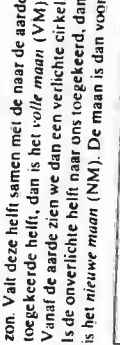
**4.2.3 De baan van de maan om de aarde.**

Evenals de planeten bij hun baan om de zon gehoorzaamt ook de maan bij haar beweging om dat het dichtst bij de aarde ligt noemt men het *perigeum van de maansbaan*, het verstu van de aarde punt het *apogeeum*. Zie figuur 4.3.



Figuur 4.3

**zon.** Valt deze helft samen met de naar de aarde toegekende helft, dan is het *volle maan* (VM). Vanaf de aarde zien we dan een verlichte cirkel. Is de onverlichte helft naar ons toegedekt, dan is het *nieuwe maan* (NM). De maan is dan voor



Figuur 4.4  
Schijnbare hoeksnelheid ten opzichte van een punt van de sfeer.

Men onderscheidt vijf omloopslijnen voor de maan.

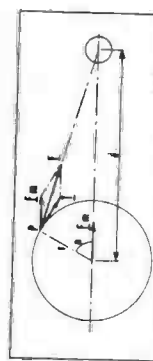
- De *siderische maand* is de tijd die de maan nodig heeft om twee opeenvolgende punten van de astronomische breedtecirkel van een vast punt van de aarde te passeren. Gemiddeld duurt deze maand 27,3217 dagen.
- De *tropische maand* is de tijd die verloopt tussen twee opeenvolgende doorgangen van de maan door de astronomische breedtecirkel van Y. Het is dus de tijd die de maan nodig heeft om 360° in astronomische lengte te veranderen. Gemiddelde duur 27,3216 dagen.
- De *anomalistische maand* is de tijd die verloopt tussen twee opeenvolgende doorgangen van de maan door het perigeum.
- De *draconitische maand* is de tijd die verloopt tussen twee opeenvolgende doorgangen van de maan door de klimmende knoop.
- De *synodische maand* is de tijd die verloopt waarop de maan tweemaal de astronomische lengte heeft als de zon. Omdat de lijn aarde-zon per dag ongeveer 1° draait in dezelfde richting als de maan rond de aarde, duurt deze maand het langst en wel gemiddeld 29,5316 dagen.

Hierna wordt de zichtbare maanschijf weer kleiner. Iedere nacht ontbreekt er een groter stuk van de westkant. Is alleen nog de oostkant van de maan overgebleven, dan is het *laatste kwartier* (LK). Na ruim een week is het weer NM. Deze wisselende vormen van het voor ons zichtbare gedeelte van de maanschijf noemt men de *schijngestalten* of fasen van de maan. De onderlinge posities van zon, maan en aarde bij vier belangrijke fasen van de maan blijken uit figuur 4.6.

### 4.3 De evenwichtstheorie.

#### 4.3.1 Getijkrachten.

In deel 1, hoofdstuk 4 is uiteengezet, dat we onder de getijverwerkende kracht in een punt P verstaan de kracht  $\mathbf{T} = \mathbf{F} - \mathbf{F}_m$ , waarin  $\mathbf{F}$  de kracht is waarmee een massadeel in P door het getijverwerkende hemellichaam wordt aange trokken en  $\mathbf{F}_m$  de kracht op een massadeel in het aardmiddepunt.

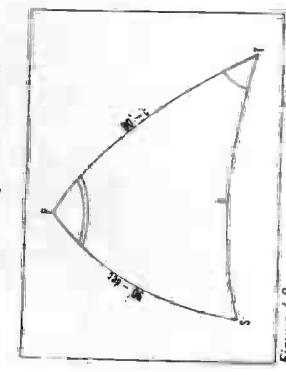


Figuur 4.7

In deel 1, hoofdstuk 4 is uiteengezet, dat we onder de getijverwerkende kracht in een punt P verstaan de kracht  $\mathbf{T} = \mathbf{F} - \mathbf{F}_m$ , waarin  $\mathbf{F}$  de kracht is waarmee een massadeel in P door het getijverwerkende hemellichaam wordt aange trokken en  $\mathbf{F}_m$  de kracht op een massadeel in het aardmiddepunt.

Hieraan blijkt, dat  $||\mathbf{T}_h||$  te splitsen is in een gedeelte dat verandert met  $\sin P$  en  $\cos P$ , het z.g. 'enkeldagse deel', een gedeelte dat verandert met  $\sin 2P$  en  $\cos 2P$  het z.g. 'dubbedagse deel', een gedeelte dat met de declinatie verandert, het 'langperiode deel'.

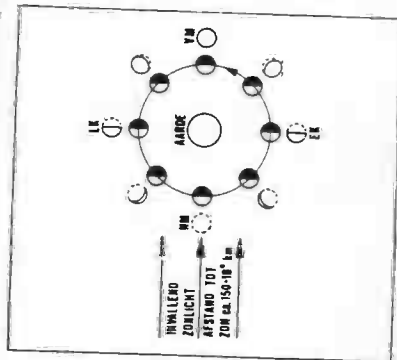
Tevens constateren we, dat voor plaatsen op de equator ( $b = 0$ ) het enkeldagse deel verdwijnt en dat, indien  $\sin 2P = 0$  voor alle plaatsen  $||\mathbf{T}_h||$  slechts een dubbedagse karakter heeft.



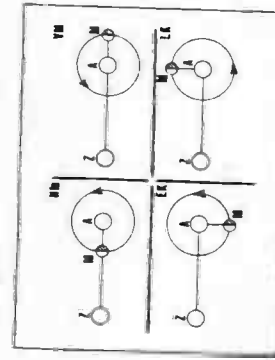
Figuur 4.8

#### 4.3.2 De getijhoogte.

De evenwichtstheorie, die door Newton werd opgesteld, gaat er, ter verklaring van de getijden, als gevolg van de getijkrachten, vanuit dat de aarde geheel met een overal evenredijke waterlaag is bedekt, en dat het wateroppervlak op elke



Figuur 4.5



Figuur 4.6

#### 4.3.4 Schijngestalten van de maan:

Van de maan wordt één helft verlicht door de

hemellichaam.

$r$  = de afstand van de massadecade tot het aardmiddepunt

$d$  = de afstand middelpunt aarde tot middelpunt getijverwerkend hemellichaam

$n$  = de topsafstand van het getijverwerkend hemellichaam.

moment loodrecht op de resultante van de zwaartekracht en de getijverwekkende krachten staat. Het wateroppervlak neemt daardoor een soort ellipsoïdale vorm aan met de lange as ge richt op het getijverwekkende hemellichaam. Zie figuur 4.9.

Draai de aarde nu onder deze watermassa door (we nemen aan dat dit zonder wrijving gebeurt), dan verandert de waterstand op een plaats per periode. De getijbeweging die men op deze wijze krijgt noemt men het evenwichtsgetij. Afgeleid kan worden dat de *getijhoogte* van dit evenwichtsgetij gegeven wordt door

$$z = \frac{1}{2} \frac{M}{A} \left( \frac{1}{d} \right)^2 a (\cos^2 h - \frac{1}{2}) \quad (3)$$

waarin

$M$  = massa getijverwekkend hemellichaam

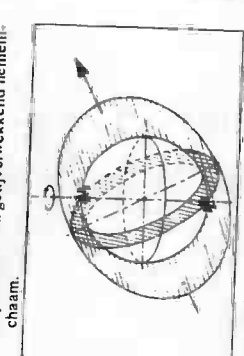
$A$  = massa van de aarde

$a$  = straal bolvormige aarde met overal even dikte waterlaag

$r$  = afstand wateroppervlak tot aardmiddenpunt

$d$  = afstand middelpunt aarde tot middelpunt getijverwekkend hemellichaam

$h$  = topsafstand van getijverwekkend hemellichaam.



Figuur 4.9

In paragraaf 4.3.2 is gebleken dat  $h = n(b, d, c)$  volgens de cosinusregel in de parallakische driehoek. Gebruikteer in formule 4.3 levert dit, na uitwerken, in de getijhoogte  $z$  de volgende termen:

1. een langperiodeke term

$$A = \frac{1}{6} U (1 - 3\sin^2 b) (1 - 3\sin^2 c) \quad (4)$$

2. een enkeldagse term

$$B = U \sin 2b \sin d \cos c \cos P$$

3. een dubbeldagse term

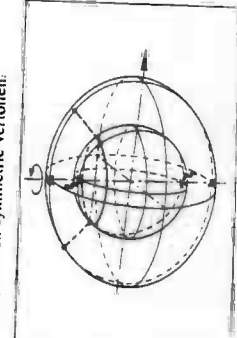
$$C = \frac{1}{2} U \cos^2 b \cos^2 c \cos 2P$$

waarin  $U = \frac{1}{2} \frac{M}{A} \left( \frac{1}{d} \right)^2 a$ .  
In een aantal gevallen zullen we nagaan hoe  $z$  verloopt.

4.3.3 Verloop van het evenwichtsgetij voor bepaalde declinaties van het getijverwekkende hemellichaam,

a.  $\text{dec} = 0^\circ$ . Zie figuur 4.10.

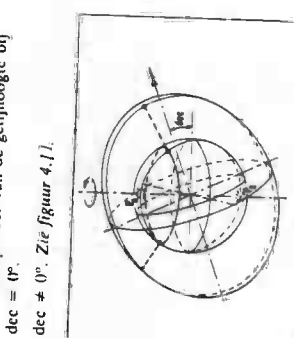
Een plaats op de equator ( $b = 0^\circ$ ) passeert twee punten met HW en twee punten met LW, die een symmetrie vertonen.



Figuur 4.10

Voor een punt op de parallel ( $b \neq 0^\circ$ ) heeft hetzelfde met dit verschil, dat de HW's lager zijn dan aan de equator. Op de polen is geen getij. De gradiënten in figuur 4.12 geven het verloop weer van de getijhoogte bij  $\text{dec} = 0^\circ$ .

b.  $\text{dec} \neq 0^\circ$ . Zie figuur 4.11.



Figuur 4.11

Een plaats op de equator heeft nog steeds in één omwenteling twee HW's en twee LW's, symmetrisch ten opzichte van elkaar.

Figuur 4.12

Een plaats op de parallel ( $b \neq 0^\circ$ ) moet ook nog steeds twee HW's en twee LW's. De LW's zijn nog steeds gelijk, maar de HW's zijn verschillend en de symmetrie is gewijzigd. Een plaats op de evenaar heeft zelfs nog maar één HW en één LW. Het verloop blijkt uit de grafieken van figuur 4.13.

4.3.4 Verloop van het evenwichtsgetij op een plaats bij veranderlijke declinatie.

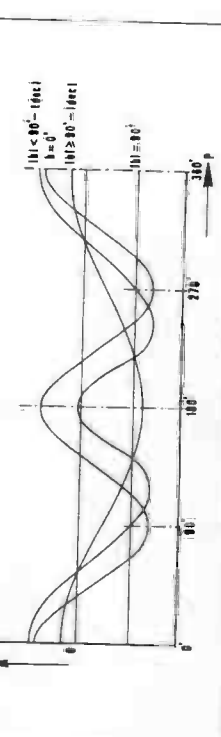
Vergelijken we de figuren 4.10 en 4.11 dan wordt duidelijk dat tegevolge van een declinatieverandering de hoogte van het HW voor een bepaalde plaats verandert. Een absoluut hoogte waarschijnlijk vindt we daar waar het getijverwekkende hemellichaam in het toppunt van in het getij-

het voelpunt staat. In figuur 4.14 is grafisch het verloop te zien van de getijhoogte voor een plaats met een breedte van  $30^\circ N$  en voor declinaties gelijknamig met de breedte van  $(0^\circ, 10^\circ, 20^\circ$  en  $30^\circ$ ).

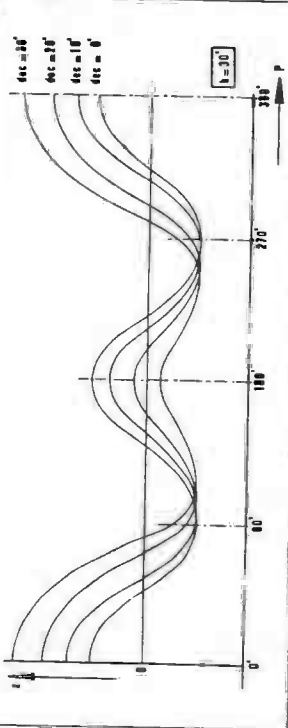
Uit deze grafieken lezen we af dat bij  $\text{dec} = 0^\circ$  het getij volgens een cosinusvormige verloopt. Bij toename van de declinatie blijkt niet alleen de ongelijkheid in HW toe te nemen, maar toen tevens de tijdstippen van LW dichter bij het tijdstip van het laagste HW te liggen.

#### 4.3.5 Invloed van de afstand van het getijverwekkende hemellichaam.

Uit de formule voor de getijhoogte  $z$  uit paragraaf 4.3 blijkt, dat de getijhoogte omgekeerd evenredig is met de derde macht van de afstand. Dat betekent dat de amplitude van de getijbeweging toeneemt als de afstand van het getij-



Figuur 4.13



Figuur 4.14

verwerkende hemellichaam tot de aarde afneemt en omgekeerd afneemt als het zich van de aarde verwijdt. De periode van deze amplitudeverandering wordt niet bepaald door de aardrotatie, maar door de omlooptijd van het getijverwerkende hemellichaam.

Vergelijken we de invloed van de maan en de zon met elkaar, dan moet op grond van de afstanden (384000 km voor de maan en 150000000 km voor de zon) de maansinloop overheersen. Dat is ook indertijd zo, ondanks dat de massa van de zon vele malen groter is dan die van de maan. Het blijkt dat de amplitude van  $\zeta$  (t) deeltijdens 0,46 staat tot 1. De invloed van de maan is dus ruim tweemaal zo groot als die van de zon.

#### 4.4 Partiële getijden volgens de evenwichtstheorie.

##### 4.4.1 Inleiding.

In het voorgaande is gebleken, dat de getijhoogte op een hepaal plek ten gevolge van een aantal factoren geen traai harmonisch verloop heeft. Deze factoren zijn onder andere:

- declinatieverandering van het getijverwerkende hemellichaam
- afstandsveranderingen

In het voorgaande is gebleken, dat de getijhoogte op een hepaal plek ten gevolge van een aantal factoren geen traai harmonisch verloop heeft. Deze factoren zijn onder andere:

- declinatieverandering van het getijverwerkende hemellichaam
- niet-eenparige baanhoedeelheid van het getijverwerkende hemellichaam
- gezamenlijke invloed van zon en maan.

Men ontdekt nu de getijhoogte volgens de evenwichtstheorie.

##### 4.4.2 Het $S_2$ -getij.

Maken we dezelbe veronderstellingen als in paragraaf 4.2 voor de maan met betrekking tot de zon, dan geeft deze middelbare zon' aanleiding tot een zuiver harmonisch getij, dat het  $S_2$ -getij genoemd wordt. Omdat de middelbare zon zijn schijnbare dagelijkse baan rond de aarde in precies 24 uur volbrengt, is de hoeknadelheid van het  $S_2$ -getij precies  $30^\circ/h$  en de periode precies 12 $\frac{1}{2}$ . De tijdstippen van HW en LW van het  $S_2$ -getij vallen dus iedere dag om respectievelijk 0000 en 1200 LMT en 0600 en 1800 LMT.

##### 4.4.3 Het $M_2$ -getij.

Indien de maan zich eenparig zou bewegen op germiddele afstand van de aarde in het vlak van de equator, dan zou het daardoor veroorzaakte getij een zuiver harmonisch getij zijn van de gedane  $R \cos(\omega_1 t + \omega)$ , zie figuur 4.12. De hoeknadelheid bepalen we als volgt. Zie figuur 4.15.

##### 4.4.4 Maans- en zonsdeclinatiegetijden.

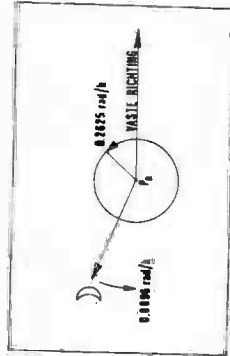
In werkelijkheid voldoen maan en zon niet aan de vereenvoudiging in figuur 4.12. De tijdstippen van HW en LW van het  $S_2$ -getij vallen dus iedere dag om respectievelijk 0000 en 1200 LMT en 0600 en 1800 LMT.

Uit figuur 4.14 zien we dat de declinatieverandering tevens een ongelijkheid in HW teeweeg brengt. Hiervoor kan gecompenseerd worden door de introductie van *iwe enkeldeelgeejjigen*, immers dan is er geen dientijds ongelijkheid in HW.

Voor de maan krijgen we dan twee getijden met hoeknadelheden respectievelijk  $14^{\circ}49'21''$  en  $0^{\circ}54'39'' = 15^{\circ}04'11''$  en  $14^{\circ}49'21'' - 0^{\circ}54'39'' = 13^{\circ}45'30''$ .

Omdat  $K_1$  van de zon dezelfde hoeknadelheid heeft als  $K_1$  van de maan worden beide samen-

genomen tot het *enkeldeelgeejjigen zons-maangetij K<sub>1</sub>*.



Figuur 4.15

De voerstraal aarde-maan draait in een siderische maand (27,3217 dagen) over  $2\pi$  radiaLEN. Dat is  $2\pi \cdot (27,3217 \cdot 24) \text{ rad}/h = 0,0096 \text{ rad}/h$ . De aarde roert éénmaal om zijn as in één sterredag (hoeknadelheid 0,2625 rad/h = 1504,18°/h).

Relatiefen opzicht van de aarde beweegt deze 'middelbare maan' met een hoeknadelheid die het verschil is van beide genoemde hoeknadelheden, nl.  $0,2529 \text{ rad}/h = 14^{\circ}49'21''/h$ . Het hierbij behorende getij heeft een tweemaal zo grote hoeknadelheid, zie figuur 4.10, nl.  $0,5059 \text{ rad}/h = 28^{\circ}38'41''/h$ .

Het getij met deze hoeknadelheid noemt men het  $M_2$ -getij, waarvan de periode gelijk is aan  $12^{\circ}25' = 12^{\circ}25''$ . De tijdstippen van HW en LW vallen dus elke dag 30° later dan de overeenkomstige tijdstippen op de voorgaande dag. Uit figuur 4.10 blijkt dat de amplitude afhangt van de breedte.

##### 4.4.5 Het $S_3$ -getij.

Maken we dezelfde veronderstellingen als in paragraaf 4.2 voor de maan met betrekking tot de zon, dan geeft deze middelbare zon' aanleiding tot een zuiver harmonisch getij, dat het  $S_3$ -getij genoemd wordt. Omdat de middelbare zon zijn schijnbare dagelijkse baan rond de aarde in precies 24 uur volbrengt, is de hoeknadelheid van het  $S_3$ -getij precies  $30^\circ/h$  en de periode precies 12 $\frac{1}{2}$ . De tijdstippen van HW en LW van het  $S_3$ -getij vallen dus iedere dag om respectievelijk 0000 en 1200 LMT en 0600 en 1800 LMT.

Zie paragraaf 4.3.2. Voor de maan is dat onnatuurverandering heeft een periode, die de helptijd is van de periode van de declinatieverandering van de maan of de zon, in verband met de langperiode en enkeldeelgetijden die respectievelijk  $\sin^2 \omega_1 t$  en  $\sin \omega_1 t$  opeindigen.

Naast  $M_2$  kunnen we getijden verwachten met hoeknadelheden van  $28^{\circ}38'41'' + 1^{\circ}09'80'' = 30^{\circ}08'21''/h$  en  $28^{\circ}38'41'' - 1^{\circ}09'80'' = 27^{\circ}28'86'1/h$ . Naast  $S_2$  krijgen we getijden met hoeknadelheden van  $30^\circ + 0^{\circ}08'21'' = 30^{\circ}08'21''/h$  en  $30^\circ - 0^{\circ}08'21'' = 29^{\circ}51'79''/h$ .

Aangevoerd kan worden dat de beide getijden met de grootste hoeknadelheid de grootste invloed hebben. De beide andere zijn in weinig betekenis. Omdat de tweue versigende hoveniedeelgetijden dezelfde hoeknadelheid hebben, voegt men ze samen tot het *dubbeldeelgeejjigen zons- en maansdeclinatiegetij K<sub>2</sub>*.

Uit figuur 4.14 zien we dat de declinatieverandering tevens een ongelijkheid in HW teeweeg brengt. Hiervoor kan gecompenseerd worden door de introductie van *iwe enkeldeelgeejjigen*, immers dan is er geen dientijds ongelijkheid in HW.

Voor de zon krijgen we dan twee getijden met hoeknadelheden respectievelijk  $14^{\circ}49'21''$  en  $0^{\circ}54'39'' = 15^{\circ}04'11''$  en  $14^{\circ}49'21'' - 0^{\circ}54'39'' = 14^{\circ}95'89''/h$ .

Omdat  $K_1$  van de zon dezelfde hoeknadelheid heeft als  $K_1$  van de maan worden beide samen-

genomen tot het *enkeldeelgeejjigen zons-maangetij K<sub>1</sub>*.

#### 4.4.5 De maanselliptische getijden.

Door dat de maansbaan elliptisch is varieert de afstand aarde-maan een periodiek, bij een kleinere afstand behoort een grotere amplitude. De periode waarin de afstand varieert is de anomalistische maand (27.5546 dagen). Dat betekent dat we naast  $M_2$  twee getijden krijgen met respectievelijk hoeksnelheden van  $28^{\circ}9841 + 0^{\circ}5444 = 28^{\circ}1398/\text{h}$ . De invloed van de laatste component blijkt het grootst te zijn. Deze noemt men het *groot maanselliptisch dubbedags getij*  $N_J$ . De andere component is het *klein maanselliptisch dubbedags getij*  $L_2$ .

#### 4.4.6 Langperiodeke getijden.

Bij verdergaande ontleding van het evenwichtsgetij blijken partiële getijden op te treden met lange perioden. Tengevolge van de declinatieve verandering van de

maan in ongeveer een tropische maand treedt een partiële getij op met een hoeksnelheid van  $1^{\circ}09/\text{h}$  (Mf).

Als gevolg van variaties in de elliptische maansbaan ontstaat een partiële getij met een hoeksnelheid van  $0^{\circ}5444/\text{h}$  (Mm).

Soortgelijke partiële getijden treden op bij de zon.

Tenslotte noemmen we de invloed van het draaien van de knopenlijn van de maansbaan in 18,6 jaar, tengevolge waarvan de maximale declinatie van de maan varieert tussen ongeveer  $18^{\circ}5$  en  $28^{\circ}5$ . Deze invloed corrigeert men echter door introductie van een factor  $f$ , de z.g. *reductiefactor*, die per jaar of per maand berekend is en voor die periode constant genomen wordt.

klokke getijbeweging voor te stellen door  $fH \cos(\varphi + \omega t - x)$ . Daarin is  $f$  de *reductiefactor*,  $H$  de amplitude en  $x$  het z.g. *kappageal*, het bedrag dat de fase van het werkelijke partiële getij achter is op de fase van het overeenkomstige partiële getij volgens de evenwichtstheorie. Omdat beide getijden dezelfde hoeksnelheid hebben is  $x$  constant. Men noemt  $H$  en  $x$  de *genijconstanten* van het partiële getij. Deze worden voor een plaats bepaald uit waarnemingsreeksen van de getijbeweging. De hoek  $\varphi$  is de fase van het evenwichtsgetij als  $t = 0$ . Doorgaans gaat men uit van de fase van het partiële evenwichtsgetij Greenwich om 0000 GMT. Deze wordt in verschillende boekwerken opgegeven, onder meer in de ATT als  $E_{\text{to}} + u$  (Tabel VII), als een bedrag in graden tussen  $0^{\circ}$  en  $360^{\circ}$ . Men noemt de fase van een partiële evenwichtsgetij Greenwich om 0000 GMT, die wij zullen aanduiden door  $V_a(\text{Gr})$ , het *astronomisch argument* van dat partiële getij. Hoe vinden we nu willekeurige partiële getijde 0000 ST voor een

enkelddags partiële evenwichtsgetij op  $l^{\circ} W$ ?

Algemeen geldt

$$\varphi_0 \equiv V_a(\text{Gr}) + kl + s\omega \quad (4)$$

met  $k = 1$  voor enkelddags en  $k = 2$  voor dubbedags getijden.

Voor het overeenkomstige partiële getij uit de werkelijke getijbeweging is de fase te 0000 ST  $V_0(\text{Gr}) + kl + sw = x$ .  
Men noemt  $\eta_u$

$$g \equiv kl - sw + x \quad (5)$$

het *geografisch argument* van het partiële getij. De uitwirking van het werkelijke partiële getij ten opzichte van de middendenstand kan nu voorgesteld worden door

$$Y(t) \equiv fH \cos(V_0(\text{Gr}) - g + \omega t) \quad (6)$$

waarin  $t$  de ST in uren is.



Figuur 4.16

104

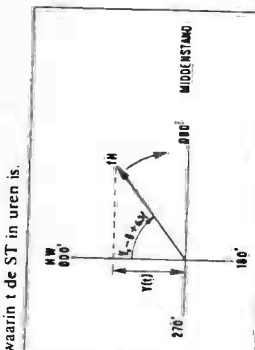
De belangrijkste partiële getijden die volgens de evenwichtstheorie het getijverloop bepalen, vallen we samen in onderstaand schema.

Kenletter	Hoeksnelheid	Periode	Benaming
$M_2$	$28^{\circ}9841$	$12^{\circ}25^m$	dubbedags middehaar maansgetij
$S_2$	$30^{\circ}$	$12^h$	dubbedags middehaar zongegetij
$N_J$	$28^{\circ}4397$	$12^h40^m$	dubbedags groot maanselliptisch getij
$K_2$	$30^{\circ}0821$	$11^{\circ}56^m$	dubbedags maans-zonsdeclinatiegetij
$K_1$	$15^{\circ}0411$	$23^{\circ}58^m$	enkelddags maansdeclinatiegetij
$O_1$	$13^{\circ}9430$	$25^{\circ}49^m$	enkelddags zonsdeclinatiegetij
$P_1$	$14^{\circ}9589$	$24^{\circ}04^m$	

volledigheid, het belang van de evenwichtstheorie voor de getijden.

De werkelijke partiële getijden hebben een andere amplitude dan de overeenkomstige uit de evenwichtstheorie en lopen daarbij achter in fase. Welke partiële getijden een grote, en welke een kleine rol spelen in een bepaald gebied, hangt af van de vorm en diepte van het bewuste gebied. Zie ook deel 1, *paragraaf 4.3.1*.

**4.5.2 Getijconstanten.**  
Stellen we een partiële getij volgens de evenwichtstheorie voor door  $fR \cos(\varphi + \omega t)$ , dan is het overeenkomstige partiële getij van de wer-



Figuur 4.17

105

kelijke  $fH \cos(\varphi + \omega t - x)$ . Daarin is  $f$  de *reductiefactor*,  $H$  de amplitude en  $x$  het z.g. *kappageal*, het bedrag dat de fase van het overeenkomstige partiële getij achter is op de fase van het evenwichtsgetij volgens de evenwichtstheorie. Omdat beide getijden dezelfde hoeksnelheid hebben is  $x$  constant. Men noemt  $H$  en  $x$  de *genijconstanten* van het partiële getij. Voor het overeenkomstige partiële getij uit de werkelijke getijbeweging is de fase te 0000 ST  $V_0(\text{Gr}) - (-kl - sw + x)$ . Men noemt  $\eta_u$

$$g \equiv kl - sw + x \quad (5)$$

het *geografisch argument* van het partiële getij.

De uitwirking van het werkelijke partiële getij ten opzichte van de middendenstand kan nu voor-

gesteld worden door

$$Y(t) \equiv fH \cos(V_0(\text{Gr}) - g + \omega t) \quad (6)$$

104

Het is handig om een partiële getij voor te stellen door een rechtsom draaiende vector met een hoeksnelheid gelijk aan die van het partiële getij. De norm van de vector is een maat voor de amplitude  $H$  van het partiële getij, zie figuur 4.7.

Zoals reeds eerder is opgemerkt worden de getijconstanten  $H$  en  $g$  voor een bepaalde plaats behaald uit warmingsrekenen. In feite vertonen deze 'constanten' een kleine jaartijds variatie zoals blijkt uit Tabel VI van de ATT Volume I. Zie A2.1.

#### 4.5.3 Bepalen van de waterstand.

Heeft men de beschikking over het astronomische argument  $V_d(\text{Gr})$  en de reductiefactor  $f$  voor een bepaalde datum absconde getijconstanten  $H$  en  $g$  voor een plaats, dan kan de waterstand ten opzichte van CD op ijsstijp  $t$  berekend worden door de bijdragen van alle partiële getijden te sommeren en op te tellen bij de hoogte  $Z_0$  van het middenstandsnijs. In formule

$$W(t) = Z_0 + \sum_{i=1}^n [H_i \cos(V_d(\text{Gr})) - g_i + \omega_i t] \quad (7)$$

Vanheid.

Bereken de waterstand  $W$  ten opzichte van CD voor Terneuzen op 21 februari 1980 te 0800 STF uit de partiële getijden  $M_2, S_2, N_2, K_2, K_1, O_1$ , en  $P_1$ . Zie ook paragraaf 4.4.7.

Met behulp van ATT Volume I, de Getijtafel voor Nederland en het overzicht van paragraaf 4.4.7 kunnen we de volgende tabel van gegevens samenstellen, zie A2.2, A2.3b en A2.4.

	$M_2$	$S_2$	$N_2$	$K_2$	$K_1$	$O_1$	$P_1$
$V_d(\text{Gr})$ in °	2.39	0.00	2.04	2.90	0.55	1.87	3.00
$f$	1.03	1.00	1.03	0.78	0.90	0.84	1.00
$H$ in m	1.83	0.49	0.28	0.14	0.07	0.11	0.04
$g$ in $\text{cm}^{-1}$	0.69	1.50	0.48	1.28	0.19	1.97	0.07
$\omega$ in °	28.9441	30	28.4397	30.0821	15.0411	1.3.9430	1.4.9589

$$Z_0 = 2.57 \text{ m}$$

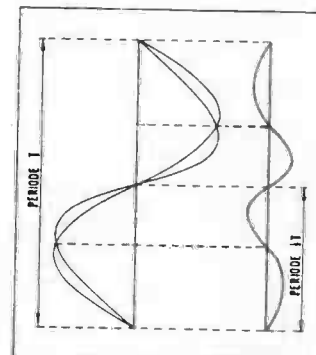
Substitutie in formule 4.7 levert  $W(8) = 4.10 \text{ m}$ .

<sup>1)</sup> In Getijtafels voor Nederland aangeduid door  $\kappa$ .

#### 4.5.4 Ondiepwatergetijden.

De beschouwingen over het werkelijke getij tot nu toe berusten op twee grondstellingen, te wetten:

1. Een periodieke getijdracht geeft aanleiding tot een periodieke waterbeweging met dezelfde periode.
2. Werken meerdere periodieke krachten, dan zal de resulerende uitwijking uit de middendienst gelijk zijn aan de som van de afzonderlijke uitwijkingen.



Figuur 4.18

De periodieke waterbeweging uit grondstelling 1 is in het algemeen geen zuiver harmonische beweging. Op diep water en bij kleine amplitude mag dat met goede beadering wel geschilder worden, maar bij geringe waterdiepte en grote amplitude gaat dat niet op.

Stellen we ons de verticale periodieke waterbeweging ten gevolge van één partiële getij op een plaats voor als gevolg van een lopende golf, dan zal op ondiep water de faseverschil bij LW kleiner zijn dan die bij HW. Vergelijk het asymptotisch worden van zeegang- en deiningsgolven bij het naderen van het strand. We kunnen nu de niet-parallel harmonische beweging met periode  $T = \frac{360\pi}{\omega}$  ontwikkelen in oneindig veel harmonische bewegingen met perioden  $T, \frac{1}{2}T, \frac{1}{3}T, \dots, \frac{1}{n}T$ , envoort, een zogenoemde Fourierreeks. Zie figuur 4.18, waarin de aftrekking van de harmonische met periode  $T$  een niet-harmonische met periode  $\frac{1}{2}T$  overblijft.

Is  $U$  de waterstand ten opzichte van een bepaald niveau door deniet-harmonische beweging dan is  $U = A_0 + A_1 \cos \omega t + B_1 \sin \omega t + A_2 \cos 2\omega t + B_2 \sin 2\omega t + \dots + A_n \cos n\omega t + B_n \sin n\omega t$ . Naast het  $M_2$ -getij kunnen op ondiep water dus voor komen: een  $M_2$ -getij, een  $S_2$ -getij, enzoovoort en naast het  $S_2$ -getij een  $S_2'$ -getij, een  $S_2''$ -getij, enzoovoort. Deze reënvergelijden hebben fasen, die respectievelijk tweemaal ( $M_2, S_2$ ), driemaal ( $M_2, S_2'$ ), enzoovoort, de fase van het hoofdgetij zijn.

Ook de tweede grondstelling geldt niet meer op ondiep water. Heeft men twee partiële getijden  $X \cos x + Y \cos y$ , dan treffen we daarnaast beiden aan met fasen  $2x, 2y, x + y$  en  $x - y$ . Ondiepwatergetijden waarvan de hoeknellingen verhouden zijn van die van het hoofdgetij noemt men *reënvergelijden*. Samengestelde getijden zijn die waarvan de hoeknellingen afhangen van twee hoofdgetijden. Zo treffen we naast  $M_2$  en  $S_2$  onder andere de samengestelde getijden  $MS_2, 2MS_2$  en  $4MS_2$  aan. De invloed van ondiepwatergetijden is in sommige gebieden aanzienlijk. Let bv. op de onregelmatige getijdenkrommen van Hoek van Holland, IJmuiden en Den Helder (Zie Geitjatabels voor Nederland).

Figuur 4.19a

De periodieke waterbeweging uit grondstelling 1 is in het algemeen geen zuiver harmonische beweging. Op diep water en bij kleine amplitude mag dat met goede beadering wel geschilder worden, maar bij geringe waterdiepte en grote amplitude gaat dat niet op.

Zoals reeds eerder is opgemerkt worden de getijconstanten  $H$  en  $g$  voor een bepaalde plaats behaald uit warmingsrekenen. In feite vertonen deze 'constanten' een kleine jaartijds variatie zoals blijkt uit Tabel VI van de ATT Volume I. Zie A2.1.

#### 4.5.5 De leeflijf van het dubbelbeldags.

En voor het  $MS_2$ -getij geldt:

$$q_{MS_2} = (V_d(\text{Gr})M_2 - g_{S_2} + \omega M_2) + f_s \quad (11)$$

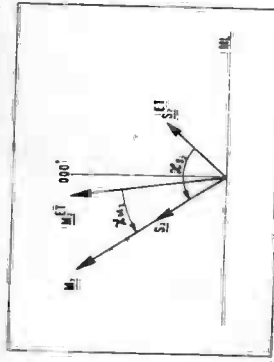
Verder is bv.

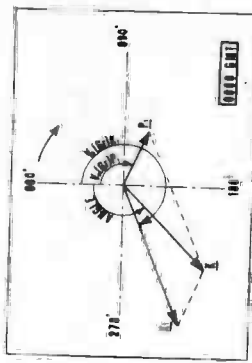
$$H_{M_2} = F_1(H_{M_2})^2, \quad (12)$$

$$H_{S_2} = F_2(H_{M_2}), \quad (13)$$

$$H_{MS_2} = 2F_1(H_{M_2})H_{S_2}, \quad (14)$$

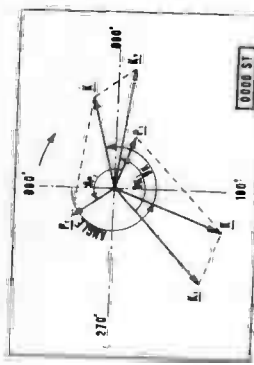
$F_1, F_2$  en  $f_s$  zijn constanten voor alle vierwoudag, respectievelijk zesoudagdag getijden, maar verschillen van plaats tot plaats. Ze worden in Part II van de ATT opgegeven.





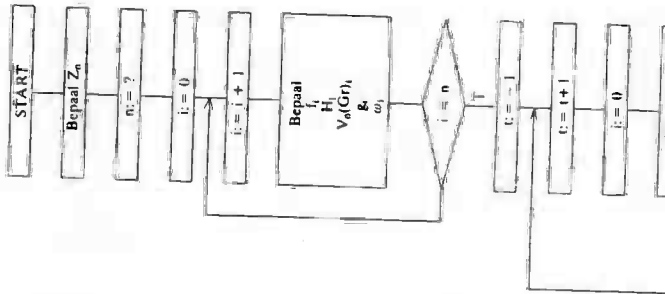
Figuur 4.21

Figuur 4.21 is een momentopname voor zekere datum te 0000 GMT en voor de meridiaan van Greenwich van de getijden  $K_1$  en  $P_1$  volgens de evenwichtstheorie. Uit de bekende waarden van de astronomische argumenten  $V_0(G)$  en de verhouding van  $\|K_1\|$  en  $\|P_1\|$  kan dan de hoek berekend worden, die in figuur 4.21 als 'hoek' is aangegeven. Bovendien kan de verhouding  $k$  ('factor') van  $\|K_1\|$  en  $\|P_1\|$  berekend worden. Zie opgave 2. 'Angle' en 'factor' hangen nu uitstuijd af van de datum.

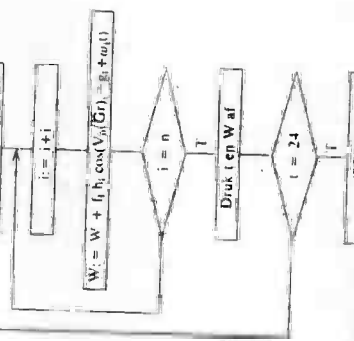


Figuur 4.22 Geeft een momentopname van de overeenkomstige partiële getijden uit het werkelijk getij te 0000 ST met daarin tevens nog de situatie van figuur 4.21. Hieruit blijkt dat de vector  $K$  van het werkelijke getij wordt vastgelegd door de hoek angle +  $\varphi$  en amplitude  $k \|K_1\|$ .

109

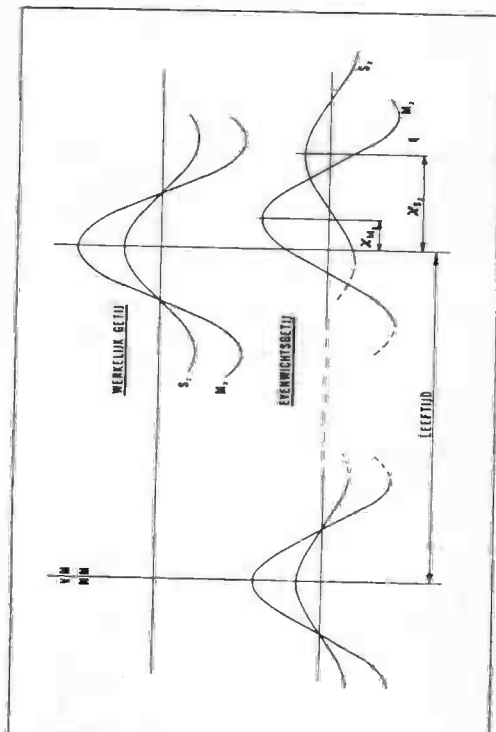


Figuur 4.20



Figuur 4.22

108



Figuur 4.19b

$M_2$  en  $S_2$  van het werkelijke getij samenvallen noemt men de *leeflijd* van het dubbele dagelijks getij. Uit figuur 4.19 blijkt dat de leeflijd  $t$  te bepalen is uit

$$(14) \quad t = \frac{x_{S_2} - x_{M_2}}{\omega_{S_2} - \omega_{M_2}},$$

De leeflijd kan gebruikt worden om het moment van springtij of dooptij te benaderen.

Omdat  $g = -2l - \omega s + x$ , zie paragraaf 4.5.2, is dus

$$(15) \quad \begin{aligned} (g_{S_2} + 2l + s \omega_{S_2}) - (g_{M_2} + 2l + s \omega_{M_2}) &= \\ = \frac{g_{S_2} - g_{M_2}}{\omega_{S_2} - \omega_{M_2}} + s, \end{aligned}$$

#### 4.6.2 De 'Admiralty' Methode.

Teneinde het aantal partiële getijden in de berekening te beperken, heeft de British Admiralty een methode ontwikkeld, waarbij uitgegaan wordt van de vier partiële getijden  $M_2$ ,  $S_2$ ,  $K_1$  en  $O_1$ . Hierbij worden echter de  $V_0(G)$  en de amplitude van elk van deze vier partiële getijden zodanig aangepast, dat de invloed van de overige partiële getijden zo goed mogelijk in rekening wordt gebracht. Om dit principe te begrijpen zullen we nagaan hoe het  $K_1$ -getij aangepast moet worden om de invloed van het  $P_1$ -getij in rekening te brengen.

108

watstand. Door  $t$  een aantal discrete waarden uit het interval  $[0, 24]$  te laten doorlopen krijgt men een beeld van het getijverloop voor een enkele maal of een gedecideerde daarvan, hetgeen eventueel in een grafiek verwerkt kan worden. De werkwijze blijkt uit het stroomschema van figuur 4.20.

De leeflijd kan gebruikt worden om het moment van springtij of dooptij te benaderen.

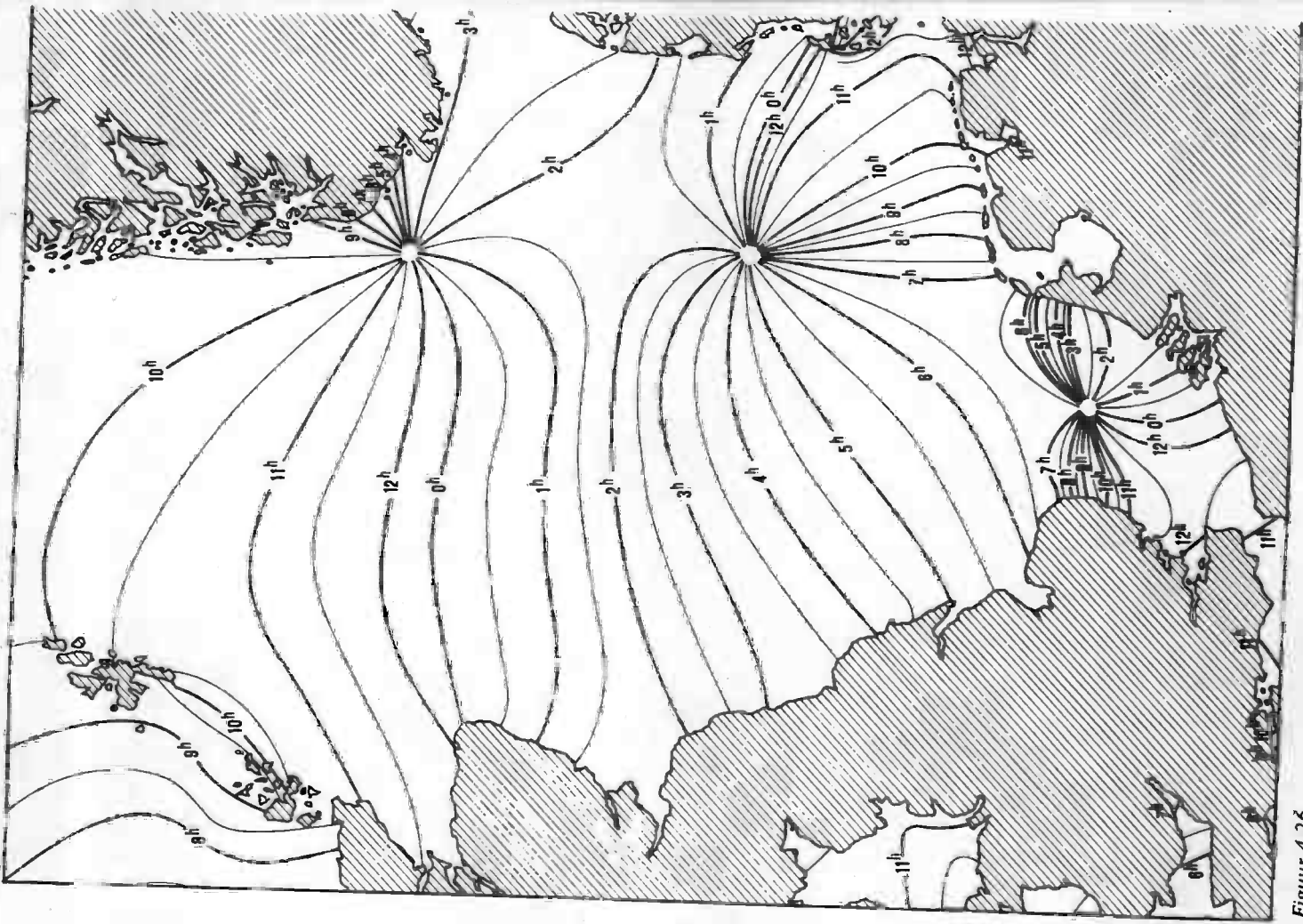
Omdat  $g = -2l - \omega s + x$ , zie paragraaf 4.5.2, is dus

$$(15) \quad \begin{aligned} (g_{S_2} + 2l + s \omega_{S_2}) - (g_{M_2} + 2l + s \omega_{M_2}) &= \\ = \frac{g_{S_2} - g_{M_2}}{\omega_{S_2} - \omega_{M_2}} + s, \end{aligned}$$

#### 4.6 Bepaling van het getijverloop met gegevens uit getijtafels.

##### 4.6.1 Algemeen.

Bij de berekening van de watertstand op een bepaald tijdstip  $t$  met de formule 4.7 beperken men zich meestal tot de belangrijkste partiële en ondiepwaternetijden. Dit geeft een aanvaardbare benadering van de te verwachten



Figuur 4.26

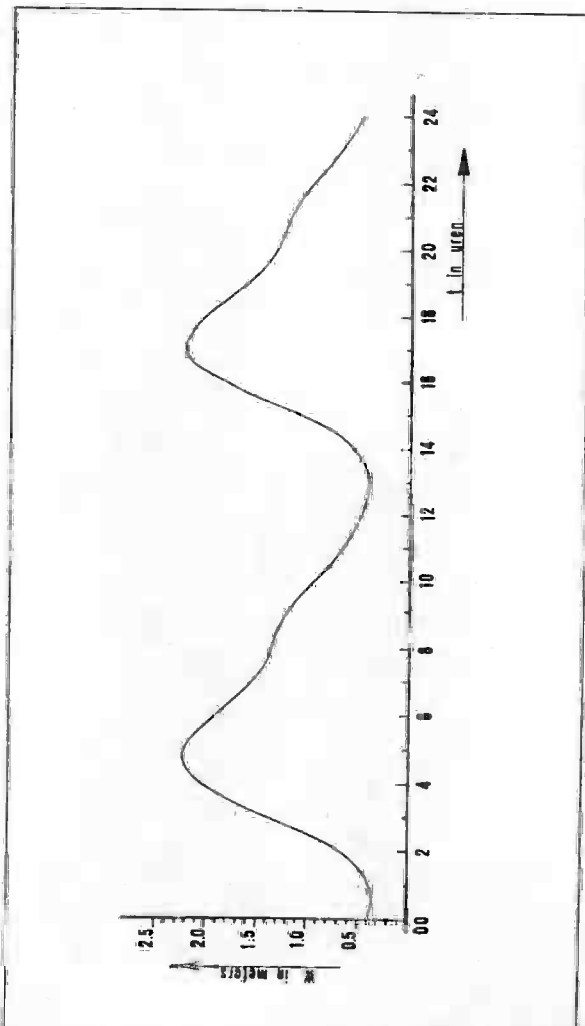
IJmuiden	B	H	M <sub>2</sub>	S <sub>2</sub>	K <sub>1</sub>	O <sub>1</sub>	4D	6D	ML
(52°28'00N, 004°34'00E)	0.25	0.69	204	0.17	0.01	0.08	194	0.12	233
19801109	m = 160   H = 0.62   s = 189   5 = 0.19   k = 0.23   K = 0.07   O = 167   O = 0.09	0.90	345	1.09	0.22	0.88	333	0.77	F 0.423

$H_2 = 0.80 \text{ m}$   
 $h_2 = 160^\circ + 4^\circ = 164^\circ$   
 $H_4 = 0.27 \text{ m}$   
 $h_4 = 251^\circ \text{ h}_4 = 025^\circ$

We beginnen met de gegevens in één overzichtelijk schema te noteren. Vervolgens berekenen we de benodigde grootheden. Zie A.2.3 en A.2.5b.

Per uur wordt nu met formule 4.17 de waterstand berekend.

t	w	t	w	t	w	t	w	t	w
00	0.40	05	2.24	10	0.96	15	1.09	20	1.35
01	0.38	06	1.93	11	0.68	16	1.83	21	1.20
02	0.69	07	1.56	12	0.49	17	2.23	22	0.98
03	1.38	08	1.38	13	0.41	18	2.05	23	0.69
04	2.06	09	1.23	14	0.55	19	1.62	24	0.49



Figuur 4.25

#### 4.7 Stroom en getij.

##### 4.7.1 Inleiding.

In het voorgaande hebben we ons uitsluitend bezig gehouden met het bepalen van de vertikale waterbeweging op een bepaalde plaats als gevolg van de getijkrachten. De behandeld evenwichtstheorie vormt de basis voor een praktisch bruikbare verwachtingsmethode, maar geeft geen verklaring voor de waargenomen getijhoogten in randzeeën, baaien enz. Uit de getijkrachten kan n.l. berekend worden dat het daardoor ontstane verval hoogstens 1.5 m kan be-

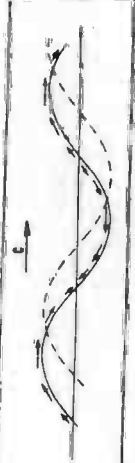
ragen. De oorzaak van de waterbeweging in deze gebieden moet daarom, naast de getijkrachten, gezocht worden in het aan de opening aanwezige vertikale oceaangat. Daardoor dringt het water de randzee of baai binnen en zal het zich als een lopende golf verder verspreiden. Dit komt tot uitdrukking in het patroon van de z.g. 'co-tidal lines', dat zijn lijnen, getrokken over plaatsen die gelijktijdig hoogwater hebben. Zie figuur 4.26.

## 4.7.2 Golftypen

De golfbewegingen waarmee we te maken hebben zijn:

- a. lopende golf
- b. staande golf
- c. 'kruising tussen lopende en staande golf'

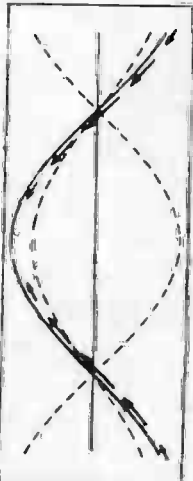
Bij een **lopende golf** op diep water verplaats het golfprofiel zich met een eenvoudige snelheid, maar verandert niet van vorm. Er bestaat één vastere relatie tussen voortplantingssnelheid  $\lambda$ , n.l.  $\lambda = CT$ . De stroomsnelheid van het water heeft een uiterste waarde in de toppen en dalen van het golfprofiel en kentert waar het water in middendstand staat.



Figuur 4.27

Daarbij heeft de stroomsnelheid dezelfde richting als de voortplantingssnelheid in de bovenste helft van het golfprofiel en is in het onderste gedeelte tegengesteld gericht. De maximale en minimale waterstanden zijn voor alle punten waar het golfprofiel langs trekt gelijk en de tijdstippen van HW vallen later in de voortplantingsrichting van het golfprofiel. Zie figuur 4.27. Bij een **staande golf** verandert het golfprofiel voortdurend, maar het verplaats zich niet. De grootste stroomsnelheid hebben we als het water in middendstand staat. De stroom kentert bij HW en LW. Dit betekent, dat ter plaatse van een buik het water enkel een verticale beweging heeft en in een knoop uitstuhrend een horizontale. Het water stroomt van een buik waar het water daalt naar een buik waar het water stijgt. In alle punten van het gebied is het op hetzelfde tijdstip HW of LW. Zie ook figuur 4.28.

Een staande golf kunnen we ontstaan denken uit een lopende golf, die ideaal terugkaast tegen



Figuur 4.28

een verticale wand. In werkelijkheid komt er van de ideale terugkaatsing weinig terecht, omdat een kust zelden een verticale wand is en wrijvingsinvloeden de amplitude van de teruggekaaste golf verminderen. Zo wordt de getijbeweging in Het Kanaal veroorzaakt door het getij in de Atlantische Oceaan, dat als een lopende golf vanuit het westen Het Kanaal binnenkomt. Zou dit bij Dover afgesloten zijn, dan zou deze golf de Franse kust bij Gris Nez loodrecht treffen, waardoor een staande golf zou ontstaan. Door de Straat van Dover en de glooiende zeebodem voor de kust is de terugkaatsing onvolkomen. Toch blijkt uit het patroon van de co-tidal lines, die in het oostelijk deel van Het Kanaal ver uiteen liggen, en uit de waarden van de geografische argumenten van het  $M_2$ -getij voor de havens in dit gebied (zie figuur 4.29 en onderstaande tabel), dat het HW hier praktisch gelijktijdig valt, hetgeen past bij het staande golf karakter.

Figuur 4.29

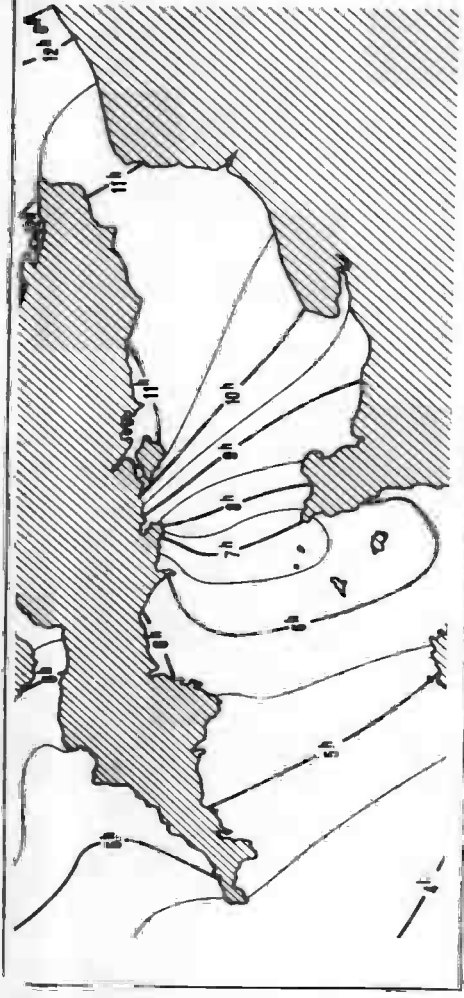
Over het algemeen is de stroomsterkte bij springtij groter dan bij doodtij. Dat dit zo moet zijn blijkt als volgt. Zie figuur 4.30.

Op een bepaald tijdstip staat tussen de doorsneden AA' en BB' het water beneden middenstand. Een halve periode later staat het water daar boven middenstand, hetgeen inhoudt, dat in een halve periode een bepaald volume water in de sectie AA'-BB' is binnengestroomd. Daarbij past een zekere stroomsnelheid. Nu is bij springtij het verval groter dan bij doodtij. Daarmee is ook het volume van het te verplaatsen water bij springtij groter, terwijl de periode constant is. Daarbij past dus een grotere stroomsnelheid.

4.7.3 Waterstand op enige afstand van het opnemingspunt

De getijgegevens voor een haven gelden strikt genomen voor het punt waar de waarnemingen, die aan de berekeningen ten grondslag liggen, zijn verricht. Praktisch zal in de directe omgeving de waterbeweging weinig verschillen met die in het opnemingspunt. Op iets grotere afstand treden echter verschillen op, die we niet kunnen negeren. Zo zal het in Het Kanaal nabij Start Point vroeger HW zijn dan bij Portland Bill, omdat Start Point westelijker ligt en de getijgolf vanuit het westen Het Kanaal binnenkomt.

Willen we de verticale waterbeweging kennen voor een punt op geruime afstand van het opnemingspunt, dan kunnen we gebruik maken van

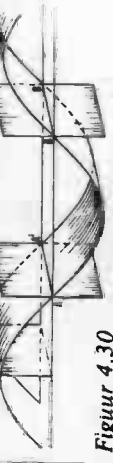


kaarten met co-tidal lines en co-range lines. Zie figuur 4.31.

Co-tidal lines zijn lijnen getrokken over plaatsen met gelijktijdig HW of LW. Co-range lines zijn lijnen getrokken over plaatsen met gelijk gemiddeld verval bij springtij.

In figuur 4.26 zien we, dat in de Noordzee co-tidal lines convergeren naar een drietal punten. Zo'n punt heet een *amfidromisch punt*. Daarin is geen verticale getijbeweging. De getallen bij de co-tidal lines in figuur 4.30 geven het 'Mean High Water Interval' (MHWI) dat is het tijoverloop tussen het moment van maansdoorgang door de meridiaan van Greenwich (zie NA) en het tijdstip van het eerstvolgende HW op de bewuste co-tidal line. H MHWI wordt ook vermeld voor een aantal Standard Ports, zodat het nu mogelijk is het tijverschil in HW te bepalen tussen een Standard Port (waarvoor de getijgegevens beschikbaar zijn) en een willekeurig punt uit het zeepied.

De getallen bij de co-range lines geven het gemiddeld verval bij springtij (MSR), dat eveneens bij de Standard Ports is aangegeven. Daardoor kan de verhouding bepaald worden tussen de gemiddelde vervallen bij springtij in een Standard Port en een willekeurig ander punt.



Figuur 4.30

## Voorbeeld.

Stel we hebben een getijverwachting nodig voor A (53° 20' N, 001° 40' E) waarvoor volgens kaart 5058 (zie figuur 4.31) geldt: MHWI is 5<sup>h</sup>50<sup>m</sup> en MSR is 3.7m. De dichstbijzijnde Standard Port is Immingham waarvoor MHWI is 5<sup>h</sup>36<sup>m</sup> en MSR is 6.4m.

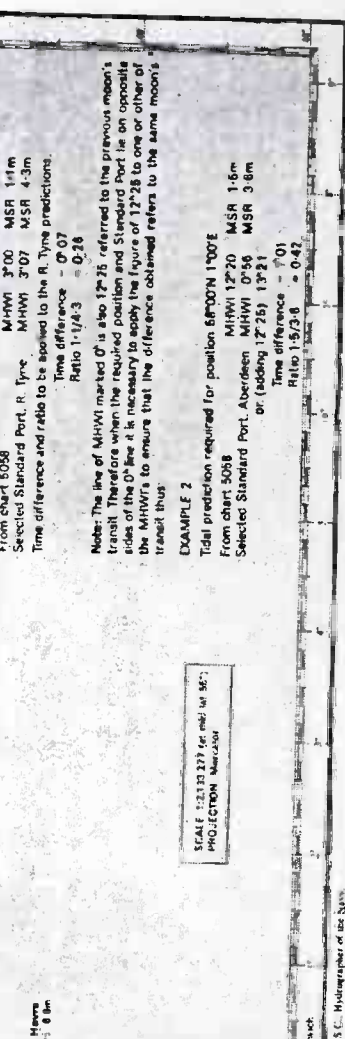
De overeenkomstige getijverschijnselen vinden in A dus 1.4<sup>m</sup> later plaats dan in Immingham, zodat op de verwachte tijdstippen voor Immingham een correctie van 0<sup>h</sup>14<sup>m</sup> moet worden toegepast om de verwachte tijdstippen voor A te krijgen. De verhouding tussen de MSR's is  $\frac{3.7}{6.4} \approx 0.58$ .

We krijgen nu de hoogten boven CD te A door de verwachte hoogten boven CD te Immingham te vermenigvuldigen met 0.58. Voor 24 november is voor Immingham als getijverwachting gegeven:

0103	0.8
0653	7.6
1324	0.9
1916	7.4

De verwachting voor A wordt nu	
0117	0.5
0707	4.4
1338	0.5
1930	4.3

Naast de kaarten met co-tidal en co-range lines zoals in figuur 4.31 weergegeven, geeft de British Admiralty thans ook een 'co-tidal atlas' uit voor Zuid-Oost Azië (NP 215) en zijn in de stroombatlas voor de Theemsmonding (NP 249) kaarten opgenomen met co-tidal en co-range lines. De co-tidal lines geven de tijdsverschillen ten opzichte van een Standard Port en de co-range lines geven de 'range factor' ten opzichte van de Standard Port, dat is de verhouding tussen de vervallen. In NP 249 wordt dit gegeven zowel voor springtij als voor doodtij. Zie A2.7, A2.8, A2.9, A2.10, A2.11 en A2.12.



5058

## Opmerking.

Verwant met de co-tidal lines zijn de 'homomen'; dit zijn lijnen over plaatzen met dezelfde waarde van het geografisch argument van een partieel getij.

### 4.7.4 De nauwkeurigheid van de getijverwachting.

De tijden en hoogten in de getijtafels geld voor gemiddelde meteorologische omstandigheden. Dat houdt in, dat wanneer de weersomstandigheden afwijken van het gemiddelde, verschillen met de verwachte waarden kunnen ontstaan, die soms aanzienlijk kunnen zijn. Een krachtige wind recht op een kust zal een opstuwing van het water veroorzaken, waardoor de waterhoogten groter zullen zijn dan de verwachting. Een afstandige wind zal het omgekeerde effect hebben.

Een langs de kust waaiende wind heeft de naging een golf te veroorzaken, die langs de kust loopt. Waar de golftop is krijgen we een extra verhoging van het zeeniveau, terwijl er een dalplaats van het golfdal een verlaging optrekt. Deze vloedgolven ('storm surges') kunnen plaatselijk een verhoging van meer dan één meter veroorzaken, zoals bijvoorbeeld bij overstromingsrampp in Zuid-West Nederland in 1953.

Plotselinge weefsveranderingen, zoals het persen van een depressie of van een buitengewoon in het zeeoppervlak een vertikale trillingsveroorzaakt. De plaatselijke geografische omstandigheden spelen daarbij een belangrijke rol. Tenslotte zal een hoge barometerstand een verlaging van het zeeniveau tot gevolg hebben, terwijl lage luchtdruk een verhoging zal veroorzaken. Een afwijking van 34 mbar van de gemiddelde luchtdrukwaarde kan een niveauverschil van zo'n 0.3m bewerkstelligen.

Om concreet iets over de betrouwbaarheid van de verwachte tijdstippen van HW en LW en de bijbehorende hoogten te kunnen zeggen, moeten waarnemingsgegevens voorhanden zijn. De Getijtafels voor de Zeehavens van Nederland en voor Antwerpen en Zeebrugge worden, wat de getijhoogte betreft, informatie gegeven in de vorm van kansgrafeiken. Zie A2.6. We zien daarin bv. dat rond 1 maart bij HW een kans van 5% is op een verlaging van 0.35.

Figuur 4.31

We schetsen nu de grafiek van het getijverloop op millimeterpapier. Daarbij houden we er rekening mee, dat de vet gedrukte waarden, via de dagelijkse verwachting verkregen, betrouwbaarder zijn dan die via *formule 4.7*. Zie figuur 4.33.

Margate	$\Delta t$	X
0000	3.83	+18
0100	3.23	+17
0200	2.45	+17
0300	1.70	+16
0400	1.15	+16
0500	0.91	+15
<b>0529</b>	<b>1.0</b>	<b>+15</b>
0600	1.03	+15
0700	1.53	+16
0800	2.29	+16
0900	3.15	+17
1000	3.86	+17
1100	4.19	+18
<b>1132</b>	<b>4.5</b>	<b>+18</b>
1200	4.05	+18
1300	3.47	+17
1400	2.62	+17
1500	1.75	+16
1600	1.03	+16
1700	0.63	+15
<b>1734</b>	<b>0.6</b>	<b>+15</b>
1800	0.62	+15
1900	1.03	+15
2000	1.78	+16
2100	2.72	+16
2200	3.60	+17
2300	4.16	+18

(21)

De UKC bepalen we als volgt.  
De weerberichten geven aanleiding te veronderstellen, dat er in de Theemsmonding nog enige deining te verwachten is. Rekening houden met een slingertoek  $\varphi$  van  $5^\circ$  geeft dit aanleiding tot een diepgangsvemeerdeering  $\Delta T_1$ , die we bepalen met de formule

(22)

$\Delta T_1 = \frac{1}{2} B \sin \varphi + T(\cos \varphi - 1)$   
De breedte van de 'Varensvreugd' is 19.80 m. Daarmee wordt  $\Delta T_1 = 0.8$  m.

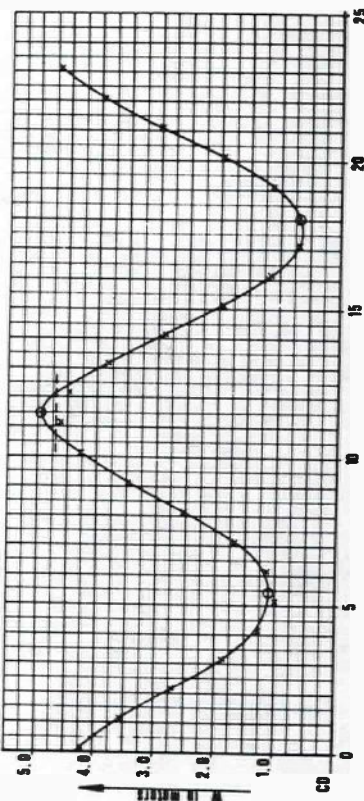
De maximale diepgangsvemeerdeering in open water  $\Delta T_2$  ten gevolge van 'squat' kan berekenen worden met de formule

(23)

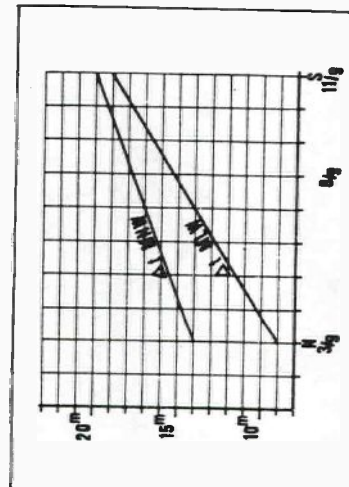
$\Delta T_2 = 0.01 C_B v^2$

De blokcoëfficiënt van de 'Varensvreugd' is 0.68 en de manoeuvreervaart bedraagt 12 kn. Daarmee wordt  $\Delta T_2 = 1.0$  m.

We nemen nu  $UKC = \Delta T_1 + \Delta T_2 = 1.8$  m waarbij verwacht wordt dat de diepgangsver-



Figuur 4.33



Figuur 4.32

Interpoleren (zie figuur 4.32) geeft voor 8 september  
 $\Delta t$  bij LW is +15<sup>m</sup>  
 $\Delta t$  bij HW is +18<sup>m</sup>.

Het Nederlandse schip 'Varensvreugd' zal op 8 september 1980 in Londen aankomen. De route is gepland door Princess Channel met een minste diepte volgens de kaart van 5.2 m in positie X(51° 29'.1 N, 001° 08'.0 E). De diepgang bedraagt 7.8 m.  
 Uit 'Tidal Stream Atlas and Co-tidal Charts Thames Estuary' NP 249 zien we dat we moeten uitgaan van Standard Port Margate (zie A2.7, 4.2.8, A2.9, A2.10, A2.11 en A2.12). De leeftijd van het dubbeldagsgetij is (formule 4.15)

$$= \frac{g_{s2} - g_{M2}}{\omega_{s2} - \omega_{M2}} + s = \\ \frac{34^\circ - 342^\circ}{1^\circ 0159} + 0^\circ = \frac{394^\circ - 342^\circ}{1^\circ 0159} = 51^\circ 2 = 2^{d} 3^{h} 2^{m}$$

Het is 9 september 1980 NM (zie NA), dus is het 11 september springtij. Op 1 september was het UK, zodat het 3 september doodtij was.  
 De dagen van springtij en doodtij kunnen we ook bepalen m.b.v. de getijtafel als de dagen waarop het verval maximaal, respectievelijk miniemaal is.

of meer en een evengrote kans op een verhoging van 0.4 m of meer. We kunnen dus zeggen dat de uitspraak: 'De opgegeven hoogte bij HW, W, liggen W - 0.35 en W + 0.4.' een betrouwbaarheid heeft van 90%.  
 Voor de tijdstippen van HW en LW zijn dergelijke gegevens niet beschikbaar. De bewering, dat afwijkingen in deze tijdstippen minder dan 1.5 minuten bedragen, heeft waarschijnlijk een betrouwbaarheid van 90%.  
 Dit soort gegevens is echter plaatssafankelijk. Algemeen geldende uitspraken over de nauwkeurigheid van getijgegevens zijn moeilijk te geven.

#### 4.8 Samenvatting.

Teneinde de samenhang te tonen tussen de diverse getijaspecten en de navigatie zal een berekening worden gegeven voor een schip, dat bij het anlopen van een haven te maken krijgt met een te geringe diepte gedurende een bepaalde periode.

Het Nederlandse schip 'Varensvreugd' zal op 8 september 1980 in Londen aankomen. De route is gepland door Princess Channel met een minste diepte volgens de kaart van 5.2 m in positie X(51° 29'.1 N, 001° 08'.0 E). De diepgang bedraagt 7.8 m.  
 Uit 'Tidal Stream Atlas and Co-tidal Charts Thames Estuary' NP 249 zien we dat we moeten uitgaan van Standard Port Margate (zie A2.7, 4.2.8, A2.9, A2.10, A2.11 en A2.12). De leeftijd van het dubbeldagsgetij is (formule 4.15)

We berekenen nu met *formule 4.7* de waterstand W voor Margate met intervallen van een uur. Hiervan maken we een tabel, die we aanvullen met de dagelijkse verwachting uit de getijtafel. Zie A2.14.  
 Interpolerenderwijs verdelen we de tijdschillen  $\Delta t$  zo goed mogelijk. We maken nu een tabel voor positie X. De tijden leiden we af uit die voor Margate door toepassing van  $\Delta t$  en de waterstanden W door vermenigvuldiging met de range factor 1.10.

Figuur 4.33

TABLE VI

## A.2 Overdrukken uit nautische publikaties.

## SEASONAL VARIATIONS IN HARMONIC CONSTANTS

Recent investigations have shown that, in some areas, apparent seasonal variations may occur in the larger harmonic constants. These sometimes are areas where large seasonal variations in sea level occur or where there are marked changes in meteorological effects, such as those due to Monsoons. These effects have also been found in other parts of the world, such as the British Isles. It is only possible to identify these effects if at least one complete year's data is available.

It is possible to include these effects in the Admiralty Method of Tidal Prediction N.P.159 by the use of special values of the harmonic constants, adjusted for the time of year for which the prediction is required. Monthly values are listed below for those ports and constants for which the data are available.

The values of "g" are given in the same Zone Time as that used for the particular port in Part II of the "Tables".

JOURNAL

## NETHERLANDS

No.	PLACE	Lat. N. Long. E.	TIME DIFFERENCES		HEIGHT DIFFERENCES (IN METRES)				M.L. m.	HARMONIC CONSTANTS (Zone -0100)						S.W. CORRECTIONS			
			High Water (Zone -0100)	Low Water (Zone -0100)	MHWs	MHWN	MLWN	MLWS		$\theta^{\circ}$	M <sub>1</sub>	S <sub>1</sub>	K <sub>1</sub>	O <sub>1</sub>	f <sub>1</sub>	diurnal	f <sub>2</sub>	diurnal	F <sub>2</sub>
1431	HELGOLAND	(see page 174)	—	—	—	—	—	—	—	2.6	2.3	0.4	0.0	—	—	—	—	—	
1482	Terschelling Zeegat	Stortemelk	53 19 5 05	-0355	-0355	-0329	-0329	-0.6	-0.5	+0.2	+0.2	0	0	0	0	0	0	0	0
1483	West Terschelling	N 53 22 5 13	-0430	-0430	-0313	-0313	-0.5	-0.4	+0.3	+0.3	1.31	0	0	0	0	0	0	0	0
1484	Waddenzee	Vlieland	53 18 5 03	-0333	-0333	-0316	-0316	-0.8	-0.7	+0.1	+0.1	0	0	0	0	0	0	0	0
1485	Harlingen	N 53 10 5 25	-0142	-0142	-0120	-0120	-0.4	-0.4	+0.2	+0.2	1.35	282	0.80	0.30	0.38	0.07	0	0	0
1486	Kornwerderzand	N 53 04 5 20	-0211	-0211	-0212	-0212	-0.3	-0.4	+0.3	+0.3	0	0	0	0	0	0	0	0	0
1487	Den Oever	N 52 56 5 03	-0315	-0315	-0316	-0316	-0.5	-0.5	+0.1	+0.3	0	0	0	0	0	0	0	0	0
1488	De Tazel	Schulpengat	52 56 4 42	-0424	-0424	-0509	-0509	-0.8	-0.7	+0.3	+0.3	0	0	0	0	0	0	0	0
1489	Den Helder	N 52 58 4 45	-0359	-0359	-0431	-0431	-0.7	-0.7	+0.1	+0.2	1.15	194	0.63	262	0.18	0.09	0	0	0

1505 HOEK VAN HOLLAND (see page 186) 0400 1000 1100 0400  
and and and and 2100 2200 2300 1600 2.0 1.7 0.4 0.3

1500 Petten	N 52 45 4 40	+0110	+0036	+0351	+0.2	-0.2	+0.2	0.0	-0.1	0	0	0	0	0	0	0	0	0
501 IJmuiden	N 52 28 4 24	+0050	+0051	+0357	+0.1	0.1	0.0	+0.1	0.0	1.10	135	0.69	204	0.17	0.01	0.08	194	0.12
502 Katwijk	N 52 13 4 24	+0024	+0023	+0328	+0.1	0.1	0.0	+0.1	0.0	0	0	0	0	0	0	0	0	0
503 Scheveningen	N 52 06 4 16	+0011	+0008	+0026	+0.1	0.1	0.0	+0.2	0.0	0	0	0	0	0	0	0	0	0

1505 HOEK VAN HOLLAND 51 59 4 07 STANDARD PORT See Table V

506 New Waterway	Maastricht	51 55 4 15	+0100	0	+0121	0	-0.3	-0.2	0.0	0.0	0	0	0	0	0	0	0	0	
507 Nieuwe Maas	Vlaardingen	N 51 54 4 21	+0126	+0129	+0147	+0157	+0.1	+0.1	0.0	0.0	0	0	0	0	0	0	0	0	
508 Rotterdam	N 51 55 4 29	+0204	+0256	+0215	+0227	+0.1	+0.1	0.0	0.0	0	1.14	144	0.82	209	0.18	0.23	0.06	215	0.09
Leie	Krimpen	51 53 4 38	+0242	+0230	+0301	+0311	-0.1	+0.2	0.0	0.0	0	0	0	0	0	0	0	0	*1
510 Streefkerk	N 51 54 4 45	+0256	+0242	+0333	+0343	+0.1	+0.1	+0.1	+0.1	0	0	0	0	0	0	0	0	0	*1
511 Schoonhoven	N 51 57 4 51	+0316	+0302	+0412	+0424	-0.2	-0.1	+0.1	+0.1	0	0	0	0	0	0	0	0	0	*1

Oude Maas Spijkenisse Puttershoek

512	51 51 4 20	+0142	+0134	+0143	+0157	+0.1	+0.1	+0.1	+0.1	0.0	0.0	0	0	0	0	0	0	0
513	51 48 4 35	+0234	+0225	+0231	+0242	+0.3	+0.3	+0.3	+0.3	-0.1	0.0	0	0	0	0	0	0	0
514 De Noord	Alblaserdam	51 52 4 39	+0238	+0224	+0257	+0306	+0.2	+0.2	0.0	0.0	0	0	0	0	0	0	0	0
515 De Kil	's-Gravendeel	51 47 4 37	+0233	+0225	+0219	+0235	+0.4	+0.4	0.0	0.0	0	0	0	0	0	0	0	0

Mermode Dordrecht Sliedrecht

N 51 49 4 40	+0250	+0237	+0252	+0301	+0.3	+0.3	0.0	0.0	0	0	0	0	0	0	0	0	0	0
N 51 50 4 02	+0035	+0045	+0100	+0035	+0.2	+0.2	0.0	0.0	0	0	0	0	0	0	0	0	0	0

Haringvlietluizen Bruinisse Steenbergsche vliet

N 51 50 4 02	+0035	+0045	+0100	+0035	+0.2	+0.2	0.0	0.0	0	0	0	0	0	0	0	0	0	0
51 40 4 06	+0042	+0033	-0022	-0041	+1.7	-1.3	+0.1	0.0	0	0	0	0	0	0	0	0	0	0
51 38 4 15	+0053	+0046	+0006	-0013	+1.4	+1.1	+0.1	0.0	0	0	0	0	0	0	0	0	0	0

VLISSINGEN (FLUSHING) (see page 190) 0200 0800 0800 0200 4.8 3.9 1.0 0.4

Schouwen Bank	51 47 3 26	+0040	+0040	-0034	-0034	-2.4	-1.9	-0.5	-0.3	0	0	0	0	0	0	0	0	0
Ooster Schelde Zierikzee	N 51 38 3 55	+0139	+0105	+0030	+0044	-1.3	-1.0	-0.5	-0.2	1.81	0.85	1.38	144	0.35	0.14	0.07	206	0.11
Sas van Goids Wemeldinge	N 51 33 3 55	+0159	+0125	+0056	+0100	-1.0	-0.7	-0.3	-0.2	2.57	0.69	1.82	130	0.49	0.19	0.07	205	0.11

Wester Schelde Westkapelle

51 31 3 27	-0025	-0030	-0025	-0030	-0.5	-0.5	-0.1	-0.1	0	0	0	0	0	0	0	0	0	0
51 27 3 36	STANDARD PORT	See Table V								2.44	0.60	1.73	1.18	0.48	0.11	0.06	190	0.10

VLISSINGEN (FLUSHING) (see page 190) 0200 0800 0800 0200 4.8 3.9 1.0 0.4

Borsele Terneuzen	N 51 25 3 44	+0031	+0026	+0028	+0024	0.0	0.0	-0.1	0	0	0	0	0	0	0	0	0	0
Hansweerd	N 51 25 4 00	+0132	+0050	+0113	+0057	+0.5	+0.5	-0.1	-0.1	2.71	0.83	1.96	146	0.51	0.19	0.07	207	0.12
Bath	N 51 24 4 12	+0201	+0134	+0167	+0125	+0.7	+0.6	-0.1	-0.2	0	0	0	0	0	0	0	205	0.11

ANTWERP (PROSPER POLDER) (see page 194) 0400 1000 1000 0400 5.6 4.3 0.9 0.6

1431	0.0	+0.1	+0.1	0.0	-0.1	0.0	0.0	0.0	0.0	0.0	0.0	0.0	0.0	0.0	0.0	0.0	0.0	0.0
1482-1502	0.0	0.0	-0.1	-0.1	-0.1	0.0	0.0	0.0	0.0	0.0	0.0	0.0	0.0	0.0	0.0	0.0	0.0	0.0
1503-1528	0.0	0.0	-0.1	-0.1	-0.1	0.0	0.0	0.0	0.0	0.0	0.0	0.0	0.0	0.0	0.0	0.0	0.0	0.0
1529-1550b	-0.1	-0.1	0.0	0.0	0.0	-0.1	-0.1	-0.1	-0.1	0.0	0.0	0.0	0.0	0.0	0.0	0.0	0.0	0.0
1540-1565	0.0	0.0	-0.1	-0.1	-0.1	0.0	0.0	0.0	0.0	0.0	0.0	0.0	0.0	0.0	0.0	0.0	0.0	0.0

Vlielingen Sluis Zeebrugge Ostend Nieuport

51 23 3 29	-0026	-0023	-0014	-0020	0.0	-0.2	0.0	-0.1	0	0	0</td

Tabel II. GETUICONTANTEN AAN DE NEDERLANDSE KUST (totaalstand voor 1955)

JANUARY												FEBRUARY														
DAY			H2			S2			K1			01			DAY			H2			S2			K1		
	H	F	A	F	A	F	A	F	A	F	A	F	A	F	A	F	A	F	A	F	A	F	A	F		
1	327	1.04	002	0.84	001	1.27	330	0.84	1.00	0.94	013	1.00	364	0.93	034	0.76	362	0.91	057	0.75	361	0.90	081	0.74		
2	352	1.02	003	0.85	001	1.24	355	0.82	1.00	0.92	013	1.01	362	0.90	057	0.75	361	0.90	081	0.74	361	0.90	081	0.74		
3	315	0.99	003	0.85	001	1.24	355	0.82	1.00	0.92	013	1.01	361	0.90	057	0.75	361	0.90	081	0.74	361	0.90	081	0.74		
4	359	0.97	004	0.85	001	1.24	355	0.82	1.00	0.92	013	1.01	361	0.90	057	0.75	361	0.90	081	0.74	361	0.90	081	0.74		
5	602	0.94	004	0.85	001	1.18	359	1.15	0.68	0.76	5	090	0.89	1.04	1.04	337	0.91	150	0.72	339	0.89	084	0.73			
6	685	0.92	005	0.85	001	1.24	359	1.12	092	0.73	6	112	0.89	1.04	1.04	337	0.91	150	0.72	339	0.89	084	0.73			
7	107	0.91	005	0.85	001	1.24	358	1.10	115	0.73	7	134	0.89	1.04	1.04	337	0.91	150	0.72	339	0.89	084	0.73			
8	129	0.89	006	0.86	001	1.24	357	1.09	138	0.72	8	155	0.90	1.04	1.05	336	0.91	150	0.72	339	0.89	084	0.73			
9	151	0.88	006	0.86	001	1.24	356	1.08	161	0.72	9	177	0.92	1.04	1.06	336	0.91	150	0.72	339	0.89	084	0.73			
10	172	0.89	007	0.87	001	1.24	355	1.08	183	0.72	10	199	0.92	1.04	1.06	336	0.91	150	0.72	339	0.89	084	0.73			
A <sub>0</sub>	2	000	000	000	000	000	000	000	000	000	000	000	000	000	000	000	000	000	000	000	000	000	000			
K <sub>1</sub>	H <sub>cum</sub>	—	—	—	—	—	—	—	—	—	—	—	—	—	—	—	—	—	—	—	—	—	—	—		
O <sub>1</sub>	H <sub>cum</sub>	—	—	—	—	—	—	—	—	—	—	—	—	—	—	—	—	—	—	—	—	—	—	—		
P <sub>1</sub>	H <sub>cum</sub>	—	—	—	—	—	—	—	—	—	—	—	—	—	—	—	—	—	—	—	—	—	—	—		
Q <sub>1</sub>	H <sub>cum</sub>	—	—	—	—	—	—	—	—	—	—	—	—	—	—	—	—	—	—	—	—	—	—	—		
M <sub>2</sub>	H <sub>cum</sub>	—	—	—	—	—	—	—	—	—	—	—	—	—	—	—	—	—	—	—	—	—	—	—		
S <sub>2</sub>	H <sub>cum</sub>	—	—	—	—	—	—	—	—	—	—	—	—	—	—	—	—	—	—	—	—	—	—	—		
N <sub>2</sub>	H <sub>cum</sub>	—	—	—	—	—	—	—	—	—	—	—	—	—	—	—	—	—	—	—	—	—	—	—		
K <sub>2</sub>	H <sub>cum</sub>	—	—	—	—	—	—	—	—	—	—	—	—	—	—	—	—	—	—	—	—	—	—	—		
T <sub>2</sub>	H <sub>cum</sub>	—	—	—	—	—	—	—	—	—	—	—	—	—	—	—	—	—	—	—	—	—	—	—		
Y <sub>2</sub>	H <sub>cum</sub>	—	—	—	—	—	—	—	—	—	—	—	—	—	—	—	—	—	—	—	—	—	—	—		
2MS <sub>2</sub>	H <sub>cum</sub>	—	—	—	—	—	—	—	—	—	—	—	—	—	—	—	—	—	—	—	—	—	—	—		
L <sub>2</sub>	H <sub>cum</sub>	—	—	—	—	—	—	—	—	—	—	—	—	—	—	—	—	—	—	—	—	—	—	—		
T <sub>2</sub>	H <sub>cum</sub>	—	—	—	—	—	—	—	—	—	—	—	—	—	—	—	—	—	—	—	—	—	—	—		
A <sub>2</sub>	H <sub>cum</sub>	—	—	—	—	—	—	—	—	—	—	—	—	—	—	—	—	—	—	—	—	—	—	—		
SM <sub>2</sub>	H <sub>cum</sub>	—	—	—	—	—	—	—	—	—	—	—	—	—	—	—	—	—	—	—	—	—	—	—		
MS <sub>2</sub>	H <sub>cum</sub>	—	—	—	—	—	—	—	—	—	—	—	—	—	—	—	—	—	—	—	—	—	—	—		
IK <sub>3</sub>	H <sub>cum</sub>	—	—	—	—	—	—	—	—	—	—	—	—	—	—	—	—	—	—	—	—	—	—	—		
IO <sub>3</sub>	H <sub>cum</sub>	—	—	—	—	—	—	—	—	—	—	—	—	—	—	—	—	—	—	—	—	—	—	—		
MO <sub>3</sub>	H <sub>cum</sub>	—	—	—	—	—	—	—	—	—	—	—	—	—	—	—	—	—	—	—	—	—	—	—		
M <sub>4</sub>	H <sub>cum</sub>	—	—	—	—	—	—	—	—	—	—	—	—	—	—	—	—	—	—	—	—	—	—	—		
MS <sub>4</sub>	H <sub>cum</sub>	—	—	—	—	—	—	—	—	—	—	—	—	—	—	—	—	—	—	—	—	—	—	—		
MM <sub>4</sub>	H <sub>cum</sub>	—	—	—	—	—	—	—	—	—	—	—	—	—	—	—	—	—	—	—	—	—	—	—		
3MS <sub>4</sub>	H <sub>cum</sub>	—	—	—	—	—	—	—	—	—	—	—	—	—	—	—	—	—	—	—	—	—	—	—		
4MS <sub>4</sub>	H <sub>cum</sub>	—	—	—	—	—	—	—	—	—	—	—	—	—	—	—	—	—	—	—	—	—	—	—		
M <sub>5</sub>	H <sub>cum</sub>	—	—	—	—	—	—	—	—	—	—	—	—	—	—	—	—	—	—	—	—	—	—	—		
2MS <sub>5</sub>	H <sub>cum</sub>	—	—	—	—	—	—	—	—	—	—	—	—	—	—	—	—	—	—	—	—	—	—	—		
4MS <sub>5</sub>	H <sub>cum</sub>	—	—	—	—	—	—	—	—	—	—	—	—	—	—	—	—	—	—	—	—	—	—	—		
M <sub>6</sub>	H <sub>cum</sub>	—	—	—	—	—	—	—	—	—	—	—	—	—	—	—	—	—	—	—	—	—	—	—		
4MS <sub>6</sub>	H <sub>cum</sub>	—	—	—	—	—	—	—	—	—	—	—	—	—	—	—	—	—	—	—	—	—	—	—		
11	209	1.05	008	1.21	309	0.72	279	0.62	057	1.04	16	028	1.26	357	1.16	225	0.77	133	1.04	350	0.98	162	0.81			
12	234	1.11	008	1.21	308	0.71	305	0.61	17	055	1.23	358	1.19	246	0.61	355	1.13	219	0.89	281	0.81	162	0.81			
13	260	1.16	008	1.22	307	0.70	303	0.61	18	055	1.21	356	1.12	221	0.61	355	1.12	219	0.89	281	0.81	162	0.81			
14	286	1.21	008	1.22	308	0.71	304	0.61	19	055	1.20	356	1.11	220	0.61	355	1.11	219	0.89	281	0.81	162	0.81			
20	094	1.23	006	1.23	305	0.68	300	0.61	20	135	1.09	209	0.99	14	332	0.75	235	0.66	164	0.86	216	0.86	164	0.86		
25	221	0.98	006	1.22	306	0.54	173	0.71	21	135	1.09	209	0.99	15	000	1.27	357	1.17	228	0.73	164	0.86	164	0.86		
26	263	0.94	006	1.22	305	0.60	329	0.77	21	271	0.89	354	0.75	227	0.89	354	1.11	228	0.73	164	0.86	164	0.86			
28	287	0.90	003	1.22	305	0.54	281	0.61	29	337	0.89	353	0.74	227	0.89	353	1.09	228	0.73	164	0.86	164	0.86			
30	331	0.89	002	1.22	305	0.63	302	0.77	31	339	0.91	353	0.74	227	0.89	353	1.08	228	0.73	164	0.86	164	0.86			
31	353	0.89	002	1.22	305	0.63	302	0.77	32	359	0.91	353	0.74	227	0.89	353	1.08	228	0.73	164	0.86	164	0.86			

derdejaar 1951—1960.

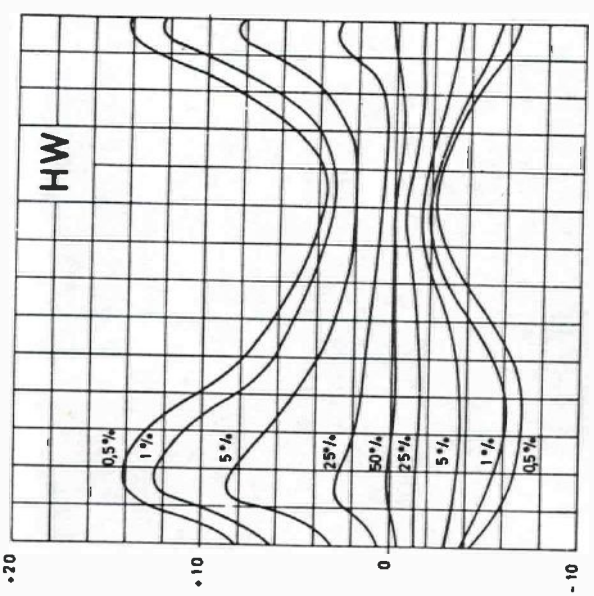
Lopend jaartal (0) heeft betrekking op MET, willekeurige periode.

derdejaar 1951—1960.

APRIL

MARCH												APRIL											
DAY			H2			S2			K1			01											

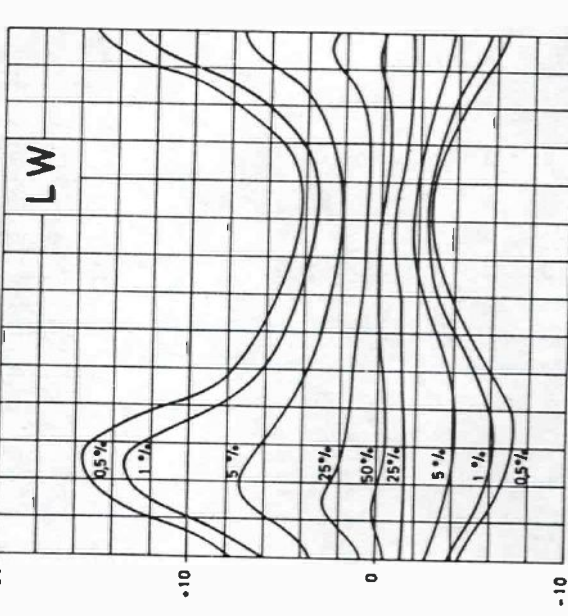
**HOEK VAN HOLLAND**  
**HOOK OF HOLLAND**



deviatie ten opzichte van de voorespelde HW-staand dm  
deviation with respect to the predicted HW-level dm

OCT  
NOV  
OKT  
SEP  
AUG  
JUL  
JUN  
MEI  
APR  
FEB  
JAN  
DEC  
NOV  
OKT

overschrijdings-, resp. onderschrijdingskans voor één getij  
probability that one tide will deviate more than the indicated value



deviatie ten opzichte van de voorespelde LW-staand dm  
deviation with respect to the predicted LW-level dm

10

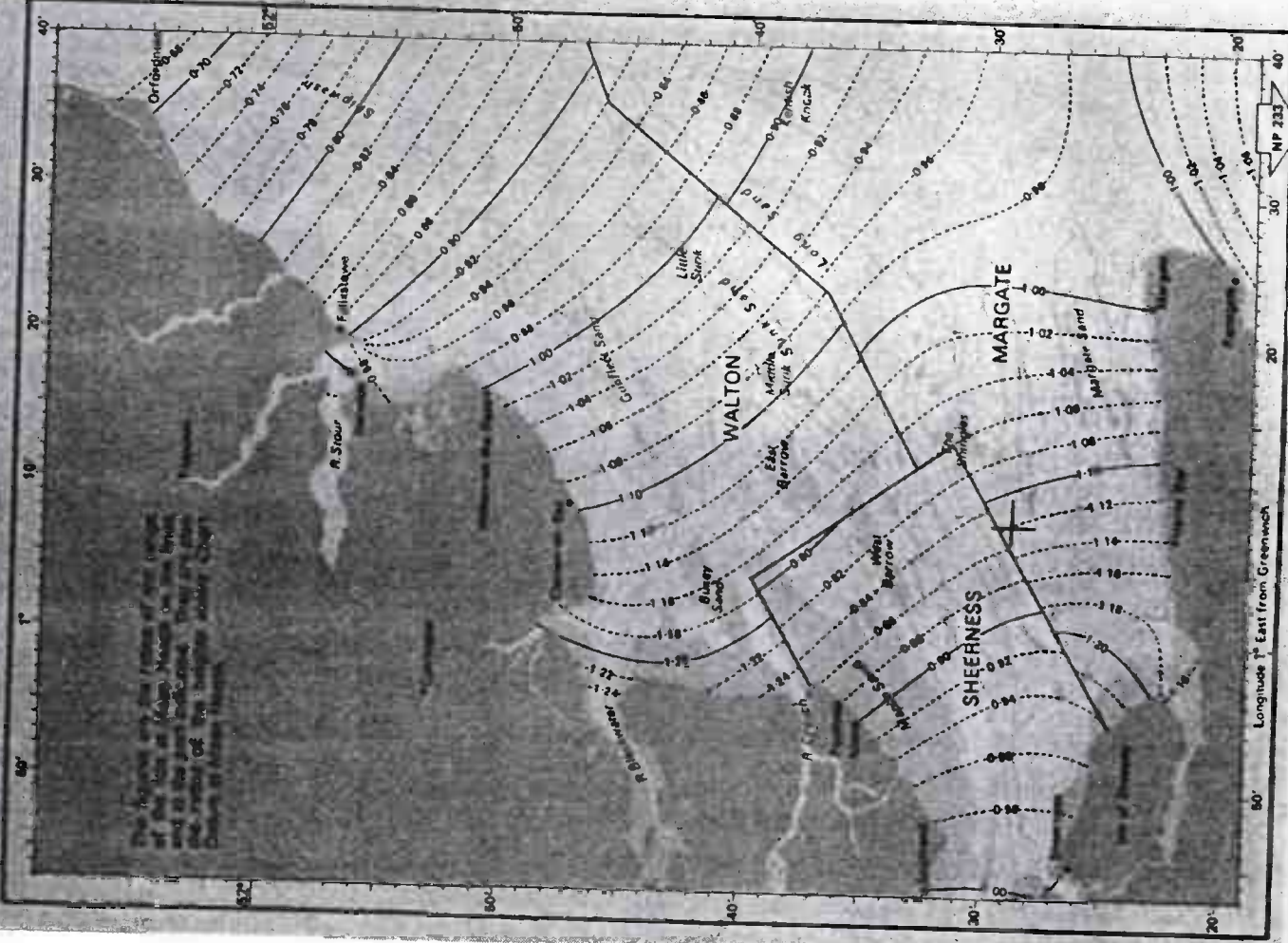
Figure 4  
Figure 4

OCTOBER																																																												
SEPTEMBER			OCTOBER			NOVEMBER			DECEMBER																																																			
M2	\$2	K1	M2	\$2	K1	M2	\$2	K1	M2	\$2	K1																																																	
A Y A	F	A	F	A	F	A Y A	F	A	F	A	F																																																	
1 157 1.18 0.06 1.11 135 0.88 0.99 1 174 1.11 356 1.22 0.66	2 183 1.14 0.06 1.12 135 0.85 0.99 2 199 1.05 355 1.22 0.64	3 209 1.09 0.06 1.12 134 0.81 0.99 3 223 1.00 355 1.22 0.62	4 236 1.05 0.05 1.13 134 0.78 0.92 4 246 0.96 355 1.22 0.59	5 258 1.01 0.05 1.14 134 0.74 1.42 5 268 0.93 355 1.22 0.56	6 281 0.97 0.05 1.14 134 0.70 1.67 6 290 0.91 354 1.22 0.52	7 304 0.93 0.04 1.15 133 0.66 1.90 7 312 0.90 354 1.22 0.51	8 327 0.91 0.04 1.15 132 0.63 2.14 8 334 0.89 353 1.22 0.50	9 349 0.91 0.04 1.16 130 0.59 2.37 9 356 0.89 353 1.22 0.50	0 011 0.90 0.03 1.16 128 0.56 2.60 10 018 0.89 353 1.22 0.51	1 036 0.90 0.03 1.17 126 0.54 284 11 040 0.89 352 1.22 0.51	2 056 0.89 0.03 1.17 125 0.52 307 12 062 0.89 352 1.21 0.51	3 076 0.88 0.02 1.18 125 0.51 330 13 084 0.89 352 1.21 0.51	4 100 0.88 0.02 1.18 117 0.51 335 14 106 0.91 351 1.21 0.51	5 121 0.89 0.01 1.18 116 0.52 035 15 128 0.93 351 1.21 0.51	6 143 0.90 0.01 1.19 111 0.53 038 16 150 0.96 351 1.21 0.51	7 165 0.93 0.01 1.19 108 0.55 061 17 173 1.01 350 1.21 0.51	8 187 0.97 0.00 1.19 106 0.58 064 18 197 1.06 350 1.20 0.51	9 210 1.02 0.00 1.20 106 0.61 108 19 223 1.11 350 1.19 0.51	0 235 1.07 0.00 1.20 102 0.64 134 20 249 1.16 350 1.19 0.51	1 260 1.13 0.00 1.21 101 0.68 160 21 276 1.21 349 1.19 0.51	2 287 1.18 0.00 1.21 099 0.71 188 22 303 1.25 349 1.19 0.51	3 314 1.22 0.00 1.21 097 0.73 216 23 331 1.27 349 1.18 0.51	4 341 1.25 0.00 1.21 096 0.75 244 24 359 1.28 348 1.18 0.51	5 009 0.9 0.27 358 0.9 0.76 273 25 027 1.08 348 1.18 0.51	6 037 1.28 0.00 1.21 093 0.76 302 26 055 1.25 348 1.17 0.51	7 065 1.28 0.00 1.22 092 0.75 331 27 083 1.22 348 1.17 0.51	8 093 1.24 0.00 1.22 090 0.74 360 28 110 1.17 347 1.16 0.51	9 121 1.20 0.00 1.22 089 0.72 367 29 136 1.17 347 1.16 0.51	0 148 1.16 0.00 1.22 087 0.69 366 30 162 1.07 347 1.15 0.51	1 172 1.14 0.00 1.22 087 0.69 366 31 186 1.01 347 1.15 0.51	2 200 0.96 0.06 347 1.14 0.05 0.81 149 0.82 286 0.76 323 0.75 0.87	3 232 0.93 0.06 346 1.14 0.05 0.81 173 0.79 347 0.76 347 0.75 0.87	4 253 0.90 0.06 346 1.13 0.05 0.79 195 0.77 347 0.76 347 0.75 0.87	5 297 0.88 0.06 346 1.12 0.05 0.79 218 0.76 348 0.76 347 0.75 0.87	6 318 0.88 0.06 346 1.11 0.05 0.81 263 0.75 348 0.76 347 0.75 0.87	7 340 0.89 0.06 346 1.11 0.05 0.83 286 0.75 348 0.76 347 0.75 0.87	8 003 0.89 0.06 346 1.10 0.05 0.83 309 0.76 348 0.76 347 0.75 0.87	9 025 0.90 0.06 345 1.09 0.05 0.82 333 0.77 349 0.76 347 0.75 0.87	0 047 0.91 0.06 345 1.09 0.05 0.82 356 0.77 349 0.76 347 0.75 0.87	1 069 0.92 0.06 345 1.08 0.05 0.91 0.79 11 079 0.99 350 0.88 0.87	2 092 0.96 0.06 345 1.07 0.05 0.92 0.82 12 103 1.02 350 0.87 0.87	3 114 0.97 0.06 345 1.07 0.05 0.92 0.82 13 106 1.02 350 0.87 0.87	4 138 1.00 0.06 345 1.06 0.05 0.92 0.83 14 109 1.02 351 0.86 0.86	5 162 1.05 0.06 345 1.05 0.05 0.92 0.91 15 113 0.90 351 0.86 0.86	6 187 1.09 0.06 345 1.05 0.05 0.92 0.93 16 204 1.12 352 0.86 0.86	7 212 1.14 0.06 345 1.04 0.05 0.92 0.93 17 231 1.18 352 0.85 0.86	8 239 1.18 0.06 345 1.03 0.05 0.92 0.93 18 257 1.20 352 0.85 0.86	9 266 1.22 0.06 345 1.02 0.05 0.92 0.93 19 282 1.20 352 0.84 0.86	0 293 1.24 0.06 345 1.02 0.05 0.92 0.93 20 312 1.20 352 0.84 0.86	1 321 1.25 0.06 345 1.01 0.05 0.92 0.93 21 339 1.19 353 0.84 0.86	2 349 1.25 0.06 345 1.00 0.05 0.92 0.93 22 359 1.18 353 0.83 0.86	3 017 1.26 0.06 345 0.99 0.05 0.92 0.93 23 378 1.18 353 0.83 0.86	4 044 1.21 0.06 345 0.99 0.05 0.92 0.93 24 395 1.18 353 0.83 0.86	5 071 1.17 0.06 345 0.98 0.05 0.92 0.93 25 083 1.06 357 0.83 0.86	6 097 1.12 0.06 346 0.97 0.05 0.92 0.93 26 108 1.01 358 0.83 0.86	7 123 1.12 0.06 346 0.97 0.05 0.92 0.93 27 135 0.97 358 0.83 0.86	8 147 1.02 0.06 346 0.96 0.05 0.92 0.93 28 155 0.94 359 0.83 0.86	9 171 0.97 0.06 346 0.95 0.05 0.92 0.93 29 177 0.91 359 0.83 0.86	0 194 0.93 0.06 346 0.94 0.05 0.92 0.93 30 199 0.89 359 0.83 0.86	1 220 0.88 0.06 346 0.93 0.05 0.92 0.93 31 220 0.88 359 0.83 0.86

DECEMBER																														
SEPTEMBER			OCTOBER			NOVEMBER			DECEMBER																					
M2	\$2	K1	M2	\$2	K1	M2	\$2	K1	M2	\$2	K1																			
A Y A	F	A	F	A	F	A Y A	F	A	F	A	F																			
1 209 0.96 0.06 347 1.14 0.05 0.81 149 0.82 286 0.76 323 0.75 0.87	2 232 0.93 0.06 346 1.14 0.05 0.81 173 0.79 347 0.76 347 0.75 0.87	3 253 0.90 0.06 346 1.13 0.05 0.79 195 0.77 347 0.76 347 0.75 0.87	4 275 0.88 0.06 346 1.12 0.05 0.79 218 0.76 348 0.76 347 0.75 0.87	5 297 0.88 0.06 346 1.12 0.05 0.79 241 0.75 348 0.76 347 0.75 0.87	6 318 0.88 0.06 346 1.11 0.05 0.81 263 0.75 348 0.76 347 0.75 0.87	7 340 0.89 0.06 346 1.11 0.05 0.83 286 0.76 348 0.76 347 0.75 0.87	8 003 0.89 0.06 346 1.10 0.05 0.83 309 0.76 348 0.76 347 0.75 0.87	9 025 0.90 0.06 345 1.09 0.05 0.82 333 0.77 349 0.76 347 0.75 0.87	0 047 0.91 0.06 345 1.09 0.05 0.82 356 0.77 349 0.76 347 0.75 0.87	1 069 0.92 0.06 345 1.08 0.05 0.91 0.79 11 079 0.99 350 0.88 0.87	2 092 0.96 0.06 345 1.07 0.05 0.92 0.82 12 103 1.02 350 0.87 0.87	3 114 0.97 0.06 345 1.07 0.05 0.92 0.82 13 106 1.02 351 0.86 0.86	4 138 1.00 0.06 345 1.06 0.05 0.92 0.83 14 109 1.02 351 0.86 0.86	5 162 1.05 0.06 345 1.05 0.05 0.92 0.91 15 113 0.90 351 0.86 0.86	6 187 1.09 0.06 345 1.05 0.05 0.92 0.93 16 204 1.12 352 0.86 0.86	7 212 1.14 0.06 345 1.04 0.05 0.92 0.93 17 231 1.18 352 0.85 0.86	8 239 1.18 0.06 345 1.03 0.05 0.92 0.93 18 257 1.20 352 0.85 0.86	9 266 1.22 0.06 345 1.02 0.05 0.92 0.93 19 282 1.20 352 0.84 0.86	0 293 1.24 0.06 345 1.02 0.05 0.92 0.93 20 312 1.20 352 0.84 0.86	1 321 1.25 0.06 345 1.01 0.05 0.92 0.93 21 339 1.19 353 0.84 0.86	2 349 1.25 0.06 345 1.00 0.05 0.92 0.93 22 359 1.18 353 0.83 0.86	3 017 1.26 0.06 345 0.99 0.05 0.92 0.93 23 378 1.18 353 0.83 0.86	4 044 1.21 0.06 345 0.99 0.05 0.92 0.93 24 395 1.18 353 0.83 0.86	5 071 1.17 0.06 345 0.98 0.05 0.92 0.93 25 083 1.06 357 0.83 0.86	6 097 1.12 0.06 346 0.97 0.05 0.92 0.93 26 108 1.01 358 0.83 0.86	7 123 1.12 0.06 346 0.97 0.05 0.92 0.93 27 135 0.97 358 0.83 0.86	8 147 1.02 0.06 346 0.96 0.05 0.92 0.93 28 155 0.94 359 0.83 0.86	9 171 0.97 0.06 346 0.95 0.05 0.92 0.93 29 177 0.91 359 0.83 0.86	0 194 0.93 0.06 346 0.94 0.05 0.92 0.93 30 199 0.89 359 0.83 0.86	1 220 0.88 0.06 346 0.93 0.05 0.92 0.93 31 220 0.88 359 0.83 0.86

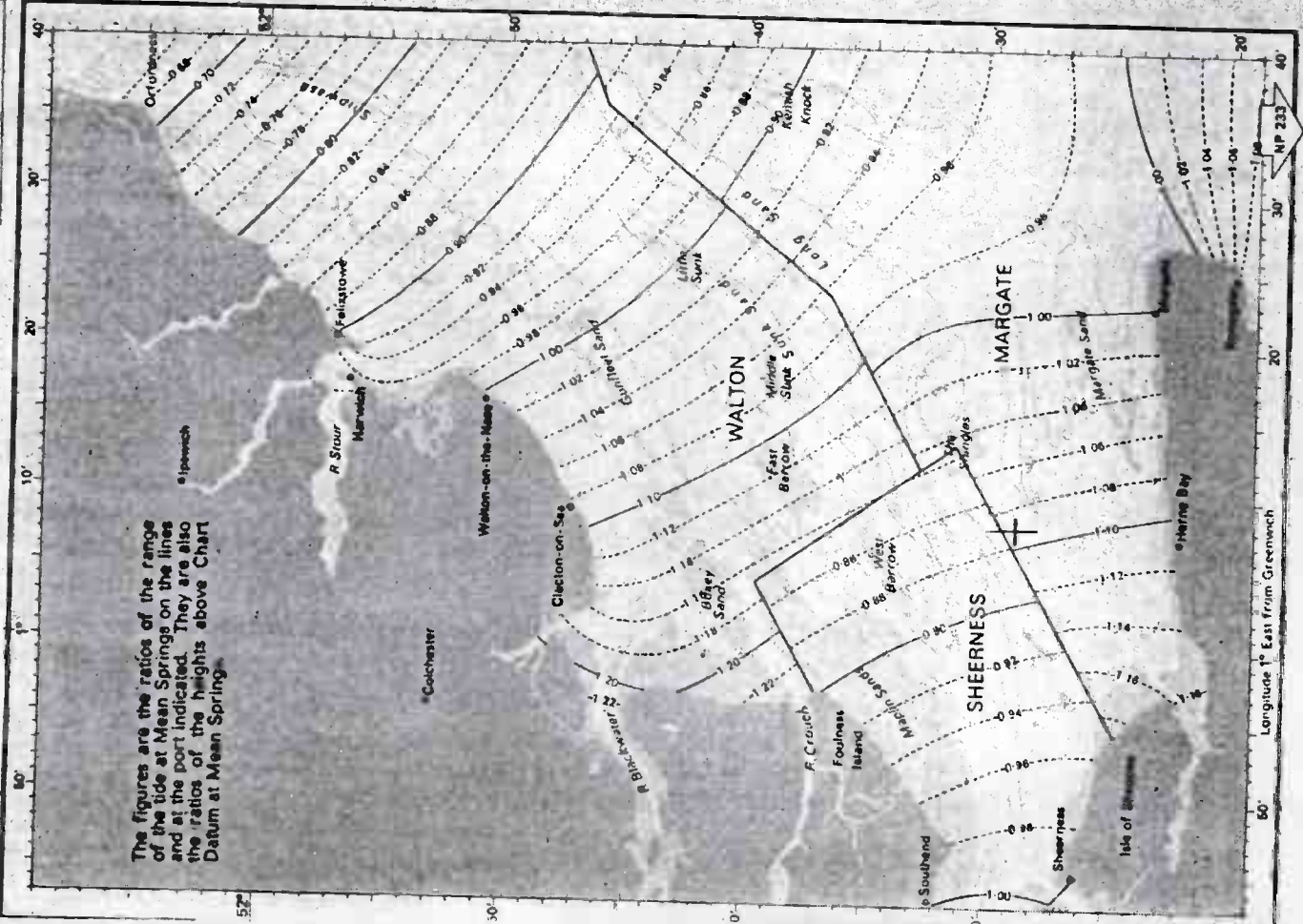
Figure 4  
Figure 4

**A** MEAN N.W.  
**B** RANGE FACTORS

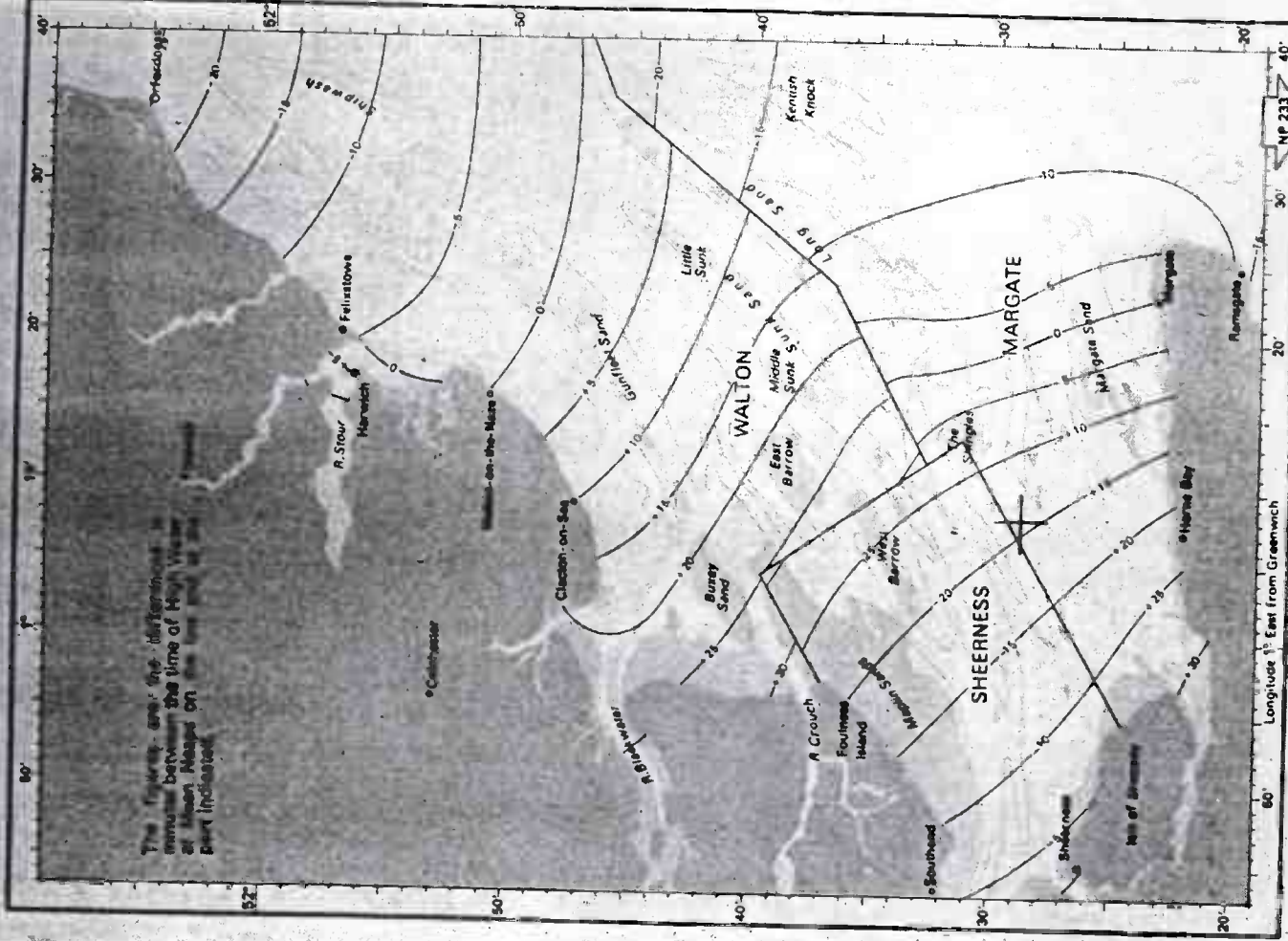


**A** MEAN SPRING  
RANGE FACTORS

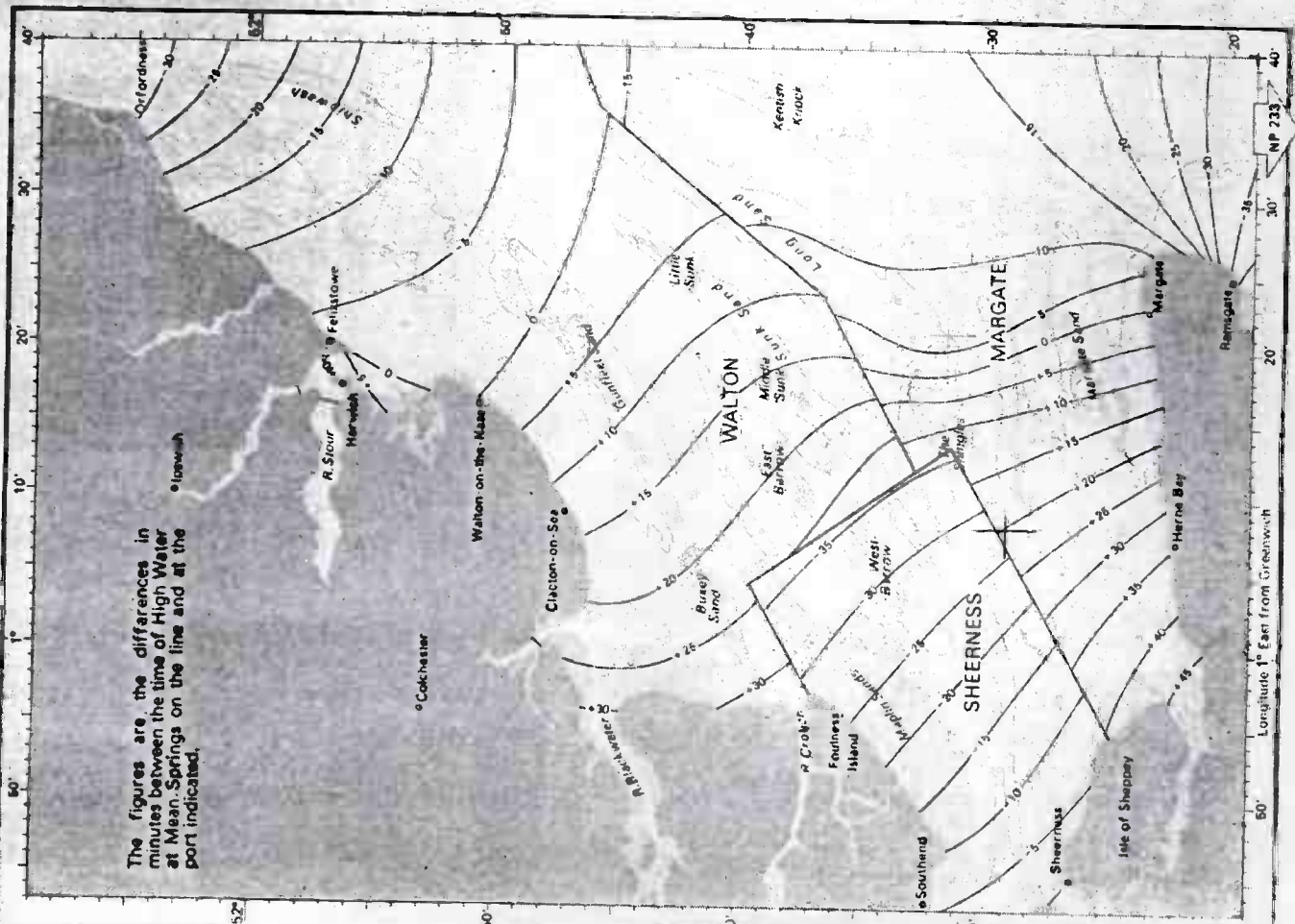
The figures are the ratios of the range of the tide at Mean Spring on the lines and at the port indicated. They are also the ratios of the heights above Chart Datum at Mean Spring.



**D** MEAN NEAP HIGH WATER TIME DIFFERENCES

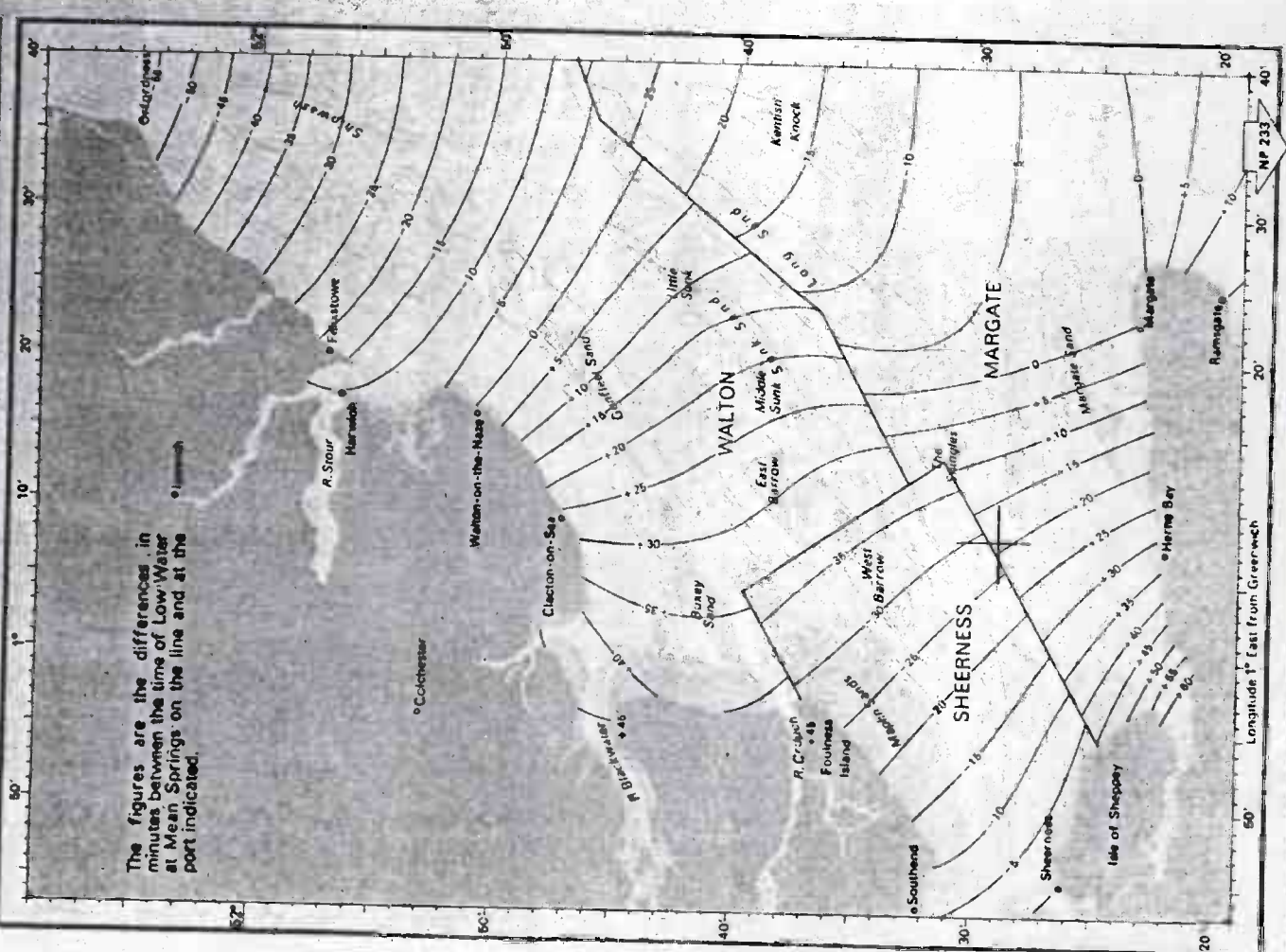


**C** MEAN SPRING HIGH WATER TIME DIFFERENCES



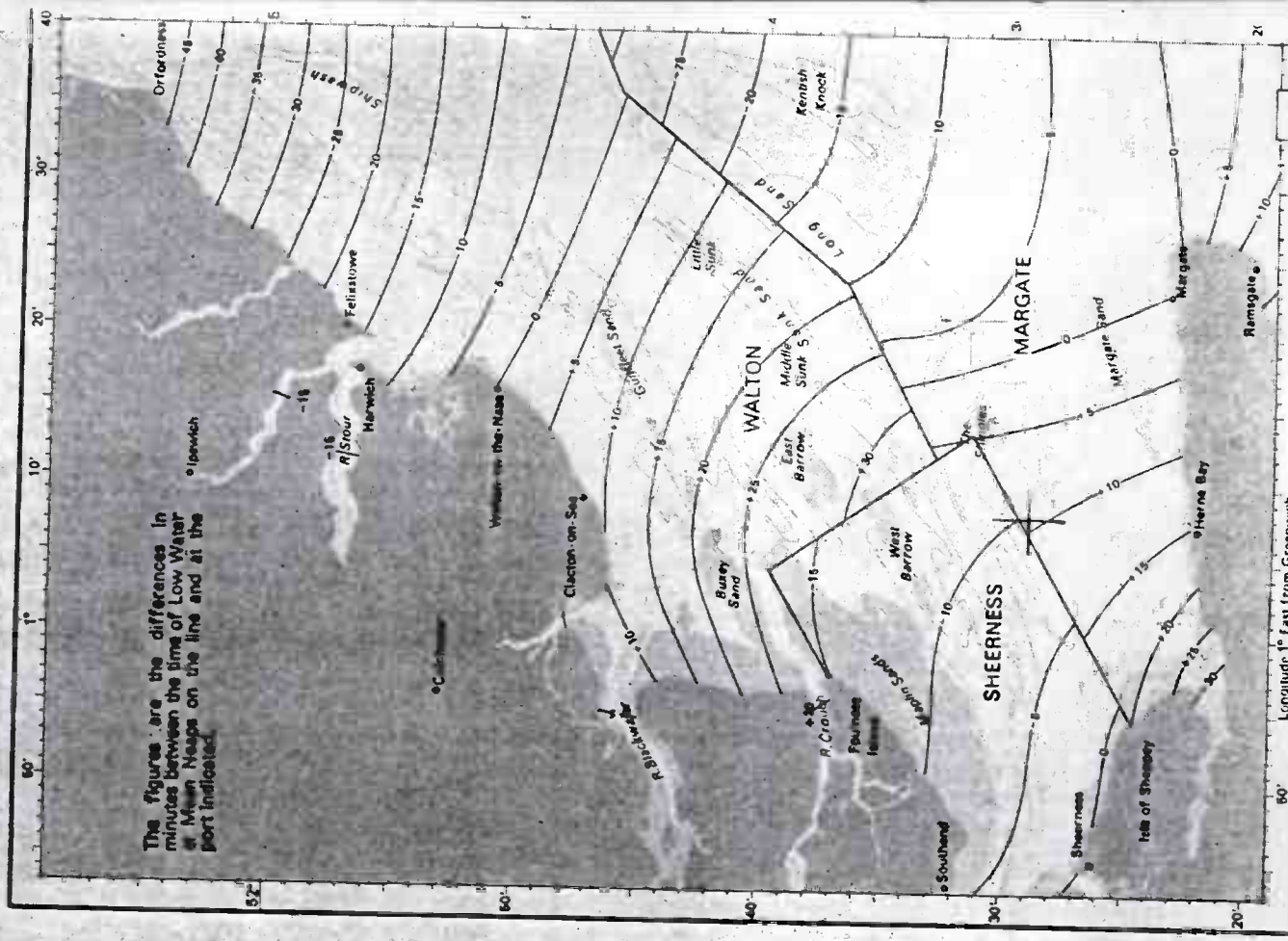
**E** MEAN SPRING  
LOW WATER  
TIME DIFFERENCES

The figures are the differences in minutes between the time of Low Water at Mean Springs on the line and at the port indicated.



**F** MEAN NEAP  
LOW WATER  
TIME DIFFERENCES

The figures are the differences in minutes between the time of Low Water at Mean Neaps on the line and at the port indicated.





## INDIA, EAST COAST: BANGLADESH

PLACE	Lat. N.	Long. E.	TIME DIFFERENCES			HEIGHT DIFFERENCES (IN METRES)			M.L. Z <sub>0</sub> m.	HARMONIC CONSTANTS (Zone -0530)	(Zone -0530)			S.W. CORRECTIONS								
			MHW	MLW	(Zone -0530)	MHWs	MHWN	MLWN	MLWS		M <sub>1</sub> g° H.m.	S <sub>1</sub> g° H.m.	K <sub>1</sub> g° H.m.	O <sub>1</sub> g° H.m.	I-diurnal f <sub>1</sub>	I-diurnal F <sub>1</sub>						
SAGAR ROADS			see page 162			5.2	3.8	2.2	0.9													
India, East Coast																						
Jatash River																						
Sandhead	20 58	88 35	-0022	-0042	-2.4	-1.8	0	0	1.8	0	0	0	0	0	0	0						
Canning Town	21 18	88 40	+0200	+0338	+0.6	+0.7	0	0	2.2	0	0	0	0	0	0	x						
PUSSUR RIVER			see page 165			3.0	2.2	1.3	0.6													
Bangladesh			(Zone -0600)																			
Jumer River																						
Jefford Point	21 43	89 33	-0030	-0035	+0.1	+0.1	+0.1	+0.1	1.87	2.83	0.80	133	0.35	004	0.11	324	0.06	319	0.015	035	0.032	
ENTRANCE (HIRAN POINT)	21 48	89 28	STANDARD PORT			See Table V				1.77	2.87	0.80	130	0.36	025	0.08	325	0.08	298	0.018	034	0.027
Sundar Kotu Reach	22 08	89 34	+0125	+0140	+0.3	+0.4	+0.2	+0.3	2.1	0	0	0	0	0	0	0	0	0	0	0	x	
Jayman Reach	22 21	89 38	+0235	+0256	+0.3	+0.3	+0.3	+0.3	2.1	0	0	0	0	0	0	0	0	0	0	0	x	
Chalna Reach	22 34	89 33	+0322	+0411	+0.2	+0.3	+0.4	+0.3	2.1	0	0	0	0	0	0	0	0	0	0	0	x	
Jatinghati River																						
Tiger Point	21 51	89 30	+0008	-0006	0.0	0.0	0.0	0.0	1.79	302	0.82	349	0.36	357	0.14	342	0.05	267	0.048	0	0	
Duleswar	21 51	90 15	+0030	+0030	-0.2	-0.1	0.0	0.0	1.71	317	0.73	358	0.35	309	0.13	355	0.04	227	0.095	0	0	
Topma River																						
Rabnabad Channel (Patua)	22 04	90 22	+0109	+0158	0.0	+0.2	0.0	+0.3	1.9	336	0.72	028	0.30	032	0.14	004	0.04	260	0.115	0	0	
Meghna Firth	22 23	90 21	+0005	0	+0.2	0	0	0	0	0	0	0	0	0	0	0	0	0	0	0	0	
D'Apres Shoal	22 57	91 07	+0425	0	-0.1	0	0	0	0	0	0	0	0	0	0	0	0	0	0	0	0	
Hatin Bar	22 29	90 57	+0430	0	+1.0	+0.9	+0.2	-0.1	2.26	069	v	111	v	046	0.12	012	0.07	278	0.097	0	0	
HITTAGONG			see page 165			4.0	3.0	2.0	0.5													
Sandwip Island	B	22 30	91 45	+0320	+0320	+1.4	+1.1	+0.8	0.0	2.95	v	v	v	v	025	0.15	001	0.09	189	0.036	0	0
Ilia Ghat	B	22 48	90 39	+0630	+0630	-1.2	-0.7	+0.4	+0.3	1.82	v	v	v	v	082	0.11	037	0.07	275	0.268	0	0
Chandpur.	B	23 15	90 35	+0500	0	-3.3	0	0	0	0	0	0	0	0	0	0	0	0	0	0	0	*
Nareynganj	B	23 27	90 32	+0700	0	-3.1	0	0	0	0	0	0	0	0	0	0	0	0	0	0	0	*
Kormophuli River																						
Norman Point	23 11	91 49	-0119	-0135	+0.6	+0.5	+0.9	+0.3	2.32	359	1.36	030	0.54	351	0.18	354	0.06	240	0.045	0	0	
CHITTAGONG	23 20	91 50	STANDARD PORT			See Table V				2.09	045	1.35	085	0.48	020	0.18	003	0.09	272	0.063	0	0
Untubdia Island	21 52	91 50	-0152	-0222	-0.3	-0.3	-0.3	-0.1	2.04	338	1.38	013	0.56	345	0.17	312	0.10	0	0	0	0	
Cox's Bazar	21 26	91 59	-0250	-0340	-0.6	-0.5	-0.3	-0.1	1.9	303	1.06	340	0.46	351	0.17	008	0.06	216	0.059	0	0	
ASSEIN RIVER ENTRANCE			see page 171			2.4	1.8	1.1	0.4													
St. Martin's Island	20 37	92 19	-0056	-0101	+0.8	+0.5	+0.3	+0.1	1.83	256	0.90	290	0.42	330	0.15	323	0.08	180	0.068	0	0	

Burma	(Zone -0630)										(Zone -0630)											
	I	20 08	92 54	+0004	+0001	0.0	-0.1	-0.3	-0.3	1.27	281	0.78	317	0.35	348	0.14	334	0.06	0	0	0	0
kyab	I	19 26	93 33	-0020	-0033	+0.6	+0.3	0.0	-0.1	1.64	275	0.94	318	0.43	343	0.17	319	0.07	0	0	0	0
Yauk Pyu	I	18 54	93 37	-0017	-0015	+0.4	+0.3	0.0	0.0	1.62	273	0.85	310	0.40	340	0.16	315	0.06	0	0	0	0
earlie Point	I	18 48	93 59	-0013	-0016	+0.4	+0.3	-0.3	1.46	268	0.79	305	0.37	340	0.16	310	0.06	0	0	0	0	
Andrew Bay		18 21	94 21	-0040	-0042	0.0	-0.1	-0.2	-0.2	1.3	263	0.75	299	0.35	340	0.15	306	0.05	0	0	0	0
Gew Bay		17 35	94 34	-0032	-0032	-0.1	-0.2	-0.2	-0.3	1.25	266	0.69	304	0.32	320	0.14	338	0.05	180	0.193	0	0
hsuntha (Kyung Tha)		16 57	94 26	-0037	-0036	-0.2	-0.2	-0.3	-0.2	1.19	265	0.68	304	0.32	325	0.13	326	0.05	0	0	0	0
loyangyi Kyun (Koronge Island)		16 32	94 15	-0043	-0041	-0.4	-0.5	-0.4	-0.4	0.98	263	0.67	302	0.39	343	0.09	280	0.03	186	0.154	0	0
assein River																						
ENTRANCE (Thamihla Kyun)	I	15 52	94 16	STANDARD PORT						1.43	281	0.67	321	0.30	343	0.13	321	0.05	0	0	0	0
Bassein	I	16 47	94 47	+0421	+0447	+0.2	+0.4	+0.4	1.73	051	0.68	099	0.22	050	0.11	034	0.05	233	0.162	0	0	

LEPHANT POINT	see page 174										see notes on page 386											
	6.0	4.9	2.9	0.8	I	16 30	96 18	STANDARD PORT		See Table V	0.0	-0.1	-0.5	-0.8	3.66	0.99	1.80	142	0.73	030	0.23	009
ymbong Beacon	I	15 47	95 29	-0444	-0519	-4.3	-3.3	-1.4	-0.4	1.33	335	0.60	032	0.33	348	0.14	339	0.08	0	0	0	0
China Bakir (Old Light)	I	16 17	96 11	-0023	-0047	-1.8	-1.5	-0.7	-0.3	1.30	085	1.50	130	0.67	028	0.17	355	0.10	251	0.056	0	0
Rangoon River																						
ELEPHANT POINT	I	16 46	96 10	+0445	+0113	-0.8	-0.5	-0.9	-0.2	1.12	126	1.80	171	0.66	036	0.21	017	0.09	247	0.032	129	0.013
Rangoon	I	16 46	96 10	+0445	+0113	-0.8	-0.5	-0.9	-0.2	1.12	126	1.80	171	0.66	036	0.21	017	0.09	249	0.033	128	0.014
Salween River																						
Amherst	I	16 05	97 34	-0117	-0130	-0.5	-0.6	-0.5	-0.8	1.97	060	1.93	102	0.83	003	0.22	336	0.10	268	0.023	0	0
Fernier Crossing	I	16 17	97 38	-0053	-0012	-1.1	-0.9	-0.8	-0.8	1.87	028	1.85	143	0.45	036	0.14	036	0.07	304	0.194	0	0
Moulmein	I	16 29	97 37	-0008	+0110	-2.4	-2.4	-2.0	-0.3	1.87	028	1.85	143	0.45	036	0.14	036	0.07	304	0.194	0	*
ouble Island		15 52	97 35	-0209	-0209	-1.1	-1.3	-0.4	-0.6	1.87	043	1.66	080	0.95	027	0.10	002	0.14	280	0.068	0	0</td

## ENGLAND, EAST COAST - SHEERNESS

LAT 51°27'N LONG 0°55'E

## TIMES AND HEIGHTS OF HIGH AND LOW WATERS

## TIME ZONE GMT

## SEPTEMBER

## OCTOBER

## NOVEMBER

## DECEMBER

## YEAR 1980

## TIME H

TIME AND HEIGHTS OF HIGH AND LOW WATERS											
OCTOBER		NOVEMBER		DECEMBER		YEAR 1980					
TIME	H	TIME	H	TIME	H	TIME	H	TIME	H	TIME	H
1 0645	5.6	16	0.07	5.3	1	0509	5.2	16	0.14	5.2	1
" 1659	5.7	16	0.59	5.2	1	1059	5.3	16	0.52	5.3	1
" 2318	5.4	17	0.23	5.1	1	1734	5.3	TH	1641	5.0	SA
2 0537	5.3	17	0.45	5.1	2	0008	5.0	17	0.52	4.9	2
" 2127	5.3	17	0.58	5.1	2	1209	4.9	TH	1706	4.9	SA
3 0010	1.3	18	0.34	4.8	3	0050	1.7	18	0.65	4.7	3
" 0339	5.1	18	0.51	4.6	3	0221	4.8	TH	1835	4.7	SA
4 0126	1.5	19	0.02	4.6	4	0227	1.7	19	0.12	4.7	4
" 0754	5.0	19	0.61	4.7	4	0246	4.9	TH	1845	5.1	SA
5 0256	1.4	20	0.51	4.7	5	0348	1.7	18	0.65	4.7	5
" 0912	5.1	20	0.86	4.7	5	0559	5.2	TH	1851	5.0	SA
6 0614	1.3	21	0.08	4.6	6	0467	1.2	21	0.12	4.7	6
" 1652	5.0	21	0.52	4.7	6	0455	5.1	TH	1922	4.6	SA
7 0512	1.1	22	0.13	4.6	7	0530	1.1	22	0.12	4.7	7
" 1749	5.7	22	0.51	4.7	7	0553	1.5	TH	1937	5.7	SA
8 0557	1.0	23	0.08	4.5	8	0005	5.6	23	0.07	4.6	8
" 1828	5.6	23	0.50	4.6	8	0005	5.0	TH	1950	5.6	SA
9 0029	5.7	24	0.68	4.7	9	0039	5.6	24	0.62	4.7	9
" 1243	5.6	24	0.21	4.7	9	0036	5.2	TH	1946	5.6	SA
10 0106	5.7	25	0.03	4.6	10	0109	5.6	25	0.03	4.6	10
" 1937	5.6	25	0.59	4.6	10	0127	5.7	TH	1950	5.6	SA
11 0138	5.7	26	0.74	4.6	11	0135	5.7	26	0.04	4.6	11
" 1339	5.6	26	0.27	4.6	11	0134	5.7	TH	1954	5.6	SA
12 0209	5.7	27	0.20	4.6	12	0204	5.7	27	0.20	4.6	12
" 1459	5.6	27	0.76	4.6	12	0205	6.0	TH	2026	5.8	SA
13 0237	5.6	28	0.25	4.7	13	0233	5.7	28	0.35	4.7	13
" 1459	5.6	28	0.82	4.7	13	0233	5.8	TH	2027	5.7	SA
14 0305	5.5	29	0.33	4.7	14	0304	5.6	29	0.35	4.7	14
" 1518	5.5	29	0.89	4.7	14	0304	5.5	TH	2028	5.6	SA
15 0335	5.4	30	0.19	4.6	15	0336	5.4	30	0.19	4.6	15
" 1519	5.4	30	0.75	4.6	15	0336	5.3	TH	2029	5.5	SA
16 0361	5.3	31	0.20	4.6	16	0361	5.3	TH	2029	5.4	SA
" 1527	5.3	31	0.77	4.6	16	0361	5.2	TH	2030	5.3	SA
17 0427	5.2	31	0.23	4.6	17	0427	5.2	TH	2031	5.2	SA
" 1533	5.2	31	0.80	4.6	17	0427	5.1	TH	2032	5.1	SA
18 0496	5.1	31	0.26	4.6	18	0496	5.1	TH	2033	5.0	SA
" 1539	5.1	31	0.83	4.6	18	0496	5.0	TH	2034	4.9	SA
19 0563	5.0	31	0.29	4.6	19	0563	5.0	TH	2035	4.9	SA
" 1542	5.0	31	0.86	4.6	19	0563	4.9	TH	2036	4.8	SA
20 0629	4.9	31	0.32	4.6	20	0629	4.9	TH	2037	4.8	SA
" 1545	4.9	31	0.89	4.6	20	0629	4.8	TH	2038	4.7	SA
21 0696	4.8	31	0.35	4.6	21	0696	4.8	TH	2039	4.7	SA
" 1551	4.8	31	0.92	4.6	21	0696	4.7	TH	2040	4.6	SA
22 0763	4.7	31	0.38	4.6	22	0763	4.7	TH	2041	4.6	SA
" 1556	4.7	31	0.95	4.6	22	0763	4.6	TH	2042	4.5	SA
23 0839	4.6	31	0.41	4.6	23	0839	4.6	TH	2043	4.5	SA
" 1559	4.6	31	1.02	4.6	23	0839	4.5	TH	2044	4.4	SA
24 0915	4.5	31	0.44	4.6	24	0915	4.5	TH	2045	4.4	SA
" 1568	4.5	31	1.05	4.6	24	0915	4.4	TH	2046	4.3	SA
25 0991	4.4	31	0.47	4.6	25	0991	4.4	TH	2047	4.3	SA
" 1571	4.4	31	1.08	4.6	25	0991	4.3	TH	2048	4.2	SA
26 1064	4.3	31	0.50	4.6	26	1064	4.3	TH	2049	4.2	SA
" 1574	4.3	31	1.11	4.6	26	1064	4.2	TH	2050	4.1	SA
27 1141	4.2	31	0.53	4.6	27	1141	4.2	TH	2051	4.1	SA
" 1584	4.2	31	1.14	4.6	27	1141	4.1	TH	2052	4.0	SA
28 1218	4.1	31	0.56	4.6	28	1218	4.1	TH	2053	4.0	SA
" 1594	4.1	31	1.17	4.6	28	1218	4.0	TH	2054	3.9	SA
29 1295	4.0	31	0.59	4.6	29	1295	4.0	TH	2055	3.9	SA
" 1599	4.0	31	1.18	4.6	29	1295	3.9	TH	2056	3.8	SA
30 1372	3.9	31	0.62	4.6	30	1372	3.9	TH	2057	3.8	SA
" 1604	3.9	31	1.21	4.6	30	1372	3.8	TH	2058	3.7	SA
31 1449	3.8	31	0.65	4.6	31	1449	3.8	TH	2059	3.7	SA
" 1609	3.8	31	1.24	4.6	31	1449	3.7	TH	2060	3.6	SA
32 1520	3.7	31	0.68	4.6	32	1520	3.7	TH	2061	3.6	SA
" 1617	3.7	31	1.27	4.6	32	1520	3.6	TH	2062	3.5	SA
33 1590	3.6	31	0.71	4.6	33	1590	3.6	TH	2063	3.5	SA
" 1627	3.6	31	1.30	4.6	33	1590	3.5	TH	2064	3.4	SA
34 1657	3.5	31	0.74	4.6	34	1657	3.5	TH	2065	3.4	SA
" 1637	3.5	31	1.33	4.6	34	1657	3.4	TH	2066	3.3	SA
35 1734	3.4	31	0.77	4.6	35	1734	3.4	TH	2067	3.3	SA
" 1654	3.4	31	1.36	4.6	35	1734	3.3	TH	2068	3.2	SA
36 1811	3.3	31	0.80	4.6	36	1811	3.3	TH	2069	3.2	SA
" 1671	3.3	31	1.39	4.6	36	1811	3.2	TH	2070	3.1	SA
37 1888	3.2	31	0.83	4.6	37	1888	3.2	TH	2071	3.1	SA
" 1684	3.2	31	1.42	4.6	37	1888	3.1	TH	2072	3.0	SA
38 1965	3.1	31	0.86	4.6	38	1965	3.1	TH	2073	3.0	SA
" 1691	3.1	31	1.45	4.6	38	1965	3.0	TH	2074	2.9	SA
39 2042	3.0	31	0.89	4.6	39	2042	3.0	TH	2075	2.9	SA
" 1707	3.0	31	1.48	4.6	39	2042	2.9	TH	2076	2.8	SA
40 2119	2.9	31	0.92	4.6	40	2119	2.9	TH	2077	2.8	SA
" 1727	2.9	31	1.51	4.6	40	2119	2.8	TH	2078	2.7	SA
41 2196	2.8	31	0.95	4.6	41	2196	2.8	TH	2079	2.7	SA
" 1744	2.8	31	1.54	4.6	41	2196	2.7	TH	2080	2.6	SA
42 2273	2.7	31	0.98	4.6	42	2273	2.7	TH	2081		

A.2.18

NETHERLANDS - HOEK VAN HOLLAND

LAT 51°59'N      LONG 4°07'E

TIME ZONE -0100

**TIMES AND HEIGHTS OF HIGH AND LOW WATERS**

YEAR 1980

A.

	JANUARY				FEBRUARY				MARCH				APRIL			
TIME	M	TIME	M	TIME	M	TIME	M	TIME	M	TIME	M	TIME	M	TIME	M	TIME
1 0138	2.0	16 0127	2.0	1 0246	2.0	16 0230	2.1	1 0229	2.0	16 0211	2.1	1 0310	2.1	16 0313	2.3	
0706	0.2	0703	0.3	1 0809	0.1	16 0745	0.1	1 0758	0.1	16 0728	0.1	1 0829	0.2	16 0821	0.1	
TU 1353	2.1	M 1333	2.1	F 1455	2.2	SA 1435	2.3	SA 1440	2.2	SU 1418	2.3	TU 1521	2.2	M 1534	2.3	
1921	0.3	1910	0.5	2023	0.4	1953	0.4	2008	0.4	1933	0.4	2044	0.4	2035	0.4	
2 0223	2.0	17 0200	2.0	2 0324	2.0	17 0310	2.2	2 0311	2.0	17 0250	2.2	2 0344	2.1	17 0349	2.4	
0741	0.2	0735	0.1	2 0844	0.1	17 0813	0.1	2 0827	0.1	17 0803	0.0	2 0858	0.3	17 0903	2.1	
M 1433	2.1	TH 1410	2.2	SA 1530	2.2	SU 1518	2.4	SU 1513	2.2	M 1503	2.3	M 1559	2.2	TH 1618	2.3	
1958	0.3	1939	0.5	2057	0.5	2031	0.4	2035	0.4	2013	0.4	2117	0.3	2122	0.2	
3 0303	2.0	18 0234	2.1	3 0403	2.1	18 0348	2.2	3 0348	2.1	18 0339	2.2	3 0414	2.1	18 0433	2.6	
0821	0.1	0801	0.1	3 0917	0.1	18 0858	0.0	3 0855	0.2	18 0841	0.0	3 0930	0.3	18 0951	0.1	
TH 1508	2.2	F 1445	2.3	SU 1607	2.3	M 1609	2.4	M 1549	2.2	TU 1553	2.3	TH 1631	2.1	F 1700	2.2	
2037	0.4	2008	0.5	2128	0.5	2113	0.4	2108	0.5	2057	0.3	2150	0.3	2208	0.2	
4 0337	2.0	19 0319	2.2	4 0432	2.2	19 0435	2.2	4 0413	2.1	19 0416	2.3	4 0446	2.1	19 0514	2.3	
0858	0.1	0832	0.1	4 0951	0.2	19 0946	-0.1	4 0925	0.2	19 0926	0.0	4 1006	0.3	19 1038	0.2	
F 1548	2.3	SA 1531	2.4	M 1642	2.3	TU 1657	2.3	TU 1624	2.2	M 1641	2.2	F 1704	2.1	SA 1742	2.0	
2115	0.5	2043	0.6	2205	0.6	2157	0.3	2140	0.4	2141	0.3	2226	0.3	2257	0.1	
5 0421	2.1	20 0359	2.3	5 0504	2.2	20 0521	2.2	5 0628	2.1	20 0458	2.3	5 0517	2.1	20 0553	2.2	
0936	0.1	0914	0.1	5 1031	0.2	20 1034	0.0	5 0956	0.2	20 1012	0.0	5 1046	0.3	20 1136	0.3	
SA 1628	2.3	SU 1619	2.4	TU 1718	2.2	M 1737	2.1	M 1655	2.2	TH 1721	2.1	SA 1736	2.0	SU 1831	1.9	
2155	0.5	2125	0.4	2249	0.6	2244	0.3	2225	0.5	2305	0.3	2355	0.1			
6 0505	2.1	21 0444	2.3	6 0539	2.1	21 0556	2.1	6 0510	2.1	21 0543	2.2	6 0544	2.1	21 0648	2.1	
1020	0.1	0956	0.2	6 1111	0.2	21 1123	0.0	6 1035	0.3	21 1100	0.1	6 1132	0.3	21 1252	0.3	
SU 1708	2.3	M 1704	2.3	TH 1752	2.1	TH 1819	2.0	TH 1725	2.1	F 1801	2.0	SU 1809	1.9	M 1932	1.7	
2240	0.6	2213	0.4	2337	0.6	2339	0.3	2254	0.4	2315	0.2	2351	0.2			
7 0545	2.1	22 0535	2.2	7 0616	2.1	22 0639	2.1	7 0543	2.0	22 0625	2.1	7 0620	2.0	22 0106	0.1	
1106	0.1	1049	0.2	7 1156	0.2	22 1224	0.1	7 1120	0.2	22 1156	0.1	7 1230	0.3	22 0802	2.0	
M 1747	2.2	TU 1749	2.2	TH 1827	2.1	F 1911	1.9	F 1752	2.0	SA 1852	1.8	M 1853	1.8	TU 1424	0.3	
2331	0.6	2307.	0.4	2307.	0.6	2339	0.4	2339	0.4			2044	1.6			
8 0623	2.0	23 0621	2.1	8 0031	0.6	23 0050	0.3	8 0608	2.0	23 0021	0.2	8 0047	0.2	23 0225	0.1	
1152	0.2	1144	0.2	8 0653	2.0	23 0742	2.0	8 1206	0.2	23 0713	2.0	8 0718	1.9	23 0919	1.9	
TU 1827	2.2	M 1838	2.1	F 1247	0.2	SA 1342	0.1	SA 1826	1.9	SU 1314	0.1	TU 1344	0.3	M 1556	0.4	
				1909	2.0	2022	1.8	1958	1.7	1955	1.7			2200	1.5	
9 0030	0.7	24 0012	0.6	9 0130	0.6	24 0214	0.2	9 0029	0.4	24 0138	0.1	9 0157	0.2	24 0342	0.1	
0657	2.0	0709	1.9	9 0737	1.9	24 0859	1.9	9 0642	2.0	24 0821	1.9	9 0835	1.9	24 1030	1.9	
M 1239	0.2	TH 1249	0.1	SA 1346	0.2	SU 1509	0.2	SU 1301	0.2	M 1445	0.2	SU 1506	0.3	TH 1705	0.6	
1912	2.1	1937	2.0	2003	1.9	2149	1.7	1914	1.8	2118	1.6	2117	1.7	2312	1.6	
10 0134	0.7	25 0130	0.4	10 0230	0.5	25 0339	0.2	10 0130	0.4	25 0303	0.1	10 0305	0.2	25 0450	0.1	
0739	1.9	25 0807	1.9	10 0834	1.9	25 1021	1.8	10 0734	1.9	25 0947	1.8	10 1004	1.9	25 1132	1.9	
TH 1332	0.2	F 1405	0.1	SU 1452	0.2	M 1632	0.2	M 1407	0.2	TU 1616	0.2	TH 1628	0.4	F 1758	0.4	
2005	2.1	2048	1.9	2113	1.8	2317	1.6	2020	1.7	2239	1.5	2245	1.7			
11 0238	0.7	26 0258	0.4	11 0336	0.6	26 0500	0.2	11 0237	0.3	26 0423	0.1	11 0421	0.2	26 0614	1.6	
0830	1.9	0916	1.9	11 0945	1.8	26 1137	1.8	11 0855	1.9	26 1112	1.8	11 1121	2.0	26 0546	0.2	
F 1433	0.3	SA 1526	0.2	M 1604	0.3	TU 1742	0.2	TU 1525	0.2	M 1728	0.3	F 1729	0.4	SA 1224	1.9	
2108	2.0	2202	1.8	2233	1.7	1833	0.3	2148	1.6	2354	1.6	1834	0.4			
12 0340	0.6	27 0427	0.3	12 0439	0.4	27 0027	1.7	12 0351	0.3	27 0531	0.2	12 0004	1.8	27 0100	1.7	
0934	1.8	1033	1.9	1105	1.9	27 0604	0.2	12 1033	1.9	27 1223	1.9	12 0528	0.2	27 0628	0.2	
SA 1542	0.3	SU 1643	0.2	TU 1711	0.3	M 1820	1.9	M 1640	0.3	TH 1822	0.4	SA 1226	2.1	SU 1311	2.0	
2221	2.0	2318	1.8	2353	1.7	1833	0.3	2320	1.7	1811	0.4	1901	0.4			
13 0439	0.6	28 0532	0.3	13 0541	0.3	28 0116	1.7	13 0500	0.3	28 0052	1.7	13 0101	1.9	28 0139	1.8	
1044	1.9	1147	1.9	1221	1.9	28 0650	0.1	13 1201	2.0	28 0422	0.2	13 0620	0.1	28 0702	0.2	
SU 1648	0.4	M 1746	0.3	W 1809	0.4	TH 1809	2.0	TH 1742	0.4	F 1312	2.0	SU 1316	2.2	M 1351	2.0	
2334	2.0					1911	0.3	1911	0.3	1856	0.4	1841	0.4	1924	0.3	
14 0532	0.5	29 0029	1.8	14 0102	1.8	29 0153	1.8	14 0041	1.8	29 0136	1.8	14 0146	2.0	29 0214	1.9	
1152	1.9	0625	0.3	0636	0.2	29 0726	0.1	14 0602	0.3	29 0703	0.2	14 0704	0.1	29 0732	0.2	
M 1747	0.4	TU 1253	2.0	TH 1318	2.0	F 1407	2.1	F 1304	2.1	SA 1347	2.1	M 1401	2.1	24 1426	2.0	
1834	0.3	1915	0.4	1850	0.4	1940	0.3	1828	0.4	1923	0.4	1912	0.4	1950	0.3	
15 0039	1.9	30 0126	1.8	15 0151	1.9			15 0134	1.9	30 0207	1.9	15 0228	2.2	30 0244	2.0	
0621	0.4	0702	0.2	0717	0.2			0649	0.2	30 0734	0.2	15 0761	0.1	30 0801	0.2	
TU 1250	2.0	M 1343	2.0	F 1400	2.2			1342	2.2	SU 1417	2.1	TU 1464	2.3	M 1459	2.1	
1835	0.4	1915	0.3	1921	0.4			1901	0.4	1947	0.4	1951	0.3	2018	0.3	
31 0210	1.9							31 0239	2.0							
0735	0.1							0802	0.2							
TH 1421	2.1							1449	2.2							
1950	0.4							2016	0.4							

LLOW WATERS! - IMPORTANT NOTE. DOUBLE LOW WATERS OFTEN OCCUR AT HOEK VAN HOLLAND. ON THESE OCCASIONS THE PREDICTIONS ARE FOR THE FIRST LOW WATER. THE SECOND LOW WATER OCCURS ABOUT 2 HOURS 15 MINUTES LATER.

**WEIGHTS IN METRES**

# HZS

Groep	Partieel	Hoeksnelheid (°/u)	Relatieve grootte	Astr. Argument (0° GMT)	u	f
$M_2$	$M_2$	28,98	1,000	- 2s + 2h	$M_2$	$M_2$
	$N_2$	28,44	0,194	- 3s + 2h + p	$M_2$	$M_2$
	$\nu_2$	28,51	0,038	- 3s + 4h - p	$M_2$	$M_2$
	$L_2$	29,53	0,028	- s + 2h - p + 180°	$L_2$	$L_2$
	$2N_2$	27,90	0,026	- 4s + 2h + 2p	$M_2$	$M_2$
	$\mu_2$	27,97	0,024	- 4s + 4h	$M_2$	$M_2$
	$\lambda_2$	29,46	0,007	- s + p + 180°	$M_2$	$M_2$
$S_2$	$S_2$	30,00	1,000	0°	0	1
	$K_2$	30,08	0,272	2h	$K_2$	$K_2$
	$T_2$	29,96	0,059	- h + 282°	0	1
	$R_2$	30,04	0,008	h + 258°	0	1
$K_1$	$K_1$	15,04	1,000	h + 90°	$K_1$	$K_1$
	$P_1$	14,96	0,331	- h + 270°	0	1
	$J_1$	15,59	0,079	h + s - p + 90°	$J_1$	$J_1$
	$M_1$	14,49	0,071	h - s + 90°	$M_1$	$M_1$
	$\eta_1$	14,92	0,019	- 2h + 192°	0	1
	$\phi_1$	15,12	0,014	3h + 90°	0	1
	$\theta_1$	15,51	0,008	- h + s + p + 90°	$J_1$	$J_1$
	$\psi_1$	15,08	0,008	2h + 168°	0	1
	$so_1$	16,06	0,006	- h + 2s + 90°	- 0	0
	$o_1$	13,94	1,000	h - 2s + 270°	0	0
$O_1$	$o_1$	13,40	0,194	h - 3s + p + 270°	0	1
	$\rho_1$	13,47	0,038	3h - 3s - p + 270°	0	1
	$2o_1$	12,85	0,026	h - 4s + 2p + 270°	0	1
	$\epsilon_1$	12,93	0,012	3h - 4s + 270°	0	1

$$s = 277,025° + 129,3848° \cdot (J - 1900) + 13,1764 \cdot (D + L)$$

$$h = 280,190° - 0,2387 \cdot (J - 1900) + 0,98565 \cdot (D + L)$$

$$p = 334,385° + 40,6625° \cdot (J - 1900) + 0,1114 \cdot (D + L)$$

$$N = 259,157° - 19,3282 \cdot (J - 1900) - 0,05295 \cdot (D + L)$$

s is de lengte van de middelbare maan in zijn baan,

h is de rechte klimming van de middelbare zon,

p is de lengte van het perigeum van de maansbaan,

N is de lengte van de klimmende knoop van de maansbaan.

J is het jaar,

D is de dag,

L is de integere waarde van: 0,25. (J - 1901).

De waarden van u vindt men uit:

$$\begin{aligned}M_2 &= -2,14 \cdot \sin N \\K_2 &= -17,74 \cdot \sin N + 0,68 \cdot \sin 2N - 0,04 \cdot \sin 3N \\K_1 &= -8,86 \cdot \sin N + 0,68 \cdot \sin 2N - 0,07 \cdot \sin 3N \\J_1 &= -12,94 \cdot \sin N + 1,34 \cdot \sin 2N - 0,19 \cdot \sin 3N \\O_1 &= 10,80 \cdot \sin N - 1,34 \cdot \sin 2N + 0,19 \cdot \sin 3N\end{aligned}$$

De waarden van f vindt men uit:

$$\begin{aligned}M_2 &= 1,0004 - 0,0373 \cdot \cos N + 0,0002 \cdot \cos 2N \\K_2 &= 1,0241 + 0,2863 \cdot \cos N + 0,0083 \cdot \cos 2N - 0,0015 \cdot \cos 3N \\K_1 &= 1,0060 + 0,1150 \cdot \cos N - 0,0088 \cdot \cos 2N + 0,0006 \cdot \cos 3N \\J_1 &= 1,0129 + 0,1676 \cdot \cos N - 0,0170 \cdot \cos 2N + 0,0016 \cdot \cos 3N \\O_1 &= 1,0089 + 0,1871 \cdot \cos N - 0,0147 \cdot \cos 2N + 0,0014 \cdot \cos 3N\end{aligned}$$

voor  $L_2$  en  $M_1$  moeten u en f worden opgelost uit:

$$L_2 \quad f \cdot \cos u = 1,000 - 0,2505 \cdot \sin 2p - 0,1102 \cdot \cos(2p - N) - 0,0156 \cdot \cos(2p - 2N) - 0,0370 \cdot \cos N$$

$$f \cdot \sin u = -0,2505 \cdot \sin 2p - 0,1102 \cdot \sin(2p - N) - 0,0156 \cdot \sin(2p - 2N) - 0,0370 \cdot \sin N$$

$$\begin{aligned}M_1 \quad f \cdot \cos u &= 2 \cos p + 0,4 \cdot \cos(p - N) \\f \cdot \sin u &= \sin p + 0,2 \cdot \sin(p - N)\end{aligned}$$

## 6. Voorbeeld van een berekening van de "angle" en "factor" uit de ATT.

Datum 15/3 1960.

$$D = 31 + 29 + 14(!) = 74 \quad L = \text{integer van } 0,25 \cdot (1960 - 1901) = 14 \\J = 1960$$

Daarmee worden  $s = 199,64^\circ$   
 $h = 352,60^\circ$   
 $p = 263,94^\circ$   
 $N = 174,81^\circ$

$$\text{en dus: } u_{O_1} = 1,27^\circ \text{ en } f_{O_1} = 0,8068$$

De waarde van u voor  $Q_1$ ,  $P_1$ ,  $2Q_1$  en  $\sigma_1$  zijn alle gelijk aan 0 terwijl de waarde van f voor al deze partiele getijden gelijk is aan 1.

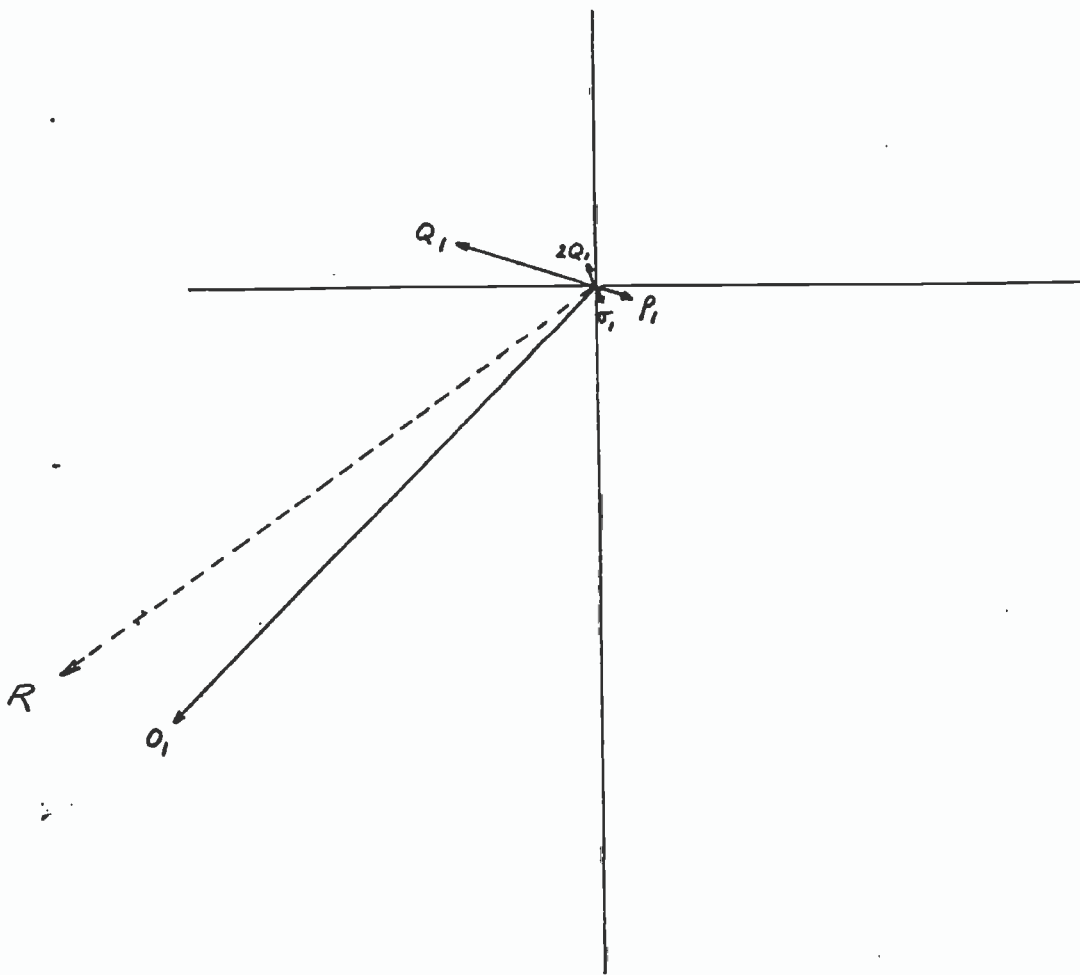
De argumenten worden nu:

	V	u	V + u
$o_1$	$223,32^\circ$	$1,27^\circ$	$224,60^\circ$
$Q_1$	$287,62^\circ$	0	$287,62^\circ$
$P_1$	$104,95^\circ$	0	$104,95^\circ$
$2Q_1$	$351,93^\circ$	0	$351,93^\circ$
$\sigma_1$	$169,25^\circ$	0	$169,25^\circ$

De grootte verhoudingen van de amplituden worden:

$o_1$	$1,000 \cdot 0,8068 = 0,8086$
$Q_1$	$0,194 \cdot 1 = 0,194$
$P_1$	$0,038 \cdot 1 = 0,038$
$2Q_1$	$0,026 \cdot 1 = 0,026$
$\sigma_1$	$0,012 \cdot 1 = 0,012$

We stellen deze partiele getijden voor door vectoren



De resultante van de 5 vectoren, R, maakt met de verticale as, linksom gemeten, een hoek van  $126^\circ$ . Dit is wat in de ATT de "Angle" wordt genoemd.

De lengte van de resultante is 0,88. Dit is wat in de ATT de "Factor" wordt genoemd.

Angle en Factor kan men het best berekenen door de vectoren als zijden van een veelhoek te beschouwen.

Voor de oorsprong van het aangenomen X,Y stelsel nemen we aan 0,0.

De resultante wordt nu:  $X = \sum L \cdot \sin(V)$

$$Y = \sum L \cdot \cos(V)$$

met L de grootte verhoudingen van de amplituden en V de argumenten.

We vinden dan in ons voorbeeld: resultante  $X = -0,717$   
 $Y = -0,513$

De Angle wordt daarmee:  $125,6^\circ$  en de factor: 0,882

## 7. Opgaven

1. Bereken voor 15/3 1960 Angle en factor voor  $M_2$ ,  $S_2$  en  $K_1$

Antwoord volgens ATT:

	Angle	Factor
$M_2$	$44^\circ$	1,10
$S_2$	$5^\circ$	1,22
$K_1$	$287^\circ$	0,59

2. Voor een bepaalde plaats zijn de volgende getijconstanten gegeven:

g	$99^\circ$	$142^\circ$	$20^\circ$	$1^\circ$	
H	180 cm	73 cm	21 cm	9 cm	$Z_o = 3,66 \text{ m}$

Maak voor deze plaats een getijvoorspelling voor 15/3 1960.

3. Een satelliet maakt een polaire baan rond de aarde op een hoogte van 900 km.

Bereken de snelheid en omloopstijd.

Berekening van een getijvoorspelling.

In de ATT (Admiralty Tide Tables) is voor de plaats Walton-on-the-Naze het volgende gegeven:

$Z_0$	$M_2$	$S_2$	$K_1$	$O_1$	4D	6D
	g H	g H	g H	g H	$f_4$ $F_4$	$f_6$ $F_6$
2,23	332 1.40	024 0.40	358 0.11	178 0.13	015 0.044	013 0.018

Om de getijvoorspelling voor b.v. 23 december 1983 te berekenen zoekt men in de ATT voor die datum de z.g. "tidal angles and factors" op.

We vinden:

$M_2$	$S_2$	$K_1$	$O_1$
A F	A F	A F	A F
079 1.16	353 0.77	003 1.52	068 1.25

We gebruiken de vaste hoeksnelheden (in °/u):

$$w_{M_2} = 28,9841$$

$$w_{S_2} = 30$$

$$w_{K_1} = 15,0411$$

$$w_{O_1} = 13,9430$$

$$w_{4D} = 58$$

$$w_{6D} = 87$$

t4D en 6D zijn de z.g. ondiepwater partieele getijden).

De berekening verloopt nu als volgt:

	$M_2$	$S_2$	$K_1$	$O_1$
H	1.40	0.40	0.11	0.13
F	1.16	0.77	1.52	1.25
F.H.	1.62	0.31	0.17	0.16
A	079	353	003	068
S	332	024	358	178
A+G	051	017	001	246

Voor de ondiepwater getijden berekenen we:

$$H_2 = [1.62^2 + 0.31^2 + 2 \times 1.62 \times 0.31 \times \cos(017 - 051 - 12)^{\circ}]$$

$$H_2 = 1.85 \text{ m}$$

$$\sin c = [(0.31 / 1.85) \times \sin(017 - 051 - 12)^{\circ}]$$

$$c = -7^{\circ}$$

$$h_2 = 051 - 7 = 44^\circ$$

$$H_4 = F_4 \cdot H_2^* = 0,15$$

$$H_6 = F_6 \cdot H_2^* = 0,14$$

$$h_4 = 2 \cdot h_2 + f_4 = 103^\circ$$

$$h_6 = 3 \cdot h_3 + f_6 = 145^\circ$$

Om 9 uur (lokale tijd) wordt de voorspelde getijhoogte  
t.o.v. het reductievlak:

$$\begin{aligned} & 2,23 + 1,62 \cdot \cos(51^\circ - 9,28^\circ,9841) + 0,31 \cdot \cos(17^\circ - 9,30^\circ) + \\ & + 0,17 \cdot \cos(1^\circ - 9,15^\circ,0411) + 0,16 \cdot \cos(246^\circ - 9,13^\circ,9430) + \\ & + 0,15 \cdot \cos(103^\circ - 9,58^\circ) + 0,14 \cdot \cos(145^\circ - 9,87^\circ) = \\ & = 2,23 - 1,405 - 0,091 - 0,119 - 0,081 + 0,077 + 0,019 = 0,63 \text{ m.} \end{aligned}$$

Voor 15 uur wordt de voorspelde getijhoogte 3,94 m.

### Berekening van gemiddeld zeeniveau.

Om met enige nauwkeurigheid gemiddeld zeeniveau (Mean Sea Level of MSL, middenstand) te kunnen berekenen moet men de verticale getij beweging voor een aaneen gesloten periode van 39 uur met intervallen van 1 uur waarnemen.

Men begint het waarnemen op een willekeurig tijdstip van de dag en noemt dit 0u.

Elke waarneming wordt dan vermenigvuldigd met een factor die gelijk is aan 0, 1 of 2.

De resultaten van deze vermenigvuldigingen worden bij elkaar opgeteld waarna de aldus verkregen som wordt gedeeld door 30.

### Voorbeeld.

Uur	factor	aflezing	f.h	Uur	factor	aflezing	f.h
	(f)	(h)					
0	1	295	cm	21	1	200	cm
1	0	282	-	22	1	221	221
2	1	261	261	23	2	245	490
3	0	243	-	24	0	275	-
4	0	229	-	25	1	305	305
5	1	210	210	26	1	289	289
6	0	183	-	27	0	260	-
7	1	108	108	28	2	222	444
8	1	103	103	29	0	180	-
9	0	119	-	30	1	145	145
10	2	130	260	31	1	119	119
11	0	159	-	32	0	98	-
12	1	188	188	33	1	94	94
13	1	210	210	34	0	129	-
14	0	201	-	35	0	156	-
15	2	195	390	36	1	185	185
16	1	195	195	37	0	203	-
17	1	175	175	38	1	200	200
18	2	162	324				
19	0	165	-				som = 5781
20	2	185	370				

$$MSL = 5781/30 = 193 \text{ cm}$$

Het aldus gevonden gemiddeld zeeniveau is ca 1 dm nauwkeurig.

Deze berekening noemt men het "Doodson filter".

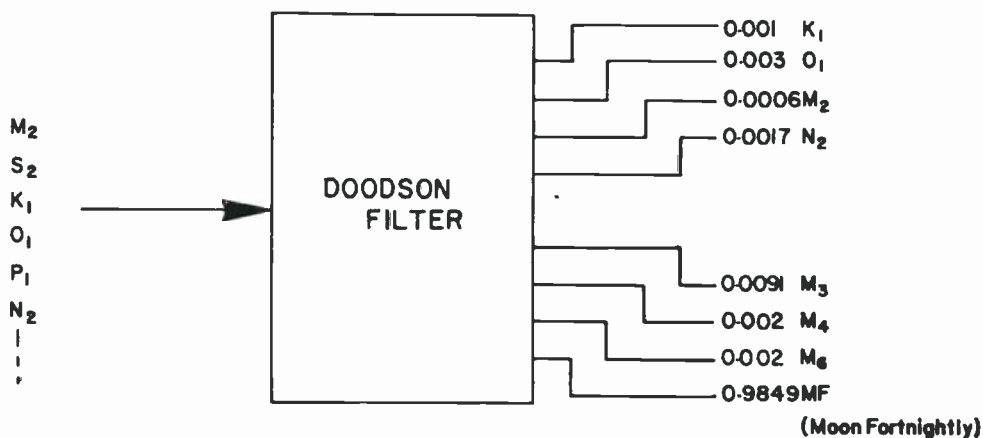
Kangezien de waarnemingen over een betrekkelijk korte tijd plaatsvinden kunnen atmosferische omstandigheden dit MSL belangrijk doen afwijken. Zou de luchtdruk b.v. veel hoger dan normaal zijn geweest dan zal men met dezelfde methode bij een gemiddelde luchtdruk een hogere waarde voor MSL vinden.

Zijn meer dan 39 uur lang waarnemingen verricht dan kan het filter worden toegepast voor uur 0 t/m uur 38, daarna voor uur 1 t/m uur 39, daarna voor uur 2 t/m 40 enz.

Van de aldus gevonden waarden voor MSL neemt men tenslotte het gemiddelde.

### Bepaling MSL met Doodson Filter

Het Doodson filter elimineert d.m.v. een voorgeschreven algoritme de invloed van de partiële getijden uit een serie van 39 uurwaarnemingen.



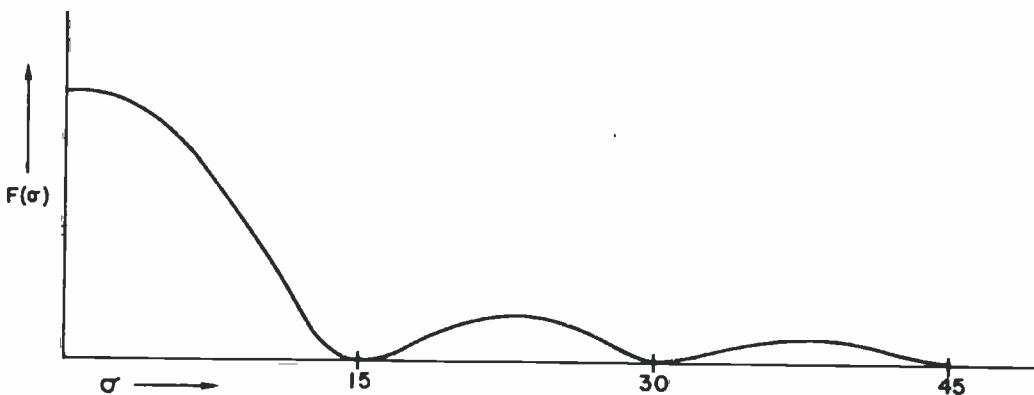
de berekening is als volgt (de telling loopt van 0 t/m 38):

$$\text{MSL} = \frac{1}{30} \left[ h_0 + h_2 + h_5 + h_7 + h_8 + h_{10} * 2 + h_{13} + h_{15} * 2 + h_{16} + h_{17} + h_{18} * 2 + h_{20} * 2 + h_{21} + h_{22} + h_{23} * 2 + h_{25} + h_{26} + h_{28} * 2 + h_{30} + h_{31} + h_{33} + h_{36} + h_{38} \right]$$

Aangetoond kan worden, dat de bijdrage van een partiëel getij met hoek-snelheid  $\sigma$  in bovenstaande formule gelijk is aan:

$$x_0 = \left[ \frac{1}{15} \cos \sigma \frac{\sin 12\frac{1}{2}\sigma}{\sin 2\frac{1}{2}\sigma} \cdot \frac{\sin 12\sigma}{\sin 4\sigma} \right] * h_{19} = F(\sigma) \cdot h_{19}$$

Uit de grafiek van  $F(\sigma)$  valt af te lezen, dat juist rond  $\sigma = 15^\circ$  en  $\sigma = 30^\circ$  de functie nagenoeg nul is, terwijl voor  $\sigma \rightarrow 0$  de functiewaarde 1 is. Het algoritme filtert ED en DD getijden eruit en laat MF nagenoeg ongewijzigd door.



Als meer dan 39 uurwaarnemingen beschikbaar zijn, dan neemt men de opvolgende series 0 t/m 38, 1 t/m 39 enz. en middelt daarna.

### Bathymetrische Surveys

Voor een nauwkeurige bathymetrische survey dienen de volgende voorzieningen aanwezig te zijn:

- 1) Bij een meetpaal in de buurt, waar een langjarig MSL bekend is, wordt gedurende de offshore survey het getij waargenomen. Van het waargenomen getij wordt het dagelijks MSL bepaald, waaruit het verschil  $\Delta H$  volgt van dag-MSL en langjarig-MSL.  
De oorzaken van  $\Delta H$  zijn o.a. opwaaiing, luchtdruk, pos of neg "surge" etc.
- 2) Nabij het survey-vaartuig wordt een getijmeter op de zeebodem geplaatst, waar het getij gedurende de survey wordt waargenomen. Uit deze waarnemingen wordt het lokale dag-MSL bepaald en de getijhoogtes t.o.v. het dag-MSL.
- 3) Aan boord van het surveyvaartuig worden de dieptes SL tot bodem met een gecalibreerd echolood bepaald.
- 4) De lodingen worden als volgt gecorrigeerd:

(i) t uur : Loding = cm

 $\Delta H$  = cmMeteo gecorrigeerde loding te  $t^h$  = cm = A(ii) aflezing getijmeter te  $t^h$  = cm

dag-MSL getijmeter = cm

getijhoogte t.o.v. dag-MSL = cm = B

(ii) A-B geeft loding t.o.v. langjarig MSL.

(iv) Reduktiekaart geeft in dm het verschil tussen langjarig MSL en reductievak. Dit bedrag wordt nog afgetrokken van A-B om de plaatselijke diepte te krijgen t.o.v. reductievak (chartdatum).

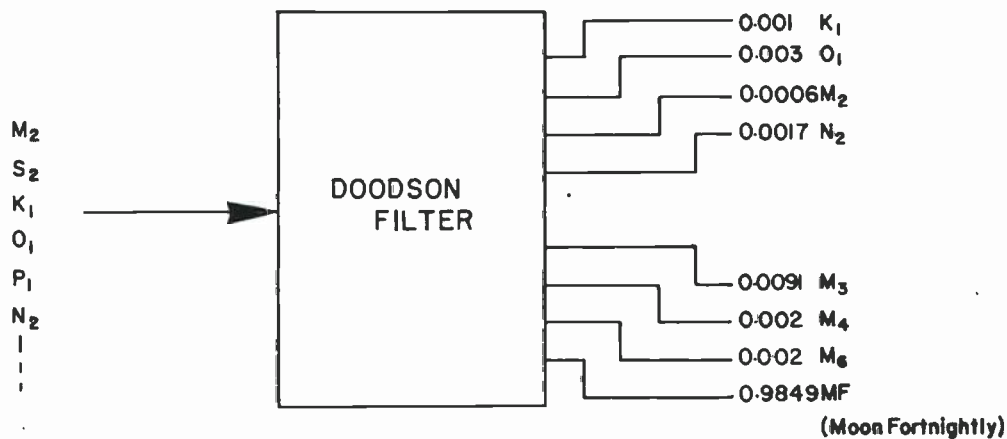
Als de meetpaal ver weg staat van de job, dan kan soms geïnterpolerd worden met gegevens van meerdere meetpalen.

Als geen meetpaal gebruikt wordt moet men zich realiseren dat de luchtdruk invloed heeft op de waterstand. De waterdiepten zijn herleid tot LAT bij luchtdruk 1013 mb. De correctie voor luchtdruk bedraagt 1 cm per mb luchtdruk. MSL is voorts seizoenafhankelijk, zie "Seasonal changes in mean level" in ATT.

De getijmeter moet zodanig zijn uitgevoerd, dat er géén dynamische, maar uitsluitend statische drukken worden gemeten. Dynamische druk onstaat door de plaatselijk stroom. Een stroom van 4 knoop kan maximaal 20 cm fout geven. (Bernoulli).

### Bepaling MSL met Doodson Filter

Het Doodson filter elimineert d.m.v. een voorgeschreven algoritme de invloed van de partiële getijden uit een serie van 39 uurwaarnemingen.



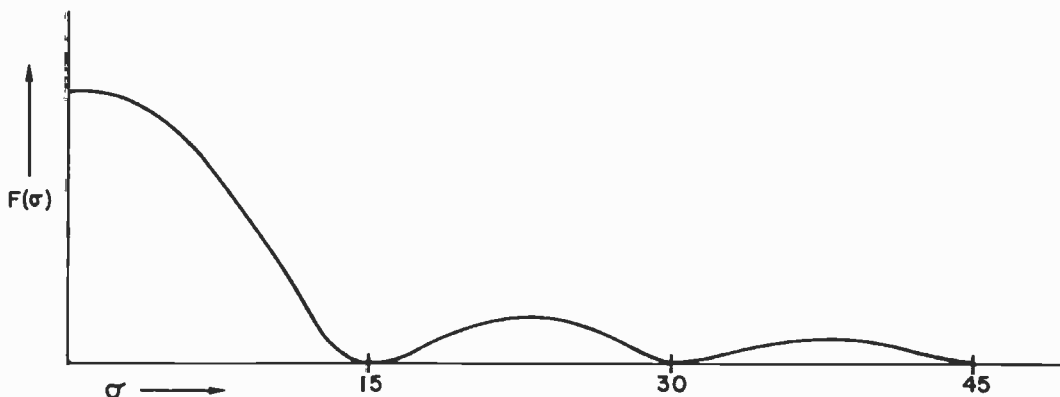
de berekening is als volgt (de telling loopt van 0 t/m 38):

$$\text{MSL} = \frac{1}{30} \left[ h_0 + h_2 + h_5 + h_7 + h_8 + h_{10} * 2 + h_{13} + h_{15} * 2 + h_{16} + h_{17} + h_{18} * 2 + h_{20} * 2 + h_{21} + h_{22} + h_{23} * 2 + h_{25} + h_{26} + h_{28} * 2 + h_{30} + h_{31} + h_{33} + h_{36} + h_{38} \right]$$

Aangetoond kan worden, dat de bijdrage van een partiëel getij met hoek-snelheid  $\sigma$  in bovenstaande formule gelijk is aan:

$$x_0 = \frac{1}{15} \cos \frac{\sin 12\frac{1}{2}\sigma}{\sin 2\frac{1}{2}\sigma} + \frac{\sin 12\sigma}{\sin 4\sigma} * h_{19} = F(\sigma) \cdot h_{19}$$

Uit de grafiek van  $F(\sigma)$  valt af te lezen, dat juist rond  $\sigma = 15^\circ$  en  $\sigma = 30^\circ$  de functie nagenoeg nul is, terwijl voor  $\sigma \rightarrow 0$  de functiewaarde 1 is. Het algoritme filtert ED en DD getijden eruit en laat MF nagenoeg ongewijzigd door.



Als meer dan 39 uurwaarnemingen beschikbaar zijn, dan neemt men de opvolgende series 0 t/m 38, 1 t/m 39 enz. en middelt daarna.

### Bathymetrische Surveys

Voor een nauwkeurige bathymetrische survey dienen de volgende voorzieningen aanwezig te zijn:

- 1) Bij een meetpaal in de buurt, waar een langjarig MSL bekend is, wordt gedurende de offshore survey het getij waargenomen. Van het waargenomen getij wordt het dagelijks MSL bepaald, waaruit het verschil  $\Delta H$  volgt van dag-MSL en langjarig-MSL.  
De oorzaken van  $\Delta H$  zijn o.a. opwaaiing, luchtdruk, pos of neg "surge" etc.
- 2) Nabij het survey-vaartuig wordt een getijmeter op de zeebodem geplaatst, waar het getij gedurende de survey wordt waargenomen. Uit deze waarnemingen wordt het lokale dag-MSL bepaald en de getijhoogtes t.o.v. het dag-MSL.
- 3) Aan boord van het surveyvaartuig worden de dieptes SL tot bodem met een gecalibreerd echolood bepaald.
- 4) De lodingen worden alsvolgt gecorrigeerd:



## Intersite Surveys

(i) t uur : Loding = cm

$\Delta H$  = \_\_\_\_\_ cm  
Meteo gecorrigeerde loding te  $t^h$  = \_\_\_\_\_ cm = A

(ii) aflezing getijmeter te  $t^h$  = cm

dag-MSL getijmeter = \_\_\_\_\_ cm  
getijhoogte t.o.v. dag-MSL = \_\_\_\_\_ cm

= B

(ii) A-B geeft loding t.o.v. langjarig MSL.

(iv) Reduktiekaart geeft in dm het verschil tussen langjarig MSL en reductievlak. Dit bedrag wordt nog afgetrokken van A-B om de plaatselijke diepte te krijgen t.o.v. reductievlak (chartdatum).

Als de meetpaal ver weg staat van de job, dan kan soms geïnterpolerd worden met gegevens van meerdere meetpalen.

Als geen meetpaal gebruikt wordt moet men zich realiseren dat de luchtdruk invloed heeft op de waterstand. De waterdiepten zijn herleid tot LAT bij luchtdruk 1013 mb. De correctie voor luchtdruk bedraagt 1 cm per mb luchtdruk. MSL is voorts seizoenafhankelijk, zie "Seasonal changes in mean level" in ATT.

De getijmeter moet zodanig zijn uitgevoerd, dat er géén dynamische, maar uitsluitend statische drukken worden gemeten. Dynamische druk onstaat door de plaatselijk stroom. Een stroom van 4 knoop kan maximaal 20 cm fout geven. (Bernoulli).